



ปีการศึกษา 2533

การจดจำเสียง
(voice recognition)

โดย

นาย วิทยุ นาคมหาชลาสินธุ์

นาย ภาณุ เกตุมาลา

นาย มนัส ศิริวัฒน์

อาจารย์ที่ปรึกษา

อาจารย์ พุสศักดิ์ ชิวสุวิทย์

027958

เอกสารนี้เป็นเอกสารที่สงวนไว้สำหรับการใช้งานเพื่อการศึกษาเท่านั้น ไม่อนุญาตให้วางไปใช้ประโยชน์ด้านการค้า

78 ก.ค. 2534

ไม่ว่ากรณีใดๆทั้งสิ้น อีกทั้งห้ามมิให้ตัดแปลงเนื้อหา และต้องอ้างอิงถึงเจ้าของเอกสารทุกครั้งที่มีการนำไปใช้

ปริญญาานิพนธ์ปีการศึกษา 2533

ภาควิชา เทคโนโลยีการวัดคุมทางอุตสาหกรรม

คณะวิศวกรรมศาสตร์ สถาบันเทคโนโลยีพระจอมเกล้า เจ้าคุณทหารลาดกระบัง

เรื่อง การจดจำเสียง (voice recognition)

ผู้จัดทำ

1. นายไพบุลย์ นาคมหาชลาสินธุ์ 30.1200
2. นายภาณุ เกตุมาลา 30.1208
3. นายมนัส ศิริวิวัฒน์ 30.1214



[Handwritten signature]

.....อาจารย์ที่ปรึกษา

(อาจารย์ พุศิกดิ์ ชิวสุวิทย์)

เลขหมู่ T. 33125 พ3
เลขทะเบียน 027958
วัน, เดือน, ปี 18 ก.ค. 34

เอกสารนี้เป็นเอกสารที่สงวนไว้สำหรับการใช้งานเพื่อการศึกษาเท่านั้น ไม่อนุญาตให้นำไปใช้ประโยชน์ด้านการค้า
ไม่ว่ากรณีใดๆทั้งสิ้น อีกทั้งห้ามมิให้ตัดแปลงเนื้อหา และต้องอ้างอิงถึงเจ้าของเอกสารทุกครั้งที่มีกา
027958

สารบัญ

บทคัดย่อ	
abstract	
บทที่ 1 บทนำ	1
บทที่ 2 ทฤษฎีการอัตราการสุ่มและการเข้ารหัสข้อมูล PCM	2
2.1 ทฤษฎีการอัตราการสุ่ม	2
2.2 การเข้ารหัสแบบ PCM	5
บทที่ 3 การได้ยินและการรับรู้เสียงของมนุษย์	9
3.1 การได้ยิน	9
3.2 ความเข้าใจ	14
บทที่ 4 การแปลงฟูเรียร์	16
4.1 ฟูเรียร์อินทิกรัล	16
4.2 การแปลงอินเวอร์สฟูเรียร์	17
4.3 การแปลงฟูเรียร์แบบไม่ต่อเนื่อง	17
บทที่ 5 การแปลงฟาสต์ฟูเรียร์ (FFT) และการประยุกต์ใช้งาน	20
5.1 ลักษณะของปัญหา	20
5.2 การเข้าสู่อัลกอริทึม	21
5.3 แนวทางการพัฒนาอัลกอริทึม	22
5.4 การพัฒนาอัลกอริทึม	23
5.5 การประยุกต์ใช้งาน FFT	32
5.6 ฟังก์ชันถ่วงน้ำหนักข้อมูล	40
บทที่ 6 การวิเคราะห์เสียงพูด	47
6.1 การวิเคราะห์เสียงพูดในช่วงสั้น	47
6.2 พารามิเตอร์ในโดเมนเวลา	50
6.3 พารามิเตอร์ในโดเมนความถี่	52

เอกสารนี้เป็นบทที่ 7 การจดจำการใช้งานเพื่อการศึกษาเท่านั้น ไม่อนุญาตให้นำไปใช้ประโยชน์อื่นใด

ไม่ว่ากรณีใดๆทั้งสิ้น อีกทั้งยังขอให้ด้วยตนเองไม่ต้องอ้างอิงถึงเจ้าของเอกสารทุกครั้งที่มีการนำไปใช้

7.1 ประเภทของการจดจำ 55

7.2 การจดจำรูปแบบ	55
7.3 การจดจำเสียงพูด	57
7.4 ระบบการจดจำเสียงพูดแบบแยกค่าและไม่ขึ้นกับผู้พูด ด้วยเทคนิค DTW	59
บทที่ 8 วงจรและโปรแกรมควบคุมการทำงานของการ์ด	61
8.1 อธิบายการทำงานของวงจรแต่ละส่วน	61
8.2 การออกแบบและการคำนวณ	64
8.3 ส่วนของโปรแกรมควบคุมการทำงานของการ์ด	68
บทที่ 9 การทดลองและผลการทดลอง	75
บทที่ 10 สรุปผลและวิจารณ์การทดลอง	81
ภาคผนวก ก. โปรแกรมที่ใช้ในการควบคุมการทำงานของการ์ด	84
ภาคผนวก ข. บล็อกไดอะแกรมและวงจรรวมทั้งหมดของการ์ด กิตติกรรมประกาศ	99
หนังสืออ้างอิง	



การจดจำเสียงพูด

ผู้จัดทำ

1. นายไพบูรณ์ นาคมหาชลาสินธุ์
2. นายภาณุ เกตุมาลา
3. นายมนัส ศิริวัฒน์

อาจารย์ที่ปรึกษา

รศ.ดร. พุศิกดิ์ ชิวสุวิทย์

ปีการศึกษา 2533

บทคัดย่อ

ปริญาณิพนธ์นี้ กล่าวถึงการเก็บข้อมูลเสียงพูดในเครื่องไมโครคอมพิวเตอร์ โดยวิธีอินเตอร์รัพท์ เพื่อเก็บลงบนหน่วยความจำ และนำข้อมูลที่เก็บไว้ไปทำการวิเคราะห์โดยใช้เทคนิคการแปลงฟูรีเยอร์ (FFT) เพื่อเปลี่ยนสัญญาณเสียงอินพุท ในโดเมนเวลาให้เป็นสเปกตรัมในโดเมนความถี่ และหาคุณลักษณะของเสียงพูด โดยการตรวจจับความถี่จุดสุ่มที่มีขนาดสูงสุดในโดเมนความถี่ และแสดงผลเสียงที่เกิดจากการรื้อไหลของลอนข้าง เมื่อใช้ฟังก์ชันถ่วงน้ำหนักข้อมูลแบบสี่เหลี่ยม

ABSTRACT

This thesis describes a speech-data storage method in microcomputer by interrupting to keep into memory. The stored data are analysed by using " Fast Fourier Transform (FFT) " technique to transform input speech signal in time domain to spectrum in frequency domain and find the feature of speech signal by detecting the maximum peak of all frequency sampled points. Then showing the leakage affective from sidelobe when using rectangular data-weighting function.



เอกสารนี้เป็นเอกสารที่สงวนไว้สำหรับการใช้งานเพื่อการศึกษาเท่านั้น ไม่อนุญาตให้นำไปใช้ประโยชน์ด้านการค้า
ไม่ว่ากรณีใดๆทั้งสิ้น อีกทั้งห้ามมิให้ดัดแปลงเนื้อหา และต้องอ้างอิงถึงเจ้าของเอกสารทุกครั้งที่มีการนำไปใช้

บทที่ 1

บทนำ

เมื่อมนุษย์เปล่งเสียงที่เป็นคำพูดออกมา มนุษย์ด้วยกันเองสามารถที่จะจำความหมายของคำที่เปล่งออกมาได้เมื่อมนุษย์นั้น ๆ อยู่ในสิ่งแวดล้อมเดียวกัน พื้นฐานเดียวกัน เนื่องจากมนุษย์มีสมองที่มีความซับซ้อน และมีประสิทธิภาพในการจดจำ การคิดเปรียบเทียบที่เหนือกว่าสัตว์ และเครื่องจักรกล ดังนั้นมนุษย์จึงพยายามที่จะให้เครื่องจักร สามารถที่จะทำการเปรียบเทียบ และคิดได้ใกล้เคียงกับคนจึงทำให้เกิดการวิเคราะห์เสียง เพื่อหาคุณลักษณะที่สำคัญของสัญญาณเสียงที่จะมาเปรียบเทียบความแตกต่างของสัญญาณเสียงที่เกิดขึ้น เพื่อให้ทราบว่าเป็นคำใด ซึ่งนั่นหมายถึงว่าเครื่องจักรสามารถจะจดจำได้

ในปฏิญานี้จะกล่าวถึง เรื่องต่างๆที่เกี่ยวข้องกับสัญญาณเสียงพอจะกล่าวโดยสรุปได้ดังนี้

ในบทที่ 2 เป็นเกี่ยวกับการสุ่มตัวอย่างและการเข้ารหัสของเสียง เพื่อที่จะสามารถนำสัญญาณเสียงนั้นวิเคราะห์ได้ง่ายขึ้น

ในบทที่ 3 จะกล่าวถึงการได้ยินและการรับรู้เสียงของมนุษย์ รวมถึงโครงสร้างทางกายภาพของการได้ยิน

ในบทที่ 4 และ 5 จะกล่าวถึงวิธีการวิเคราะห์โดยให้การแปลงฟูริเยร์ และอัลกอริทึมฟาสต์ฟูริเยร์ เข้าช่วยในการวิเคราะห์

ในบทที่ 6 และ 7 กล่าวถึงการ วิเคราะห์และ การจดจำ ว่ามีรูปแบบกะว้างและมีวิธีการอย่างไร

ส่วนในบทท้ายๆ จะกล่าวถึงการทดลอง ผลการทดลอง ปัญหาที่เกิดขึ้นจากการทำงานและสรุปผล

ส่วนของโปรแกรมและรายละเอียดของวงจรได้แสดงไว้ในภาคผนวก

บทที่ 2

ทฤษฎีอัตราการสุ่ม

และการเข้ารหัสข้อมูลแบบพัลส์โค้ดมอดคูลेशन

2.1 ทฤษฎีอัตราการสุ่ม (Sampling rate theory)

ในระบบที่ต่อเนื่องอินพุต เอาท์พุทและตัวแปรอื่น ๆ ในระบบทั้งหมดในระบบทั้งหมดเราสามารถที่จะวัดได้เมื่อเวลาใดๆ และสามารถเปลี่ยนแปลงไปได้อย่างต่อเนื่องได้ตามเวลา ในระบบที่ไม่ต่อเนื่องนั้นตัวแปรต่างๆในระบบเราไม่อาจคาดคะเนได้ตลอดช่วงเวลา เพราะระบบทำงานไม่ต่อเนื่อง หรือทำงานเป็นช่วงที่แน่นอน เมื่อเราหาค่าตัวแปรใดๆในเวลาช่วงหนึ่งๆ ก็จะได้ตัวแปรค่าหนึ่งออกมา ซึ่งค่าที่วัดมานี้ อาจจะเป็นค่าที่อาจใกล้เคียงกับค่าจริงในระบบที่ต่อเนื่องนั้น เพราะมันจะมีค่าเท่ากับในระบบต่อเนื่อง เฉพาะในขณะที่ทำการแปลงข้อมูลเป็นดิจิทัลเท่านั้น และจะเป็นจริงก็ต่อเมื่อมีข้อมูลขนาดจำนวนบิตเท่ากับบิตนั้น ดังนั้นจึงเป็นการยากลำบากพอสมควรที่จะนำเอา คอมพิวเตอร์ไปทำงานกับสัญญาณหรือระบบที่เปลี่ยนแปลงไปเรื่อยๆ อย่างต่อเนื่องตามเวลา เพราะว่าการทำงานของคอมพิวเตอร์นั้นเป็นแบบการทำงานที่ไม่ต่อเนื่อง ฉะนั้นจึงมีความจำเป็นที่สัญญาณของระบบที่ต่อเนื่องเหล่านั้นจะต้องถูกทำการสุ่มตามช่วงเวลาที่ไม่ต่อเนื่องราวว่ามันเองก็การทำงานที่ไม่ต่อเนื่องเช่นกัน เราจะเรียกการทำงานของระบบที่ทำการสุ่มข้อมูล (sample-data system) ซึ่งสัญญาณที่ต่อเนื่องหรือสัญญาณอนาลอกใดๆ ซึ่งถูกสุ่มและเปลี่ยนให้เป็นข้อมูล ในเชิงตัวเลขว่า การดิจิตัล จากที่ได้กล่าวมาทั้งหมดนี้ เรารู้จักกันในรูปแบบของการแปลงสัญญาณ อนาลอกเป็นสัญญาณดิจิทัล ส่วนในกระบวนการทำงานที่ตรงกันข้ามกับกระบวนการดังกล่าว ก็คือ การแปลงสัญญาณอนาลอกเป็นสัญญาณดิจิทัลนั่นเอง

สัญญาณที่ถูกนำเข้ามาผ่านระบบทำการสุ่มข้อมูล บางทีก็มีความหมายเป็นลำดับ (sequence) แล้วแต่ว่าจะเป็นการลำดับเข้าหรือลำดับออก โดยธรรมชาติแล้วสัญญาณใดๆ นั้นมีความยาวเป็นอนันต์ ดังนั้นเราจึงมักจะใช้เวกเตอร์ เป็นตัวที่จะใช้ไม่ว่าแยกข้อมูลใดที่มีความยาวที่แน่นอน ซึ่งจะทำให้ การวิเคราะห์นั้นสามารถทำได้ง่ายขึ้น

โดยการคำนวณด้วยระบบดิจิทัล

จากทฤษฎีดังกล่าวทำให้เราอ้างได้ว่า ข้อมูลเชิงตัวเลขที่เราสุ่มมาเพื่อเป็นตัวแทนสัญญาณต่างๆทางอนาลอกนั้นย่อมมีจุดที่สุ่มที่แน่นอน หรือเราสามารถหาข้อมูลเชิงตัวเลขต่างๆนั้นเป็นตัวแทนสัญญาณต่างๆ ทางอนาลอกได้เสมอและมีจำนวนที่แน่นอนที่สามารถควบคุมได้ เราเรียกความแตกต่างระหว่างข้อมูลเชิงตัวเลขที่เราสามารถกำหนดได้นี้ว่า ข้อมูลควันไทซ์ (quantize)

ซึ่งจากการสุ่มข้อมูลออกมาแบบนี้ก็อาจเกิดความคลาดเคลื่อนบ้าง เราเรียกความผิดพลาดทางควันไทซ์ ซึ่งความผิดพลาดทางควันไทซ์นี้เป็นปัญหาในเรื่องสัญญาณรบกวน จะเห็นได้ว่าเป็นสิ่งที่เกิดขึ้นปกติของการทำงานแบบดิจิทัลเอง และมักก่อให้เกิดความไม่เที่ยงตรงในระบบที่ทำงานเกี่ยวกับสัญญาณดิจิทัลนี้

ในระบบที่เรากำลังศึกษานี้จะใช้ช่วงเวลาทำการสุ่มข้อมูลแต่ละครั้งเท่ากันเสมอ ฉะนั้นอัตราสุ่มข้อมูลของระบบจะเท่ากับส่วนกลับของเวลาที่แตกต่างกันระหว่างการสุ่มข้อมูลแต่ละครั้ง

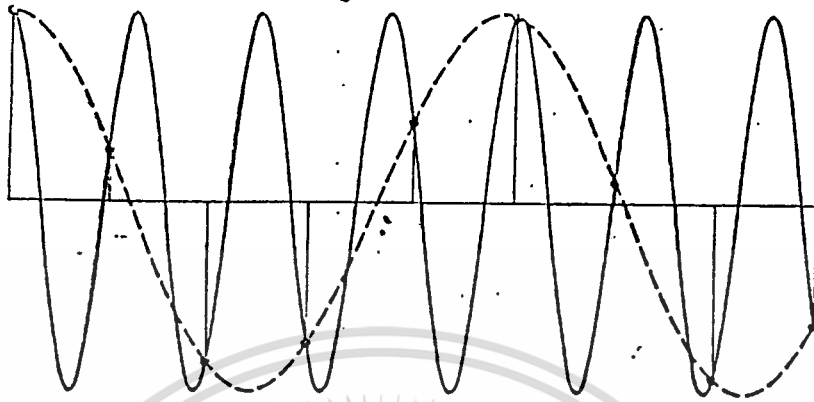
ในการสุ่มข้อมูลจากสัญญาณทางอนาลอกใดๆ ควรจะประมาณของอัตราสุ่มไว้ให้สูงพอสมควร เพราะถ้าอัตราสุ่มที่ค่อนข้างต่ำ อาจก่อให้เกิดปัญหาในระหว่างที่ทำการสุ่มข้อมูลจากสัญญาณต่อเนื่อง เพราะในสัญญาณนั้นต่างๆอาจมีข้อมูลต่างๆที่สำคัญมาก เช่นสัญญาณในหัวใจของคนไข้ที่มีปัญหาอาจมีบางช่วงที่มีลักษณะของความถี่สูง หากใช้อัตราสุ่มที่มีค่า

สูงกว่าสัญญาณหัวใจเพียงสองหรือสามเท่า สัญญาณดังกล่าวก็จะไม่ได้ถูกสุ่มเข้ามาหรือระบบทำการสุ่มไม่สามารถเก็บรายละเอียดของสัญญาณได้อย่างเพียงพอ

ผลลัพธ์ที่ตามมาก็คือ เมื่อเราทำการแปลงข้อมูลกลับไปเป็นสัญญาณอนาลอกแล้ว เราจะได้สัญญาณที่ผิดเพี้ยนไปจากสัญญาณต้นฉบับมาก ในทฤษฎีการสุ่มข้อมูลจากสัญญาณต่อเนื่อง กำหนดให้ใช้อัตราสุ่มอย่างน้อยสองเท่าของความถี่สูงสุดของสัญญาณที่เรา

จะนำมาทำการสุ่ม เราเรียกอัตราสุ่มที่น้อยที่สุดที่ยอมรับได้นี้ว่า NYQUIST RATE แต่หากต้องการรายละเอียดของสัญญาณสูง เช่นในการวิเคราะห์สัญญาณหัวใจ

ต้องเลือกอัตราสุ่มสูงมากกว่าสองเท่าขึ้นไป ดังนั้นสำหรับสัญญาณต่างๆ ที่จะนำมาทำการสุ่มข้อมูลที่มีความถี่ประมาณ 3-4 กิโลเฮิร์ตซ์ อัตราการสุ่มที่ควรจะใช้มากที่สุดคือ 8-10 กิโลเฮิร์ตซ์



รูปที่ 2.1 แสดงตัวอย่างของการกำหนดอัตราสุ่มที่ต่ำกว่ามาตรฐาน
เส้นหนา แสดงถึงสัญญาณอินพุตที่มีความถี่ประมาณ 795 Hz จุดแสดงถึง
การสุ่มที่ ความถี่การสุ่มที่ความถี่ประมาณ 1 kHz เส้นประแสดงถึง
สัญญาณเอาต์พุตที่ ได้ออกมา มีความถี่เท่ากับผลต่างของอัตราสุ่ม
กับความถี่ของสัญญาณอินพุตประมาณ $1000 - 795 = 205$ Hz

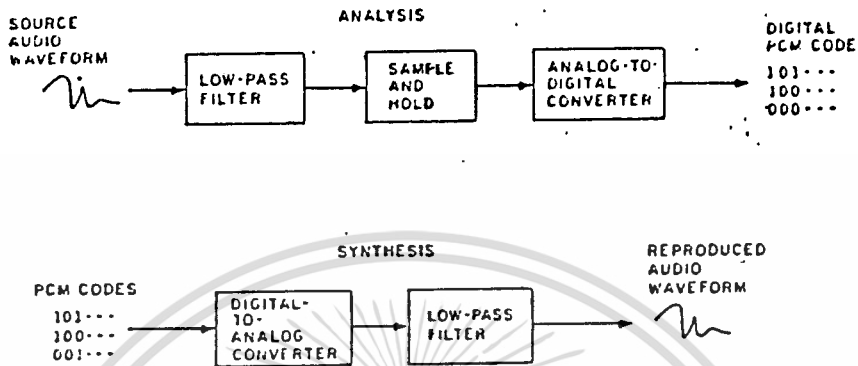
ในระบบใดๆที่ใช้อัตราสุ่มน้อยกว่า NYQUIST RATE ที่เป็นมาตรฐานนั้นเรา
เรียกว่า Undersampling สำหรับสัญญาณที่ถูกสุ่มแบบ Undersampling นั้น จะ
ได้ผลลัพธ์ออกมาเป็นสัญญาณใหม่ที่มีความถี่เท่ากับผลต่างของความถี่ของอัตราสุ่ม
กับความถี่ของสัญญาณที่ป้อนเข้ามา ซึ่งจะมีความถี่ขึ้นไประยะห่างจากเดิมอย่างมากดังตัว
อย่างดังรูป

แต่ถ้ากำหนดค่าให้อัตราสุ่มมีค่าสูงเกินไป ก็ไม่ใช่ว่าผลดีขึ้นมาเท่าไรนัก เพราะ
ปริมาณข้อมูลที่ทำการสุ่มออกมาได้นั้น อาจจะมากเกินไปจนเกินไป ซึ่งทำให้สิ้น
เปลืองเนื้อที่ของหน่วยความจำอย่างมาก ฉะนั้น เราควรเลือกความถี่ของอัตราสุ่ม
ให้ถูกต้องตามมาตรฐาน และเมื่อเลือกให้อัตราสุ่มค่าหนึ่งแล้ว เราอาจจะใช้
อุปกรณ์ประเภทกรองความถี่ผ่านได้ด้วย เพื่อป้องกันข้อมูลที่สูญหายจากเวลาไป

โดยการออกแบบวงจรกรองความถี่ที่มากกว่าครึ่งหนึ่งของอัตราสุ่มที่เรากำหนดอัตราสุ่ม ($F_s/2$) แต่ในการออกแบบวงจรกรองความถี่ผ่านนั้น ไม่ควรถูกจุดที่ทำให้คัทออฟนั้น ทำการคัทออฟอย่างรวดเร็วเกินไป ควรเลือกให้การตอบสนองของวงจรกรองความถี่ผ่านนั้นลดลงอย่างช้าๆจะดีกว่ามาก

2.1 การเข้ารหัสแบบพัลส์โค้ดมอดดูเลชัน (pulse code modulation)

พัลส์โค้ดมอดดูเลชัน คือวิธีที่ใช้กันทั่วไปในการแทนสัญญาณทางอนาลอกให้อยู่ในรูปแบบสัญญาณทางดิจิทัล สำหรับจุดใดๆบนสัญญาณทางอนาลอกที่ต่อเนื่องกันจะถูกแทนได้เป็นข้อมูลทางดิจิทัลค่าหนึ่งในระบบเลขฐานสอง เมื่อไรที่ค่าหนึ่งบนสัญญาณทางอนาลอกถูกทำการถูกทำการวัด ค่าๆนั้นจะนำมาเปรียบเทียบกับว่าจะต้องแทนด้วยโค้ดอะไรในระบบเลขฐาน 2 ซึ่งเรียกว่า พัลส์โค้ด ถ้าหากว่าค่านั้นอยู่ระหว่างสองค่าในระบบเลขฐานสอง จะถือว่า ค่าเลขฐานสองที่อยู่ใกล้มากที่สุดนั้นเป็นโค้ดสำหรับแทนสัญญาณจุดนั้นของสัญญาณอนาลอกที่ทำการอินพุทเข้า วิธีการแบบนี้เรียกว่า ควอนไทเซชัน (Quantization) การแบ่งคลื่นออกเป็นช่วงย่อยๆ โดยแต่ละช่วงจะถูกกำหนดให้เท่ากับโค้ดในระบบเลขฐานสองค่าหนึ่ง ซึ่งเรียกว่าพัลส์โค้ด ฉะนั้นในการวิเคราะห์สัญญาณเสียงใดๆเมื่อสัญญาณเสียงผ่านกระบวนการเหล่านี้แล้วชุดข้อมูลที่เป็น พัลส์ โค้ด จะถูกส่งออกมาอย่างต่อเนื่องเป็นขบวน ผลที่ได้นี้คือ สัญญาณพัลส์โค้ดมอดดูเลชัน แต่เพราะว่าสัญญาณเสียงที่จะนำมาวิเคราะห์และทำการบันทึกไว้นั้นจะถูกนำมาเก็บในรูปแบบของสัญญาณดิจิทัล ฉะนั้นในการที่จะนำเอาสัญญาณเสียงนั้นๆมาผ่านกระบวนการต่างๆเราจึงต้องทำการปรับปรุงแต่งสัญญาณนั้นให้เหมาะสมเสียก่อนซึ่งจะแสดงวิธีการต่างๆดังรูป 5.1 ซึ่งแสดงถึงแผนผังการทำงานของเครื่องสังเคราะห์สัญญาณเสียงหรือ Speech Synthesizer ซึ่งเครื่องนี้จะทำการแปลงสัญญาณเสียงที่เราต้องการที่จะเก็บบันทึกไว้ให้อยู่ในรูปแบบของข้อมูลทางดิจิทัลที่เราเรียกว่า พัลส์โค้ดมอดดูเลชัน



รูปที่ 2.2 แสดงไดอะแกรมของระบบการวิเคราะห์ และสังเคราะห์สัญญาณเสียงโดยใช้วิธี พัลส์โค้ดมอดดูเลชัน

จากรูปสามารถอธิบายการทำงานได้ดังนี้คือ สัญญาณเสียงโดยทั่วไปซึ่งบาง ส่วนของสัญญาณอาจมีความถี่สูงเกินไป ทำให้ผลต่างของระดับสัญญาณระหว่างสอง จุดใดๆ ในขณะที่ทำการสุ่มมีค่ามากเกินไปเกินกว่าค่าสูงสุดของพัลส์โค้ด ที่เราได้กำหนดไว้ มักทำให้เกิดความผิดเพี้ยนของสัญญาณขึ้นได้ที่เราเรียกว่า Compliance error ฉะนั้นเราจึงต้องนำเอาสัญญาณที่เราต้องการจะวิเคราะห์และบันทึกไว้มา ผ่านวงจรรองความถี่ต่ำผ่าน ซึ่งจะสามารถช่วยลดปัญหานี้ได้เพราะสัญญาณความถี่ สูงได้ถูกกรองทิ้งไปแล้ว จากนั้นสัญญาณที่ได้จะถูกนำมาเข้าวงจรส่วนที่เรียกว่า วงจรสุ่มและหน่วงสัญญาณ (sample&hold-circuit) เหตุที่ต้องใช้วงจรสุ่มและ หน่วงสัญญาณนี้ก็เพราะในวงจรนี้เราได้เลือกใช้อุปกรณ์ที่ทำการแปลงสัญญาณอนาล็อกให้เป็นสัญญาณดิจิทัลที่ทำงานแบบซิกเซสทีฟแอมพรอกซิเมชัน (successive approximation) ซึ่งอุปกรณ์แปลงสัญญาณนี้จะทำการแปลงสัญญาณออกมาทีละบิต แล้วกลับไปเช็คสัญญาณอินพุตใหม่อีกแล้วทำการแปลงไปบิต จนครบทุกบิต จึงจะถือว่าเสร็จกระบวนการทำงานใน 1 ครั้งไปถ้าหากเราไม่มีค่า ไม่วงจรสุ่มและหน่วงสัญญาณไว้แล้วจะทำให้สัญญาณทางอินพุตของ ADC เข้าสู่สัญญาณ

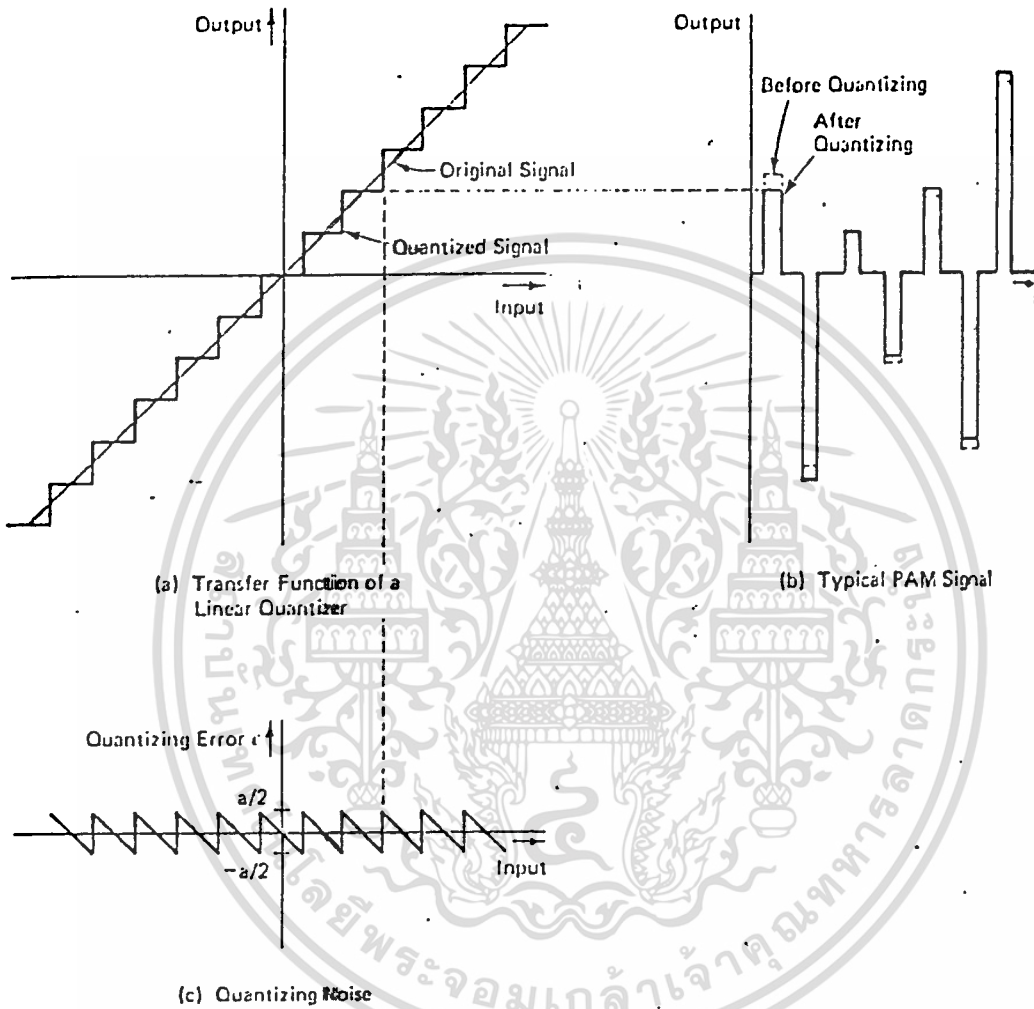
เดิม ในระหว่างกระบวนการทำการแปลงข้อมูลเหล่านั้นกลับไปเป็นสัญญาณเสียง มักจะมีความผิดเพี้ยนขึ้นมาเสมอ จากนั้นข้อมูลทางดิจิทัลที่ได้รับออกมาแต่ละไบท์จะนำมาผ่านกระบวนการทางซอฟต์แวร์โดยไมโครโพรเซสเซอร์ เพื่อทำการแปลงสัญญาณออกมาให้อยู่ในรูปของ พัลส์โค้ดแอสแตนด์นัวข้อมูลเหล่านี้ไปเก็บไว้ในหน่วยความจำมาถึงจุดนี้ก็คือ เสร็จสิ้นขั้นตอนในการวิเคราะห์สัญญาณเสียง เพื่อเก็บบันทึกในรูปแบบของสัญญาณดิจิทัลแบบ พัลส์โค้ดมอดดูเลชัน

สำหรับขั้นตอนในการส่ง เเคราะห์สัญญาณเสียงก็คือการนำข้อมูลพัลส์ โค้ดที่เรามีอยู่ในหน่วยความจำมาทำการแปลงกลับให้เป็นสัญญาณเสียงทว่าโดต์โดยการนำเอาข้อมูลที่เก็บไว้ซึ่งจะถูกเก็บไว้ในลักษณะ พัลส์ โค้ด มาผ่านกระบวนการแปลงสัญญาณเหล่านั้นกลับออกมาให้อยู่ในรูปของข้อมูล 8 บิต โดยวิธีการทางซอฟต์แวร์ จากนั้นจึงนำเอาข้อมูลเหล่านั้นมาผ่านวงจรแปลงสัญญาณดิจิทัลให้เป็นสัญญาณอนาลอก แต่สัญญาณที่ออกมาจากวงจรแปลงสัญญาณดังกล่าวมักจะ ไม่เรียบ หรือเป็นสัญญาณที่มีความเป็นเชิงเส้นในลักษณะทางสัญญาณอนาลอกเท่าที่ควร จึงมีความจำเป็นที่จะต้องนำเอาวงจรกรองความถี่ต่ำผ่านมาไว้ เพื่อจะทำให้อสัญญาณที่ได้มานั้นมีความเป็นเชิงเส้นอย่างสมบูรณ์ จึง เสร็จสิ้นทุกขั้นตอนในการทำงานของระบบการวิเคราะห์และสังเคราะห์สัญญาณเสียงโดยวิธี พัลส์โค้ดมอดดูเลชัน

หลักจากการสุ่มข้อมูล ขนาดของแอมพลิจูดที่ได้ จะเรียกว่า ควันไทซ์ (quantize) ซึ่งมีขนาดแบบไม่ต่อเนื่อง สัญญาณใหม่ที่ได้มานี้จะเป็นสัญญาณแบบคร่าวๆของสัญญาณเดิม ซึ่งแน่นอนคือสัญญาณทั้งสองย่อมไม่เหมือนกันทุกส่วน ทว่าทำให้เกิดความผิดพลาดขึ้น ความแตกต่างระหว่างสองสัญญาณนี้เรียกว่า quantization error ในระบบการส่งข้อมูลแบบพัลส์โค้ดมอดดูเลชัน สัญญาณรบกวนที่เกิดจากการควันไทซ์ (quantizing noise) เป็นสัญญาณรบกวนที่สำคัญที่สุดซึ่งต้องระวังอย่างมาก

สัญญาณรบกวนที่เกิดจากควันไทซ์นี้ สามารถลดได้โดยการลดขนาดของช่วงการควันไทซ์ลง หรือ เพิ่มระดับบิตมากขึ้นอีก สำหรับการสื่อสารนั้นมักจะใช้การเข้ารหัสในรูปแบบของข้อมูล 8 บิต ซึ่งมีอยู่ทั้งหมด 256 ระดับ

เอกสารนี้เป็นเอกสารที่สงวนไว้สำหรับการใช้งานเพื่อการศึกษาเท่านั้น ไม่อนุญาตให้นำไปใช้ประโยชน์ด้านการค้าไม่ว่ากรณีใดๆทั้งสิ้น อีกทั้งห้ามมิให้ตัดแปลงเนื้อหา และต้องอ้างอิงถึงเจ้าของเอกสารทุกครั้งที่มีการนำไปใช้



รูปที่ 2.3 แสดงการคว้นไตซ์สัญญาณอนาลอกและความผิดพลาดจากการคว้นไตซ์

ถ้าใช้รหัส N บิต จะได้ช่วงการคว้นไตซ์ทั้งหมด 2^n ระดับ ซึ่งได้ค่า

$$\text{rms S/N ratio} = 1.8 + 6N \text{ เดซิเบล}$$

ยกตัวอย่างเช่น การเข้ารหัส 8 บิต อัตราส่วนของสัญญาณกับนอยส์คือ

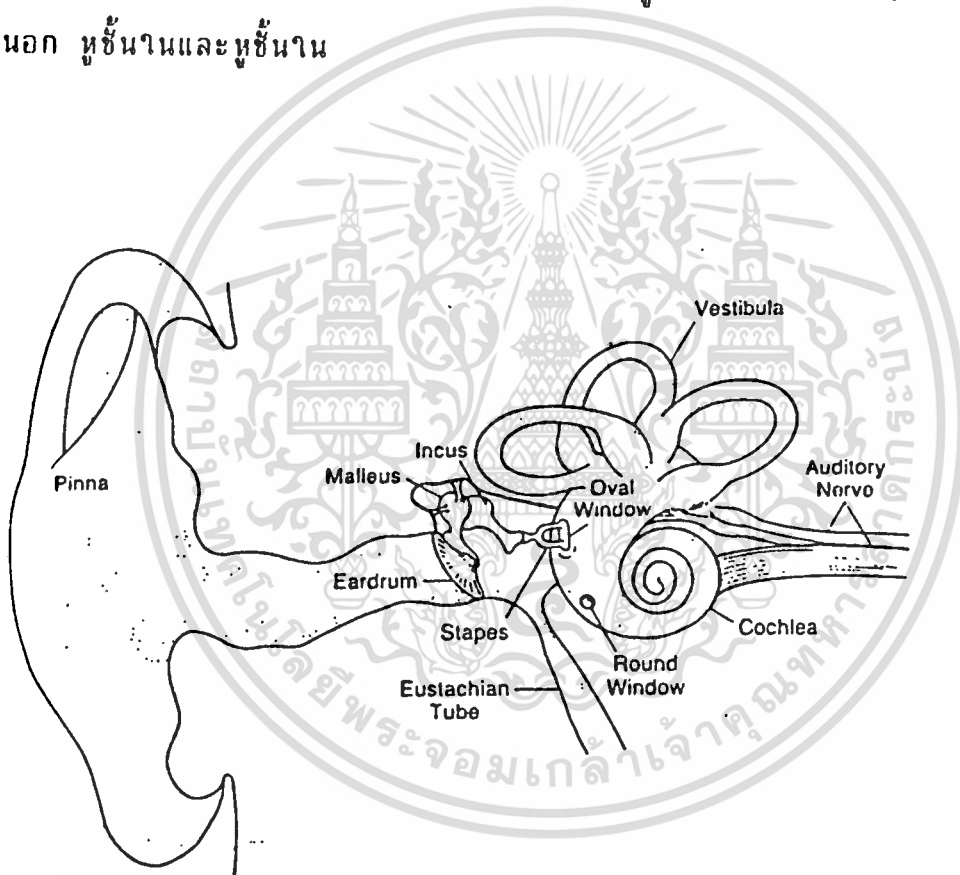
เอกสาร 49.8 เดซิเบล สำหรับสมการนี้ได้กำหนดแอมพลิจูดที่สูงที่สุดที่ระบบจะรับได้โดยไม่มี
ถูกขลิบ (clip) อีกทั้งห้ามมิให้ตัดแปลงเนื้อหา และต้องอ้างอิงถึงเจ้าของเอกสารทุกครั้งที่มีการนำไปใช้



การได้ยินและการรับรู้เสียงของมนุษย์

3.1 การได้ยิน (Hearing)

ระบบการฟังหมายถึงสิ่งที่ได้รับมาถูกเปลี่ยนแปลงเป็นสัญญาณกระตุ้น กระตุ้น ไปยังระบบประสาท เริ่มจากโครงสร้างของหูซึ่งแบ่งออกเป็น 3 ส่วน ได้แก่ หูชั้นนอก หูชั้นในและหูชั้นใน



รูปที่ 3.1 แสดงส่วนประกอบของหู

3.1.1 หูชั้นนอก

หูชั้นนอกประกอบไปด้วยใบหู (pinna) ซึ่งสามารถเห็นจากภายนอก เอกสารนี้เป็นเอกสารที่สงวนไว้สำหรับการใช้งานเพื่อการศึกษาเท่านั้น ไม่อนุญาตให้เผยแพร่โดยไม่ได้รับอนุญาต
ได้ ท่อนำเสียง (external canal หรือ external auditory meatus) และ
ไมวากรณต่างๆ เช่น อวัยวะที่สัมผัสกับแสงและเสียง

แก้วหู (eardrum) ใบบูเป็นส่วนปิดกั้นจากสิ่งต่างๆภายนอก และเป็นตัวรับสัญญาณเสียง ท่อนำเสียงจะมีลักษณะค่อนข้างเป็นท่อตรง ขนาดยาวประมาณ 2.7 cm และกว้าง 0.7 cm เพื่อที่จะนำเสียงสู่แก้วหูต่อไป ท่อนี้มีความรีโซแนนซ์ที่ประมาณ 3 kHz ซึ่งเป็นช่วงของความถี่เสียงคนพูดปกติ แก้วหูเป็นโครงสร้างที่มีลักษณะเป็นรูปกรวย อยู่ปลายสุดของท่อนำเสียง แก้วหูจะสั่นเมื่อได้รับการตอบสนองจากสัญญาณเสียง และเป็นการเชื่อมโยงสัญญาณอันดับแรกๆของโครงสร้างในการส่งผ่านเสียง ไปสู่ตัวเปลี่ยนเป็นสัญญาณของระบบประสาทหูชั้นใน

3.1.2 หูชั้นกลาง

หูชั้นกลางเป็นช่องที่มีอากาศบรรจุอยู่ภายใน ซึ่งแยกออกจากหูชั้นนอกโดยแก้วหูและต่ออยู่กับหูชั้นใน ซึ่งเป็นช่องเปิด 2 ช่อง ที่เรียกว่า ช่องรูปวงรีและรูปกลม (oval and round windows) หูชั้นกลางนี้ยังต่ออยู่กับส่วนภายนอกหูโดยผ่านทางท่อยูสเตเชียน (eustachian tube) ซึ่งเป็นตัวปรับสมดุลของความดันอากาศ ระหว่างหูชั้นกลางและบรรยากาศภายนอก

หูชั้นกลางประกอบด้วยกระดูกชิ้นเล็กๆ 3 ชิ้น ซึ่งจะ เป็นตัวผ่านของสัญญาณระหว่างแก้วหูและช่องรูปวงรี กระดูกเหล่านี้เรียกว่ากระดูกค้อน (malleus or hammer) กระดูกทั่ง (incus or anvil) กระดูกโกลน (stapes or stirrup) กระดูกค้อนจะติดกับแก้วหู กระดูกโกลนติดกับช่องรูปวงรี และกระดูกทั่งจะติดกับกระดูกทั่งสองชนิด

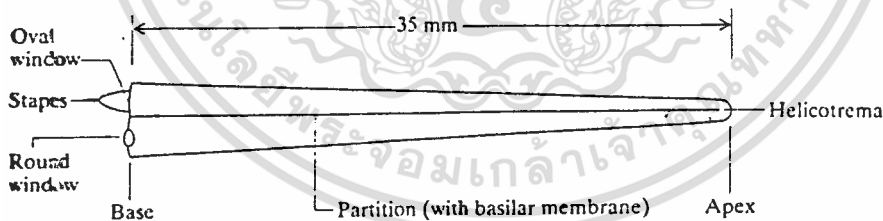
หน้าที่ของกระดูกเหล่านี้คือเป็นตัวกั้นการส่งผ่านของสัญญาณและ เป็นตัวจากัดแอมพลิจูด

- ตัวกั้นการส่งผ่านสัญญาณ (Impedance transformation) ช่วยให้การส่งพลังงานเสียงจากอากาศไปสู่ของเหลวในหูชั้นในให้มีประสิทธิภาพมากขึ้น
- การจำกัดและป้องกันระดับเสียงที่สูงเกินไป ซึ่งจะทาโดยกล้ามเนื้อของหูชั้นใน

3.1.3 หูชั้นใน

หูชั้นในประกอบด้วยอวัยวะที่เกี่ยวกับการได้ยิน 2 ส่วนคือ

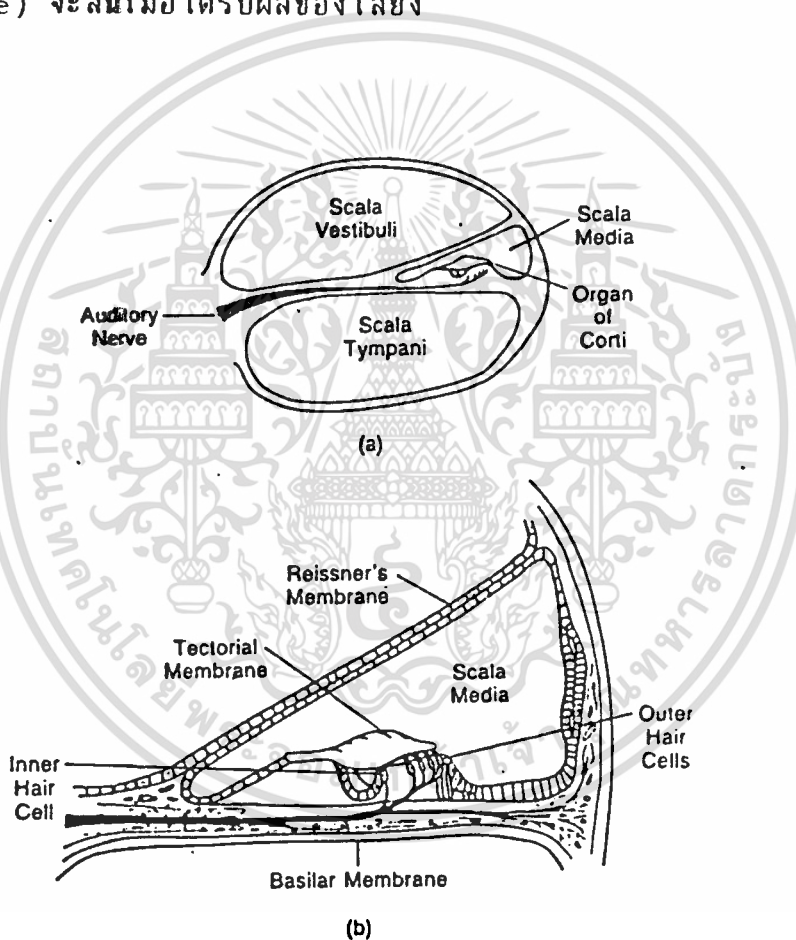
- Cochlea หมายถึงอวัยวะรับเสียงชนิดแบบก้นหอย อยู่ภายในหลอดเยื่อคด เรียกว่าเรียกว่า Membranous labyrinth ซึ่งภายในมีน้ำเหลืองเรียกว่า Endolymph ทำหน้าที่รับคลื่นเสียงที่สั่นสะเทือนไปชนอวัยวะที่เรียกว่า organ of corti มีเส้นประสาทสมองคู่ที่ 8 มาเลี้ยงและรับคลื่นเสียงไปสู่สมองอีกต่อหนึ่ง
- Semicircular canal หมายถึงอวัยวะเกี่ยวกับการทรงตัว มีลักษณะเป็นหลอดครึ่งวงกลม 3 วง (กระดูกอ่อน) ซึ่งตั้งฉากซึ่งกันและกัน ติดอยู่กับถุงที่เรียกว่า Ultriculus ภายในกระดูกครึ่งวงกลม 3 วงนี้จะมี Endolymph เมื่อเรขยียงไปทางใดก็จะเอียงไปทางนั้นเพื่อรักษาสมดุลย์ของร่างกาย และบอกความรู้สึกไปสู่สมองทาง เส้นประสาทรับความรู้สึก (Auditor nerve)



รูปที่ 3.2 แสดงลักษณะการแผ่อกของ Cochlea

Cochlea มีรูปร่างคล้ายก้นหอย สัญญาณการสื่อสารผ่านมาจากหูชั้นกลาง ทางช่อง เบ็ดกลมและ รูปร่างรี ซึ่งจะมีตัวแปลงสัญญาณเสียงจากการสั่น เป็นสัญญาณกระตุ้นระบบประสาท ถ้าเอา Cochlea มาแผ่อกจะได้ดังรูปที่ 3.9 และ เอกสารนี้เป็นเอกสารที่สงวนไว้สำหรับการใช้งานเพื่อการศึกษาเท่านั้น ไม่อนุญาตให้ทำไปใช้ประโยชน์ด้านการค้า ภาพตัดขวางจะได้ดังรูป 3.10 cochlea จะถูกแบ่งแผ่นเยื่อที่ยึดหยุ่น ที่เรียกว่า ไหมว่ากรณใดๆทั้งสิ้น อีกทั้งห้ามมิให้ตัดแปลงเนื้อหา และต้องอ้างอิงถึงเจ้าของเอกสารทุกครั้งที่มีการนำไปใช้ basilar membrane และมีเยื่อที่บางกว่าที่เรียกว่า Peissner'membrane

ส่วนที่กั้นคู่นี้จะแบ่ง cochlea ออกเป็น 2 ส่วน คือ scala vestibali และ scala tympani สองส่วนนี้จะต่อกันที่บริเวณปลายเปิดของ cochlea ที่เรียกว่า helicotrema พลังงานเสียงผ่านทางช่องรูปวงรีที่ซึ่งได้รับสัญญาณจากกระดูกโกลนอีกทีหนึ่ง เสียงจะเดินทางลงสู่ด้านหนึ่งของ cochlea (scala vestibali) ผ่านไปยังอีกด้านหนึ่ง (scala tympani) โดยผ่านทาง helicotrema และออกไปที่ช่องรูปกลม แผ่นเยื่อบาร์ซิลล่า (basilar membrane) จะสั่นเมื่อได้รับผลของเสียง

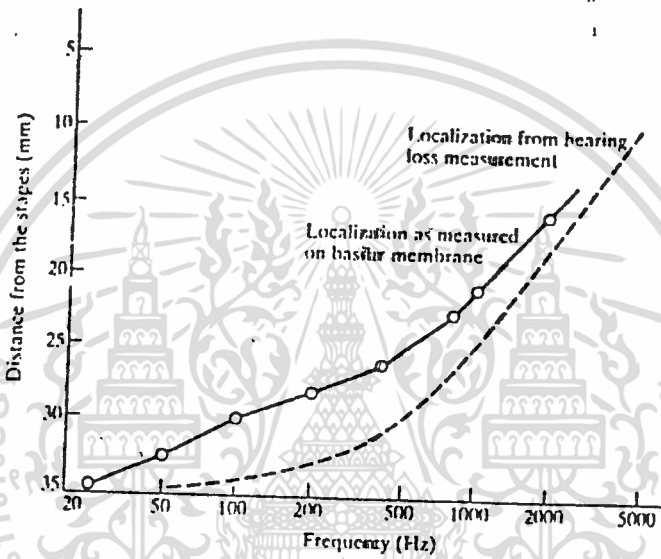


รูปที่ 3.3 (a) แสดงภาพตัดขวางของ Cochlea

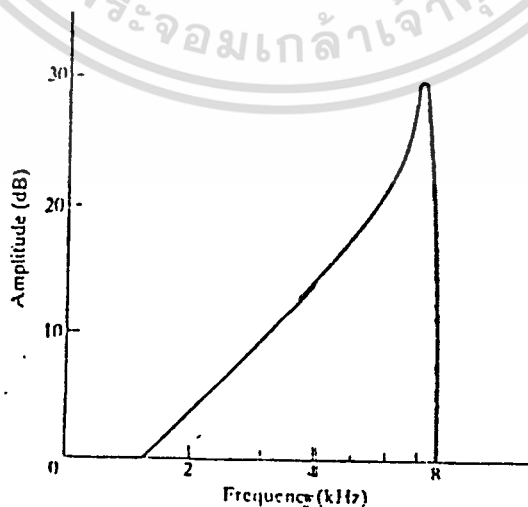
(b) แสดงโครงสร้างภายในของ Scala media

เอกสารนี้เป็นเอกสารที่สงวนไว้สำหรับการใช้งานเพื่อการศึกษาเท่านั้น ไม่อนุญาตให้นำไปใช้ประโยชน์ด้านการค้า ไม่ว่าจะกรณีใดๆทั้งสิ้น อีกทั้งห้ามมิให้ตัดแปลงเนื้อหา และต้องอ้างอิงถึงเจ้าของเอกสารทุกครั้งที่มีการนำไปใช้

ส่วนที่ทาหน้าที่เปลี่ยนสัญญาณเสียง (organ of corti) และ tectorial membrane จะวางตัวตามแนวยาวของแผ่นเยื่อบาร์ซิลลาโดยที่ tectorial membrane จะอยู่เหนือ organ of corti ซึ่ง tectorial membrane จะมีเซลล์ขน (hair cell) ซึ่งกระจาย อยู่บริเวณช่องว่างระหว่าง organ of corti และ tectorial membrane ขนเหล่านี้จะรับการสั่นสะเทือนของแผ่นเยื่อส่งผ่านไปยัง ส่วนของเซลล์ขน ซึ่งเป็นที่เชื่อมต่อไปยัง เส้นประสาท ที่จะส่งสัญญาณไปยังสมอง



รูปที่ 3.4 ตำแหน่งของแอมพลิจูดสูงสุดตามเยื่อบาร์ซิลลา



เอกสารนี้เป็นเอกสารที่สงวนไว้สำหรับการใช้งานเพื่อการศึกษาเท่านั้น ไม่อนุญาตให้นำไปใช้ประโยชน์ด้านการค้า
รูปที่ 3.5 แสดงถึงการตอบสนองความถี่ของจุดขนเยื่อบาร์ซิลลาที่มีการนำไปใช้

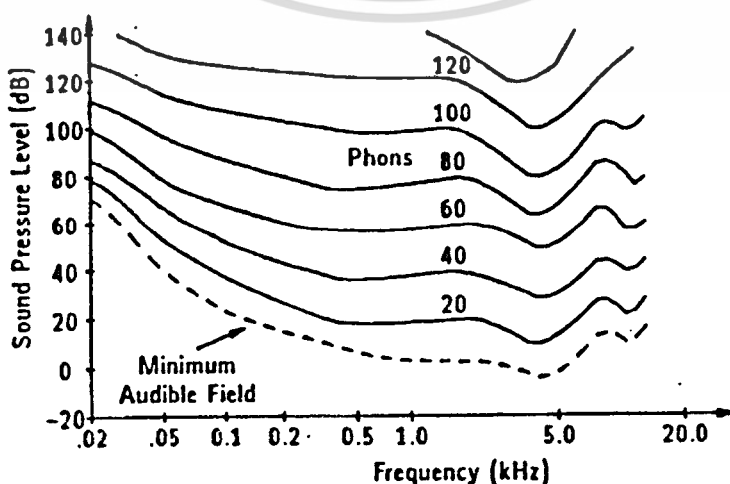
หน้าที่การทำงานของโครงสร้างช่วยในการกระจายไปสู่ที่ว่างของความถี่ที่ประกอบขึ้นตามความยาวของแผ่นเยื่อบาร์ซิลล่าจากการวิเคราห์การสั่นเนื่องจากการตอบสนองของเสียงถึงจุดสูงสุดที่จุด 1จุด ตามความยาวของมันและจุดนี้จะเป็นจุดที่มีค่าความถี่สูงสุดของความถี่ของฟังก์ชันเสียง จุดที่ขนาดสูงสุดคนาใบวาดกราฟกับความถี่ จะได้ดังรูป 3.4 ดังนั้น cochlea จึงเป็นตัวรับความถี่จากทางกลเป็นสัญญาณระบบประสาท

ความถี่ธรรมชาติที่ตอบสนองกับจุดๆเดียวบนแผ่นเยื่อบาร์ซิลล่า แสดงในรูปที่

3.5

3.2 ความเข้าใจ (Perception)

หน้าที่ของการรับเสียงและความสามารถ โดยปกติจะอยู่ในช่วง 16 Hz ถึง 16 kHz ในเด็กอาจถึง 20 kHz ยังมีอยู่ การรับฟังจะลดสมรรถภาพลงตามอายุ อาจจะถึง 10 kHz การได้ยินในช่วงความถี่ด้านค่าสัญญาณที่ได้ยินจะเป็นแบบขบวนของสัญญาณ (pulse train) ที่ความถี่ด้านสูงการได้ยินจะค่อยๆจางลง จนไม่ได้ยินช่วงของความเข้มอยู่ในช่วงของ 1-130 dB ที่ความเข้มค่าเสียงจะเบาจนไม่ได้ยิน ส่วนที่ความเข้มสูงจะทำให้เกิดความเจ็บปวดแก้วหูได้



เอกสารนี้เป็นเอกสารที่สงวนไว้สำหรับการใช้งานเพื่อการศึกษาเท่านั้น ไม่อนุญาตให้นำไปใช้ประโยชน์ด้านการค้า
ไม่ว่ากรณีใดๆทั้งสิ้น อีกทั้งห้ามมิให้ตัดแปลงเนื้อหา และต้องอ้างอิงถึงเจ้าของเอกสารทุกครั้งที่มีการนำไปใช้
รูปที่ 3.6 แสดง เส้นแสดง ระดับความเท่ากันของระดับความดัง

3.2.1 ความดัง การรับรู้ของความดัง เป็นหน้าที่ของทั้งความถี่และระดับของเสียง

โดยการเปรียบเทียบโทน (tone) ของเสียงที่ต่างกันของความถี่และแอมพลิจูด เส้นแสดงระดับความดังแสดงได้จากรูปที่ 3.6

3.2.2 การเข้าใจเสียงพูด ปัญหาพื้นฐานที่กำหนดโดยทฤษฎีเสียงพูด คือ สัญญาณเสียงที่เข้ามาที่หู จะแปลโดยสมอง เป็นเสียงพูดได้อย่างไร จากการทดลองหลายครั้ง แล้วทำการรวบรวมก็พอได้คำตอบบางส่วน อย่างไรก็ตามคำตอบที่สมบูรณ์ก็ยังไม่ปรากฏอย่างเด่นชัด เราสามารถสรุปความสอดคล้องของบางส่วนที่หาข้อมูลมาได้ ดังนี้

ปรากฏว่า สมองจะสร้างความแตกต่างระหว่างเสียงพูดกับสัญญาณที่ไม่ใช่เสียงพูด การทดลองพบว่าเมื่อผู้ฟังได้ยินเสียงที่ส่งเคราะห์ขึ้น ไม่ใช่เสียงพูด แต่ทำคล้ายเสียงพูด จะพบขอบเขตที่มีการเปลี่ยนแปลงกระทันหันข้างใดข้างหนึ่ง จะถูกเข้าใจว่าเป็นเสียงพูด ส่วนอีกข้างหนึ่งจะไม่เป็นเสียงพูด

สมองสามารถแยกเสียงที่เป็นเสียงพูดและไม่ใช่เสียงพูดได้ เชื่อว่า ศูนย์ประมวลผลเสียงพูดจะอยู่บริเวณสมองซีกซ้าย ที่เป็นเช่นนี้ เพราะหูข้างขวาจะแสดงสมรรถภาพที่ดีกว่าหูซ้ายในการรับฟัง มีความเชื่อในทางที่ว่า ระบบประสาทของมนุษย์ ใช้ในการถอดรหัสเสียงที่เข้ามา สมองจะทำการแยกจากพวกของเสียงพูด นอกจากจะแบ่งเป็นสัญญาณเสียงพูด และไม่ใช่เสียงพูดแล้ว เสียงพูด โดยจะแยกความถี่มูลฐานของความถี่ส่วนฮาร์โมนิค และแยกออกมาเป็นเสียงพูดหลายชนิด หน่วยประมวลผลกลางจะแสดงการจดจำโดยใช้ผลอันนี้ในการรับสัญญาณเข้ามา

การวิจัย ชี้ให้เห็นว่า การเข้าใจเสียงพูดขึ้นกับคุณลักษณะความชัดเจนในการออกเสียงและการวิเคราะห์เสียงพูด

การแปลงฟูเรียร์ (Fourier Transform)

การแปลงฟูเรียร์เป็นเครื่องมือวิเคราะห์ในงานวิทยาศาสตร์สาขาต่างๆ ในปัจจุบัน การประยุกต์ใช้งานที่นิยมใช้วิเคราะห์ระบบเชิงเส้นที่ไม่มี การแปรผันตามเวลา (linear time-invariant system) แต่การแปลงฟูเรียร์ที่จะพูดถึงต่อไปนี้เป็นหลักหรือคุณสมบัติสำคัญ ซึ่งสามารถใช้งานได้ทั่วไป

4.1 ฟูเรียร์อินทิกรัล

ฟูเรียร์อินทิกรัล มีค่าจำกัดความ เป็นสมการว่า

$$H(f) = \int_{-\infty}^{\infty} h(t) e^{j2\pi f t} dt \tag{2.1}$$

$h(t)$ เป็นเทอมของฟังก์ชันของตัวแปรเวลา และ $H(f)$ เป็นเทอมของฟังก์ชันของตัวแปรความถี่ การแปลงฟูเรียร์ของฟังก์ชันเวลา จะแทนด้วยตัวอักษรตัวใหญ่

ในรูปทั่วไป การแปลงฟูเรียร์ มีรูปเป็นจำนวนเชิงซ้อน (complex number)

$$H(f) = R(f) + jI(f) = |H(f)| e^{j\theta(f)} \tag{2.2}$$

เมื่อ $R(f)$ เป็นส่วนจริงของการแปลงฟูเรียร์

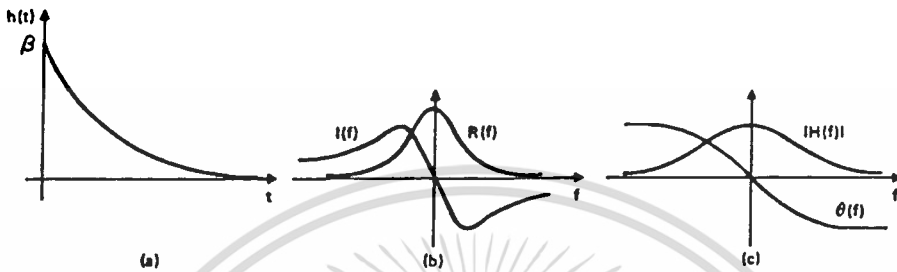
$I(f)$ เป็นส่วนจินตภาพของการแปลงฟูเรียร์

$H(f)$ เป็นแอมพลิจูดหรือฟูเรียร์สเปกตรัมของ $h(t)$ ซึ่งได้จาก

$$\sqrt{R(f)^2 + I(f)^2}$$

$\theta(f)$ เป็นมุมเฟสของการแปลงฟูเรียร์ ซึ่งได้ $\tan^{-1}[I(f)/R(f)]$

เอกสารนี้เป็นเอกสารที่สงวนไว้สำหรับการใช้งานเพื่อการศึกษาเท่านั้น ไม่นิยมนำไปใช้ประโยชน์ด้านการค้าไม่ว่ากรณีใดๆทั้งสิ้น อีกทั้งห้ามมิให้ดัดแปลงเนื้อหา และต้องอ้างอิงถึงเจ้าของเอกสารทุกครั้งที่มีการนำไปใช้



รูปที่ 2.1 (a) ตัวอย่างของฟังก์ชันนาโคเมนเวลา

(b) ส่วนจริงและส่วนจินตภาพของการแปลงฟูเรียร์

(c) แอมพลิจูดและเฟสของการแปลงฟูเรียร์

4.2 การแปลงอินเวอร์สฟูเรียร์ (inverse fourier transform)

การแปลงอินเวอร์สฟูเรียร์ มีค่าจำกัดความ ดังนี้

$$h(t) = \int_{-\infty}^{\infty} H(f) e^{j2\pi f t} df \quad (2.3)$$

4.3 การแปลงฟูเรียร์แบบไม่ต่อเนื่อง (discrete fourier transform หรือ DFT)

DFT เป็นลำดับของความถี่ไม่ต่อเนื่อง ที่ได้จากการสุ่มในหนึ่งคาบเวลาของการแปลงฟูเรียร์

เมื่อกำหนดให้จำนวนการสุ่มเท่ากับ N สุ่มบนคาบเวลา $0 < w < 2\pi$
เอกสารนี้เป็นเอกสารที่สงวนลิขสิทธิ์และใช้เพื่อการศึกษาเท่านั้น เมื่อผู้ยืมหนังสือฉบับนี้ไปใช้จะต้องปฏิบัติตามเงื่อนไขการค้ำ
ไม่ว่ากรณีใดๆทั้งสิ้น อีกทั้งห้ามมิให้ดัดแปลงเนื้อหา และต้องอ้างอิงถึงเจ้าของเอกสารทุกครั้งที่มีการนำไปใช้

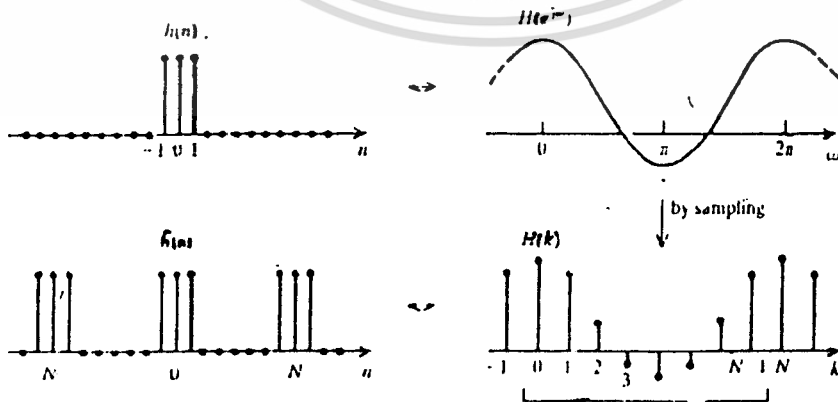
ดังนั้น

$$\omega_k = 2\pi k/N \quad \text{เมื่อ } 0 < k < N-1 \quad (2.4)$$

ถ้ากำหนดให้ $\{h(n)\}$ เป็นลำดับของ discrete time และลำดับของ Fourier Transform $H(e^{j\omega})$ ทั่วเท่ากับ $\{H(k)\}$ โดยที่

$$H(k) = H(e^{j\omega_k}) \quad \text{เมื่อ } \omega_k = 2\pi k/N \text{ และ } 0 < k < N-1 \quad (2.5)$$

ลำดับของ DFT เริ่มต้นที่ $k=0$ หรือที่ $\omega=0$ แต่ไม่รวมจุด $k=N$ หรือ $\omega=2\pi$ เราจะเห็นว่า $H(e^{j\omega})$ มีความถี่เท่ากับ ω หรือ 2π ซึ่งได้จากการกระจายอนุกรมฟูเรียร์และคำนวณค่าสัมประสิทธิ์จากลำดับ $\{h(n)\}$ แสดงว่าเมื่อสัญญาณเวลาต่อเนื่องถูกสุ่มด้วยคาบเวลาการสุ่ม T_s สเปกตรัมของผลลัพธ์จากการแปลงฟูเรียร์จะมีฟังก์ชันคาบเวลาของความถี่เท่ากับ $2\pi/T_s$ จากรูปที่ 1 เมื่อ $H(e^{j\omega})$ ถูกสุ่มด้วยคาบเวลาการสุ่ม $\omega_s = 2\pi/N$ เมื่อแปลงกลับเป็นลำดับของฟังก์ชันเวลาไม่ต่อเนื่อง $\{h(n)\}$ จะมีความถี่ $2\pi/\omega_s = N$



เอกสารนี้เป็นรูปที่ 4.2 ที่แสดงผลของลำดับของเวลาจาก sampled spectrum ด้านการคำนวณว่ากรณีใดๆทั้งสิ้น อีกทีหนึ่ง $N=8$ และอยู่ในช่วง $0 < \omega < 2\pi$ การทุกครั้งที่มีการนำไปใช้

ดังนั้นลำดับ discrete time ที่อยู่ในฟังก์ชันคาบ สามารถหาในเทอมของ $\{h(n)\}$ ได้

$$\hat{h}(n) = \sum_{m=-\infty}^{\infty} h(n+mN)$$

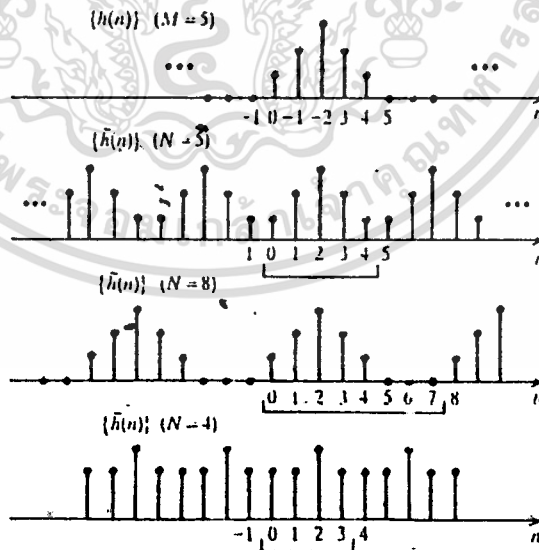
ลำดับ $\{h(n)\}$ เรียกว่า periodic extension ของ $\{h(n)\}$ จำนวนจุดสุ่มในหนึ่งคาบของ spectrum N จะมีค่าเท่ากับคาบของ $\{h(n)\}$

เราสามารถเลือกค่า N เท่าใดก็ได้ ซึ่งเป็นจำนวนการสุ่มของ $H(e^{j\omega})$ ภายใต $0 \leq \omega < 2\pi$ เมื่อ N เป็นคาบของ $\{h(n)\}$ เราต้องเลือกค่าที่ไม่น้อยเกินไป ในลักษณะที่ $\{h(n)\}$ เป็นฟังก์ชันคาบเวลาแบบไม่จำกัด ทำให้เกิดลักษณะสัญญาณที่ถูกสุ่มทับกันสัญญาณที่ได้จะผิดพลาดไป สามารถแสดงจากตัวอย่างข้างล่าง

กำหนด

$$h(n) = \begin{cases} h(n) & \text{เมื่อ } 0 \leq n \leq M-1 \\ 0 & \text{เมื่อ } M \leq n \leq N-1 \end{cases}$$

จะได้จุดที่เกิดจากการสุ่ม เมื่อ N มีค่าต่าง ๆ ดังรูป



รูปที่ 4.3 แสดงความสัมพันธ์ของช่วงเวลาของลำดับ M และจำนวนจุดในการสุ่มสเปคตรัม N

จากรูป จะเห็นว่า ถ้า ค่า $M > N$ รูปสัญญาณจะทับกัน (overlap) หรือเกิด time-aliasing ซึ่งสามารถป้องกันได้โดยเลือกค่า $N \geq M$ ไม่ว่าจะกรณีใดๆทั้งสิ้น อีกทั้งห้ามมิให้ดัดแปลงเนื้อหา และต้องอ้างอิงถึงเจ้าของเอกสารทุกครั้งที่มีการนำไปใช้

บทที่ 5

การแปลงฟูรีเยอร์ (FFT)

และการประยุกต์ใช้งาน

FFT(fast fourier transform) เป็นอัลกอริทึม(algorithm) ที่ช่วยในการคำนวณ DFT มีประสิทธิภาพมากขึ้น ลดจำนวนการกระทำทางคณิตศาสตร์และขนาดของหน่วยความจำที่ต้องใช้ในการคำนวณ DFT อัลกอริทึมของ FFT จึงเป็นเทคนิคที่ถูกเลือกใช้ในการประยุกต์ใช้งานด้านต่างๆ

5.1 ลักษณะของปัญหา

ถ้า $\{X(m)\}$ เป็นลำดับของข้อมูล $X(m), m = 0, 1, \dots, N-1$ ที่ได้จากการสุ่มในช่วงจำกัดของสัญญาณ $x(t)$ เรามีอัลกอริทึมที่ใช้คำนวณค่าสัมประสิทธิ์ $C_x(k)$ ดังสมการนี้

$$C_x(k) = 1/N \sum_{m=0}^{N-1} X(m) w^{km}, \quad k = 0, 1, \dots, N-1 \quad (5.1-1)$$

เมื่อ $w = e^{-i2\pi/N}, i = \sqrt{-1}$ เราเรียกสมการ(1) นี้ว่า DFT ของ $\{X(m)\}$ อัลกอริทึมซึ่งเราจะได้อีกกล่าวถึงต่อไปเรียกว่าการแปลงฟูรีเยอร์ (FFT) เป็นอัลกอริทึมที่พัฒนาขึ้นโดย Cooley และ Tukey บางทีอาจจะเรียกว่าอัลกอริทึมของ Cooley และ Tukey ก็ได้ ตั้งแต่นี้ไป เราจะตั้งข้อสมมุติว่า

$$N = 2^n, \quad n = 1, 2, \dots, n_{max}$$

จากที่เราได้เข้าใจกันแล้ว ถ้าไม่ต้องการให้ข้อมูลสูญหาย ต้องมีขนาด N ที่เหมาะสม ตามทฤษฎีการสุ่ม(Sampling theorem) นั่นคือ $N \geq 2BL$ เมื่อ B เป็นแบนด์วิดธ์ของ $x(t)$ ในหน่วย Hz และ L คือช่วงเวลาของมัน สำหรับในกรณี

เอกสารนี้เป็นเอกสารที่สงวนไว้สำหรับใช้ในการเรียนการสอนเท่านั้น ไม่อนุญาตให้นำไปใช้ประโยชน์ด้านการค้า
N ไม่เท่ากับ 2^n เราจะได้พูดถึงกันต่อไป
ไม่ว่ากรณีใดๆทั้งสิ้น อีกทั้งห้ามมิให้ตัดแปลงเนื้อหา และต้องอ้างอิงถึงเจ้าของเอกสารทุกครั้งที่มีการนำไปใช้

2. เข้าสู่การหาอัลกอริทึม

เราจะพิจารณาในกรณีนี้ที่ $\{X(m)\}$ เป็นค่าจำนวนจริง และ $N = 8$ จากคุณสมบัติคอนจูเกต (complex conjugate property) เรามี

$$C_x(4+l) = C_x(4-l), \quad l = 1, 2, 3$$

ดังนั้นเมื่อเทียบกับสมการที่ (5.1-1) ทำให้การคำนวณเหลือเพียง

$$C_x(k) = 1/8 \sum_{m=0}^7 X(m) W^{km}, \quad k = 0, 1, \dots, 4 \quad (5.2-1)$$

เมื่อ $W = e^{-i2\pi/4}$

จาก สมการ (1) จะได้ว่า

$$8C_x(k) = \sum_{m=0}^7 X(m) \cos(mk\pi/4) - i \sum_{m=0}^7 X(m) \sin(mk\pi/4) = A(k) - B(k)$$

เมื่อ

$$A(k) = \sum_{m=0}^7 X(m) \cos(mk\pi/4),$$

และ

$$B(k) = \sum_{m=0}^7 X(m) \sin(mk\pi/4), \quad k = 0, 1, \dots, 4 \quad (5.2-2)$$

เราสามารถเขียนสมการที่ (2) จะเป็น

$$A = CX$$

$$B = SX$$

เมื่อ A และ B มีมิติ (5×1) , X มีมิติ (8×1) และ C และ S มีมิติ (5×8)

ดังนี้

$$S = \begin{bmatrix} 0 & 0 & 0 & 0 & 0 & 0 & 0 & 0 \\ 0 & 1/\sqrt{2} & 1 & 1/\sqrt{2} & 0 & -1/\sqrt{2} & -1 & -1/\sqrt{2} \\ 0 & 1 & 0 & -1 & 0 & 1 & 0 & -1 \\ 0 & 1/\sqrt{2} & -1 & 1/\sqrt{2} & 0 & -1/\sqrt{2} & 1 & -1/\sqrt{2} \\ 0 & 0 & 0 & 0 & 0 & 0 & 0 & 0 \end{bmatrix}$$

$$C = \begin{bmatrix} 1 & 1 & 1 & 1 & \dots & 1 & 1 & 1 & 1 \\ 1 & 1/\sqrt{2} & 0 & -1/\sqrt{2} & -1 & -1/\sqrt{2} & 0 & 1/\sqrt{2} \\ 1 & 0 & -1 & 0 & 1 & 0 & -1 & 0 \\ 1 & -1/\sqrt{2} & 0 & 1/\sqrt{2} & -1 & 1/\sqrt{2} & 0 & -1/\sqrt{2} \\ 1 & -1 & 1 & -1 & 1 & -1 & 1 & -1 \end{bmatrix}$$

(5.2-3)

เมื่อพิจารณาคุณสมบัติ (3) จะเห็นว่า สมาชิกของเมทริกซ์ C และ S มีค่าซ้ำกัน ซึ่งเป็นเหตุผล 2 ประการที่พัฒนาอัลกอริทึมพาสต์ฟูเรียร์ ดังนี้

1. ความเป็นไซน์ (sinusoidal) จัดกลุ่มด้วยลักษณะเด่น ซึ่งจะเกิดขึ้นได้เมื่อเลือกจุดกลุ่มที่ได้อย่างถูกต้อง

2. ถ้า N เป็น เป็นจำนวนของจุดกลุ่มของ x(t) ที่มีรูปแบบไม่แน่นอนแล้ว การเกิดซ้ำกันของเมทริกซ์ C และ S จะเพิ่มขึ้นตามจำนวนตัวประกอบของ $N = 2^n = 2 \times 2 \times \dots \times 2$ ดังนั้น เมื่อจำนวนของข้อมูลมาก การใช้อัลกอริทึมพาสต์ฟูเรียร์จะช้าลงและหน่วยความจำอย่างมาก

5.3 แนวทางการพัฒนาอัลกอริทึม

แนวทางที่จะพัฒนาอัลกอริทึมที่ต้องการคือ การหาความสัมพันธ์กับการซ้ำกันในรูปแบบทั่วไปของเมทริกซ์ C และ S กับ กำลังของ P หรือหลักรากที่ N ของหนึ่ง (principle N-th root of unity) เพื่อหาสัญลักษณ์ของรูปแบบ

สัญลักษณ์ แสดงค่าในฐานสิบแต่ละตัวของ $m, 0 \leq m \leq N-1$ ให้อยู่ในรูปของเลขฐานสองหรือไบนารี (binary) ดังนี้

$$m = m_{n-1} 2^{n-1} + m_{n-2} 2^{n-2} + \dots + m_1 2^1 + m_0 2^0,$$

เมื่อ

$$m_v = 0 \text{ หรือ } 1, \quad v = 0, 1, \dots, n-1, \quad n = \log_2 N$$

ในทางตรงกันข้าม ค่าในฐานสิบแต่ละตัวของ k, $0 \leq m \leq N-1$

$$k = k_{n-1} 2^{n-1} + k_{n-2} 2^{n-2} + \dots + k_1 2^1 + k_0 2^0,$$

เมื่อ

$$k_v = 0 \text{ หรือ } 1, \quad v = 0, 1, \dots, n-1$$

ให้รูปแบบไบนารีของ $X(m)$ แทนด้วย $X(m)$ จะได้ว่า

$$\begin{aligned} X(m) &= X(m_{n-1} 2^{n-1} + m_{n-2} 2^{n-2} + \dots + m_1 2^1 + m_0 2^0) \\ &= X(m_{n-1}, m_{n-2}, \dots, m_1, m_0) \end{aligned} \quad (5.3-1)$$

เปลี่ยนรูปของสมการ (1) ตามความสัมพันธ์ที่ได้ ดังนี้

$$\begin{aligned} \sum_{m=0}^{N-1} X(m) W^{km} \\ = \sum_{m_0} \sum_{m_1} \dots \sum_{m_{n-1}} X(m_{n-1}, m_{n-2}, \dots, m_1, m_0) W^{k(m_{n-1} 2^{n-1} + \dots + m_0 2^0)} \end{aligned} \quad (5.3-2)$$

5.4 การพัฒนาอัลกอริทึม

ขั้นตอนการพัฒนา algorithm จะอธิบายในกรณี $N = 8 = 2^3$ ดังนั้นจะได้

$$C_X(k) = (1/8) \sum_{m=0}^7 X(m) W^{km}, \quad k=0, 1, \dots, 7 \quad (5.4-1)$$

เมื่อ $w = e^{-i\pi/4}$ เราแสดงค่าของ m ในรูปแบบไบนารี ดังนี้

$$m = m_2 2^2 + m_1 2^1 + m_0 2^0 \quad (5.4-2)$$

จากสมการ (5.3-2), สมการที่ (1) และ (2) จะได้ว่า

เอกสารนี้เป็นเอกสารที่ $8C_X(k) = \sum_{m_0} \sum_{m_1} \sum_{m_2} \tilde{X}(m_2, m_1, m_0) W^{k(4m_2 + 2m_1 + m_0)}$ ใช้ประโยชน์ด้านการค้า
ไม่ว่ากรณีใดๆทั้งสิ้น อีกทั้งห้ามมิให้คัดแปลงเนื้อหา และต้องอ้างอิงถึงเจ้าของเอกสารทุกครั้งที่มีการนำไปใช้

$$= \sum_{m_0, m_1, m_2} \tilde{X}(m_2, m_1, m_0) w^{4k_2} w^{2k_1} w^{k_0} \quad (5.4-3)$$

จากสมการ(3) ผลบวกในสุด ของ m_2 แทนด้วยสัญลักษณ์ M_2 จะได้ว่า

$$M_2 = \sum_{m_2} \tilde{X}(m_2, m_1, m_0) w^{4k_2}$$

แทนค่าของ k ในรูปของไบนารี และ $w^4 = -1$ เราจะได้ว่า

$$M_2 = \sum_{m_2} \tilde{X}(m_2, m_1, m_0) (-1)^{m_2} [4k_2 + 2k_1 + k_0]$$

เพราะว่า $(-1)^m [4k + 2k + k] = 1$ M_2 สามารถแสดงในรูปของ

$$M_2 = \sum_{m_2} \tilde{X}(m_2, m_1, m_0) (-1)^{k_0 m_2} \quad (5.4-4)$$

จากสมการ(4) ผลบวกบน m_2 แสดงค่าที่รวมได้ในรูปฟังก์ชันของ k_0, m_1, m_0

$$M_2 = \sum_{m_2} \tilde{X}(m_2, m_1, m_0) (-1)^{k_0 m_2} = \tilde{X}_1(k_0, m_1, m_0) \quad (5.4-5)$$

แทน สมการ(5) ลงใน สมการ(3)

$$8C_X(k) = \sum_{m_0, m_1} \tilde{X}_1(k_0, m_1, m_0) w^{2k_1} w^{k_0} \quad (5.4-6)$$

ทำซ้ำอีกครั้ง ในส่วนในสุดของสมการ(6) และแทนด้วยสัญลักษณ์ M_1

$$\begin{aligned} M_1 &= \sum_{m_1} \tilde{X}_1(k_0, m_1, m_0) w^{2k_1} \\ &= \sum_{m_1} \tilde{X}_1(k_0, m_1, m_0) (-i)^{(4k_2 + 2k_1 + k_0)m_1} \end{aligned} \quad (5.4-7)$$

ในสมการ(7) จำนวน $(-i)^{4k_2 m_1} = 1$ จะได้รูปแบบที่ง่ายขึ้น ดังนี้
เอกสารนี้เป็นเอกสารที่สงวนไว้สำหรับการใช้งานเพื่อการศึกษาเท่านั้น ไม่อนุญาตให้นำไปใช้ประโยชน์ด้านการค้า
ไม่ว่ากรณีใดๆทั้งสิ้น อีกทั้งห้ามมิให้ดัดแปลงเนื้อหา และต้องอ้างอิงถึงเจ้าของเอกสารทุกครั้งที่มีการนำไปใช้

$$M_1 = \sum_{m_1} \tilde{X}_1(k_0, m_1, m_0) (-i)^{(2k_1+k_0)m_1} \quad (5.4-8)$$

ผลบวก บน m_1 จะได้ผลลัพธ์ M_1 ที่เป็นฟังก์ชันของ k_0, k_1, m_0

$$M_1 = \tilde{X}_2(k_0, k_1, m_0) \quad (5.4-9)$$

แทน สมการ (9) ลงใน สมการ (6) จะได้

$$8C_X(k) = \sum_{m_0} x_2(k_0, k_1, m_0) w^{m_0 k}$$

เหมือนกับ M_2 และ M_1 เราแทนสัญลักษณ์ผลบวกบน m_0 ด้วย M_0

$$M_0 = \sum_{m_0} \tilde{X}_2(k_0, k_1, m_0) w^{m_0 k},$$

ซึ่งจะได้

$$M_0 = \sum_{m_0} \tilde{X}_2(k_0, k_1, m_0) [(1-i)/\sqrt{2}]^{(4k_2+2k_1+k_0)m_0} \quad (5.4-10)$$

การทำผลบวกบน m_0 จะได้ M_0 ที่เป็นฟังก์ชันของ k_0, k_1, k_2 ดังนี้

$$M_0 = \tilde{X}_3(k_0, k_1, k_2) \quad (5.4-11)$$

$$8C_X(k) = 8\tilde{C}_X(k_2, k_1, k_0) = \tilde{X}_3(k_0, k_1, k_2) \quad (5.4-12)$$

ขั้นแรกในการหาคำตอบพิจารณา

1. $N = 8$ ทำให้ผล $\log_2 N = 3$

2. coefficient $(-1), (-i), [(1-i)/\sqrt{2}]$ มีความสัมพันธ์

กับรากที่ 2, 4, 8 ตามลำดับ ของ unity $e^{-i2\pi}$

ดังนั้นจึงกำหนดสัญลักษณ์ใหม่ ว่า

เอกสารนี้เป็นเอกสารที่สงวนไว้สำหรับการใช้งานเพื่อการศึกษาเท่านั้น ไม่อนุญาตให้นำไปใช้ประโยชน์ด้านการค้า

ไม่ว่ากรณีใดๆ อีกทั้งห้ามมิให้ดัดแปลงเนื้อหาสาระใดๆ ของเอกสาร (5.4-13)

$$A_2^r = e^{-i2\pi/2^r}, \quad r = 1, 2, \dots, \log_2 N$$

เมื่อ A_2 เป็นรากที่ 2^r ของ unity โดยมีคุณสมบัติดังนี้

$$1. A_2 = w^{N/2}, \quad w = e^{-i2\pi/n} \quad (5.4-14a)$$

$$2. (A_2)^{+1} = -(A_2)^1$$

$$; r = 1, 2, \dots, \log_2 N, l = 0, 1, \dots, 2^{r-1} \quad (5.4-14b)$$

$$\text{เมื่อ } = 2^{r-1}$$

$$3. (A_N)^{N/2} = -1 \quad (5.4-14c)$$

จากสมการข้างต้นสามารถเขียนในเทอม A_2 จะได้

$$X_1(k_0, m_1, m_2) = \sum_{m_2} \tilde{X}(m_2, m_1, m_0) A_2^{k_0 \cdot m_2} \quad (5.4-15)$$

ในสมการ (15) k_0 มีค่า 0 หรือ 1 ทำให้ได้สมการ 4 สมการ ในแต่ละค่า k_0

$$\text{กรณี 1 : } k_0 = 0 \quad (5.4-16a)$$

$$X_1(0, 0, 0) = X(0, 0, 0) + X(1, 0, 0) \implies X_1(0) = X(0) + X(4)$$

$$X_1(0, 0, 1) = X(0, 0, 1) + X(1, 0, 1) \implies X_1(1) = X(1) + X(5)$$

$$X_1(0, 1, 0) = X(0, 1, 0) + X(1, 1, 0) \implies X_1(2) = X(2) + X(6)$$

$$X_1(0, 1, 1) = X(0, 1, 1) + X(1, 1, 1) \implies X_1(3) = X(3) + X(7)$$

$$\text{กรณี 2 : } k_0 = 1 \quad (5.4-16b)$$

$$X_1(1, 0, 0) = X(0, 0, 0) + X(1, 0, 0) \implies X_1(4) = X(0) - X(4)$$

$$X_1(1, 0, 1) = X(0, 0, 1) + X(1, 0, 1) \implies X_1(5) = X(1) - X(5)$$

$$X_1(1, 1, 0) = X(0, 1, 0) + X(1, 1, 0) \implies X_1(6) = X(2) - X(6)$$

$$X_1(1, 1, 1) = X(0, 1, 1) + X(1, 1, 2) \implies X_1(7) = X(3) + X(7)$$

เอกสารนี้เป็นเอกสารที่สงวนไว้สำหรับการใช้งานเพื่อการศึกษาเท่านั้น ไม่นับผูกมัดให้นำไปใช้ประโยชน์ด้านการค้า

ไม่ว่ากรณีใดๆทั้งสิ้น อีกทั้งห้ามมิให้ตัดแปลงเนื้อหา และต้องอ้างอิงถึงเจ้าของเอกสารทุกครั้งที่มีการนำไปใช้

จากสมการ (9) ในเทอม A_4

$$\tilde{X}_2(k_0, k_1, m_0) = \tilde{X}_1(k_0, 0, m_0) + \tilde{X}_1(k_0, 1, m_0) A_4 (2k + k)$$

กรณี 1 : $(k_1, k_0) = (0, 0)$ (5.4-17a)

$$\tilde{X}_2(0, 0, 0) = \tilde{X}_1(0, 0, 0) + \tilde{X}_1(0, 1, 0) \implies X_2(0) = X_1(0) + X_1(2)$$

$$\tilde{X}_2(0, 0, 1) = X_1(0, 0, 1) + X_1(0, 1, 1) \implies X_2(1) = X_1(1) + X_1(3)$$

กรณี 2 : $(k_1, k_0) = (0, 1)$ (5.4-17b)

$$X_2(1, 0, 0) = X_1(1, 0, 0) + A_4 X_1(1, 1, 0) \implies X_2(4) = X_1(4) + A_4 X_1(6)$$

$$X_2(1, 0, 1) = X_1(1, 0, 1) + A_4 X_1(1, 1, 1) \implies X_2(1) = X_1(5) + A_4 X_1(7)$$

กรณี 3 : $(k_1, k_0) = (1, 0)$ (5.4-17c)

$$X_2(0, 1, 0) = X_1(0, 0, 0) + A_4 X_1(0, 1, 0) \implies X_2(2) = X_1(0) - X_1(2)$$

$$X_2(0, 1, 1) = X_1(0, 0, 1) + A_4 X_1(0, 1, 1) \implies X_2(3) = X_1(1) - X_1(3)$$

กรณี 4 : $(k_1, k_0) = (1, 1)$ (5.4-17d)

$$X_2(1, 1, 0) = X_1(1, 0, 0) + A_4 X_1(1, 1, 0) \implies X_2(6) = X_1(4) - A_4 X_1(6)$$

$$X_2(1, 1, 1) = X_1(1, 0, 1) + A_4 X_1(1, 1, 1) \implies X_2(7) = X_1(5) - A_4 X_1(7)$$

สมการ (11) เขียนในเทอม A_8 จะได้

$$X_2(k_0, k_1, k_2) = X_2(k_0, k_1, 0) + X_2(k_0, k_1, 1) A_8 (4k + 2k + k) \quad (5.4-18)$$

เอกสารนี้เป็นเอกสารลิขสิทธิ์ของวิทยาลัยเทคโนโลยีพระยาภิรมย์ภักดี ให้ใช้เพื่อการศึกษาเท่านั้น ไม่สามารถนำออกจำหน่าย

ไม่ว่ากรณีใดๆทั้งสิ้น อีกทั้งห้ามมิให้ตัดแปลงเนื้อหา และต้องอ้างอิงถึงเจ้าของเอกสารทุกครั้งที่มีการนำไปใช้

กรณี 1 : $(k_2, k_1, k_0) = (0, 0, 0)$ (5.4-19a)

$$X_3(0, 0, 0) = X_2(0, 0, 0) + X_2(0, 0, 1) \implies X_3(0) = X_2(0) + X_2(1)$$

กรณี 2 : $(k_2, k_1, k_0) = (0, 0, 1)$ (5.4-19b)

$$X_3(1, 0, 0) = X_2(1, 0, 0) + A_8 X_2(1, 0, 1) \implies X_3(4) = X_2(4) + A_8 X_2(5)$$

กรณี 3 : $(k_2, k_1, k_0) = (0, 1, 0)$ (5.4-19c)

$$X_3(0, 1, 0) = X_2(0, 1, 0) + A_8 X_2(0, 1, 1) \implies X_3(2) = X_2(2) + A_8 X_2(3)$$

กรณี 4 : $(k_2, k_1, k_0) = (0, 1, 1)$ (5.4-19d)

$$X_3(1, 1, 0) = X_2(1, 1, 0) + A_8 X_2(1, 1, 1) \implies X_3(6) = X_2(6) + A_8 X_2(7)$$

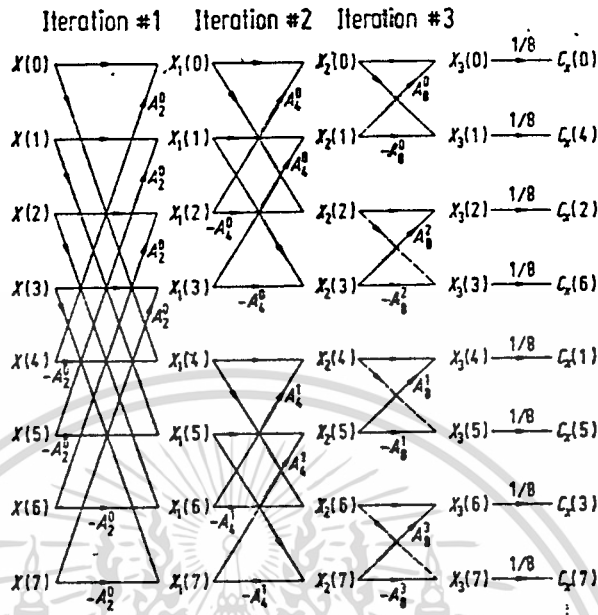
กรณี 5 : $(k_2, k_1, k_0) = (1, 0, 0)$ (5.4-19e)

$$X_3(0, 0, 1) = X_2(0, 0, 0) + A_8 X_2(0, 0, 1) \implies X_3(1) = X_2(0) - X_2(1)$$

ลำดับการกระทำทางคณิตศาสตร์ตั้งแต่สมการ (19a) ถึง สมการ (19e) ได้แสดงไว้ในรูปที่ 5.1 และการทำซ้ำ (iteration) ครั้งที่ 3 ก็คือ $r = 3$ ในสมการที่ (13)

เพื่อให้ได้ค่า $C_x(k)$ ตามที่ต้องการ ใช้สมการ

$$8C_x(k_2, k_1, k_0) = X_3(k_0, k_1, k_2) \tag{5.4-20}$$



รูปที่ 5.1 แสดงแผนภาพการไหล (signal flow-graph) ของสัญญาณ FFT เมื่อ $N = 8$

จะเห็นว่ามีการสลับตำแหน่งของสัมประสิทธิ์ไบนารี k_0, k_1 และ k_2 ใน $X_3(k)$ เมื่อเทียบกับตำแหน่งจริง $C_X(k)$ เราเรียกลักษณะเช่นนี้ว่า *ปรากฏการณ์การกลับบิต (bit reversal)* $X_3(k)$ มีความสัมพันธ์กับ $C_X(k)$ ตามสมการข้างล่างนี้

$$\begin{aligned}
 X_3(0) &= 8C_X(0) \\
 X_3(4) &= 8C_X(1) \\
 X_3(2) &= 8C_X(2) \\
 X_3(6) &= 8C_X(3) \\
 X_3(1) &= 8C_X(4)
 \end{aligned}
 \tag{5.4-21}$$

ผลลัพธ์ของสัมประสิทธิ์ $C_X(k)$, $k = 5, 6, 7$ เราหาได้จาก

เอกสารนี้เป็นเอกสารที่สงวนไว้สำหรับ $C_X(4+1) = C_X(4-1)$, นั้นหมายความว่า 1, 2, 3 ใช้ประโยชน์ด้านการค้าไม่ว่ากรณีจะได้อีกทั้งห้ามมิให้ดัดแปลงเนื้อหา และต้องอ้างอิงถึงเจ้าของเอกสารทุกครั้งที่มีการนำไปใช้

$$C_x(5) = C_x(3)$$

$$C_x(6) = C_x(2)$$

$$C_x(7) = C_x(1)$$

$C_x(5), C_x(6), C_x(7)$ สามารถหาได้จากสมการ (12) และ (18)

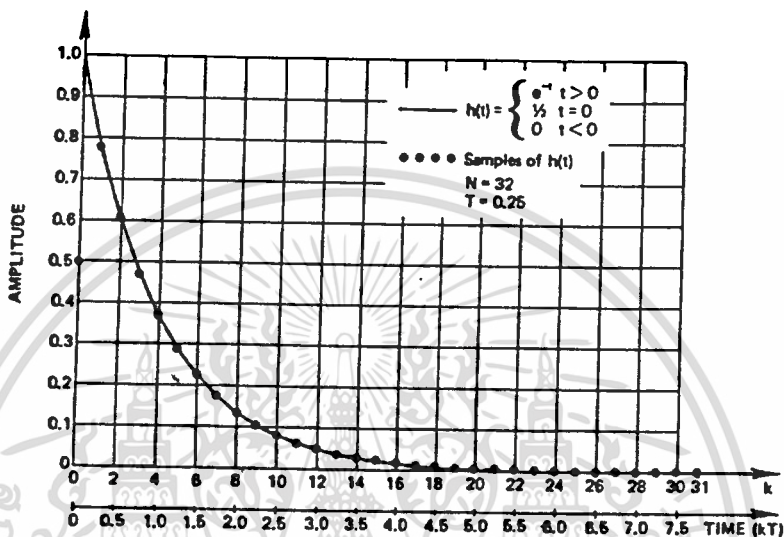
$$8C_x(5) = X_3(5) = X_2(4) - A_8X_2(5)$$

$$8C_x(6) = X_3(3) = X_2(2) - A_8X_2(3) \quad (5.4-22)$$

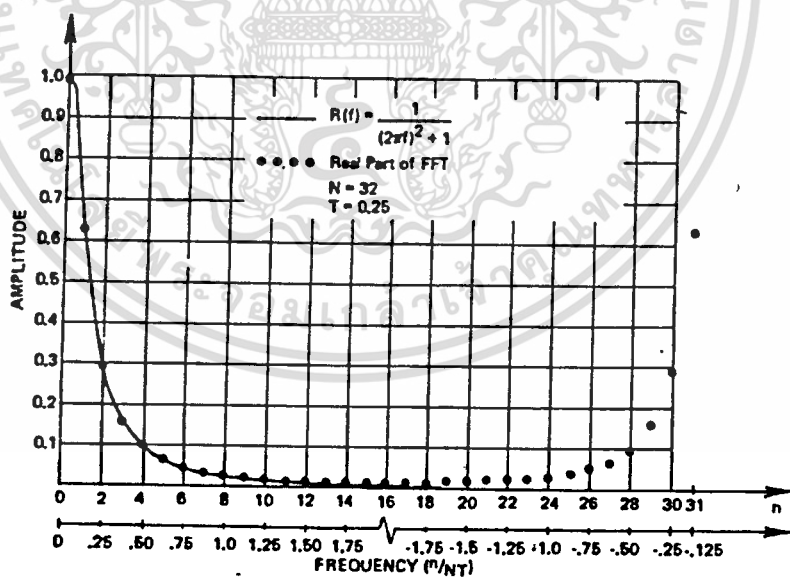
$$8C_x(7) = X_3(7) = X_2(6) - A_8X_2(7)$$

จากขั้นตอนข้างต้นเป็นขั้นตอนและแนวทางในการเขียน โปรแกรม FFT





(a)



(b)

เอกสารนี้เป็นเอกสารที่สงวนไว้สำหรับการใช้งานเพื่อการศึกษาเท่านั้น ไม่อนุญาตให้นำไปใช้ประโยชน์ด้านการค้า
รูปที่ 5.2 แสดงตัวอย่างการแปลงฟูเรียร์ โดยผ่าน FFT
 ไม่ว่ากรณีใดๆทั้งสิ้น อีกทั้งห้ามมีเหตุดแปลงเนื้อหา และต้องอ้างอิงถึงเจ้าของเอกสารทุกครั้งที่มีการนำไปใช้

5.5 การประยุกต์ใช้งาน FFT

5.5.1 ความละเอียด(resolution)ของ FFT

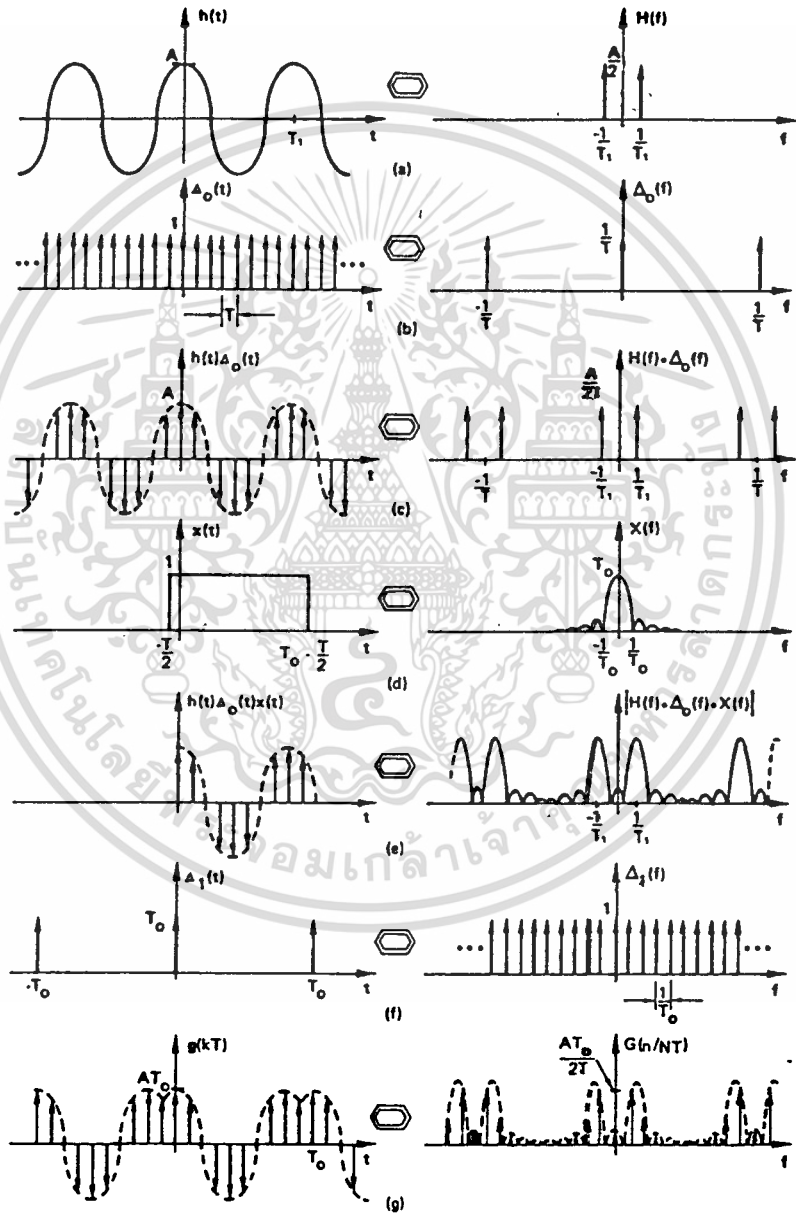
ผลลัพธ์ของ FFT ในรูปที่ 5.2(b) และ (c) แต่ละความถี่มีระยะห่าง $f_0 = 1/NT$ ดังนั้นจุดศูนย์กลางความถี่จึงมีค่าตั้ง $0/NT, 1/NT, 2/NT, \dots, (N/2)/NT$ สำหรับด้านความถี่บวก ระยะห่างของความถี่ $f_0 = 1/NT$ เป็นเทอมที่แสดงถึงความละเอียดของ FFT แต่ละสมาชิกของความถี่ที่ได้เรียกว่า สมาชิกความละเอียด (resolution element) หรือเซลล์ความละเอียด (resolution cell) เราอาจจะคิดว่า ความละเอียดเป็นเทอมที่ทำให้เราสามารถแยกความแตกต่างของแต่ละความถี่ โดยประมาณค่าความถี่ที่ได้จากการแปลงเป็นความถี่ตั้งแต่ $0/NT, 1/NT, 2/NT, \dots, (N/2)/NT$ ซึ่งเราอาจจะลดระยะห่างระหว่างแต่ละความถี่ได้ โดยการเพิ่มจำนวนข้อมูล N ซึ่งก็คือการเพิ่มระยะการตัดทอน (truncation) ของฟังก์ชันที่ต้องการแปลง ถ้าค่าของ N เพิ่มขึ้นเป็นสองเท่า ระยะห่างของความถี่ก็ลดลงสองเท่าเช่นกัน

จากรูปที่ 5.3 ระยะห่างของความถี่ (ความละเอียด) ของการแปลงดิสครีตฟูเรียร์ (discrete fourier transform) ถูกกำหนดจากความกว้างของสี่เหลี่ยมที่ไปคูณหรือตัดทอนฟังก์ชันก่อนทำการแปลง การตัดทอนในโดเมนเวลาก็คือการทำคอนโวลูชันของฟังก์ชัน $[\sin(f)/f]$ กับผลการแปลงฟูเรียร์ของฟังก์ชันเริ่มต้น การทำคอนโวลูชันกับฟังก์ชัน $[\sin(f)/f]$ ทำให้ผลจากการแปลงคลุ่มเคลื่อนและเลื่อนกลาง ถ้าฟังก์ชันที่ตัดทอนในโดเมนเวลา มีความกว้างมากขึ้น จะทำให้ผลของฟังก์ชัน $[\sin(f)/f]$ แคบลง และความคลุ่มเคลื่อนของความถี่ลดน้อยลงด้วย ความคลุ่มเคลื่อนของความถี่ยิ่งน้อยเท่าใด ก็ยิ่งทำให้ประสิทธิภาพของการใช้ FFT ในการแก้ปัญหาในแต่ละงาน เป็นไปได้มากยิ่งขึ้น

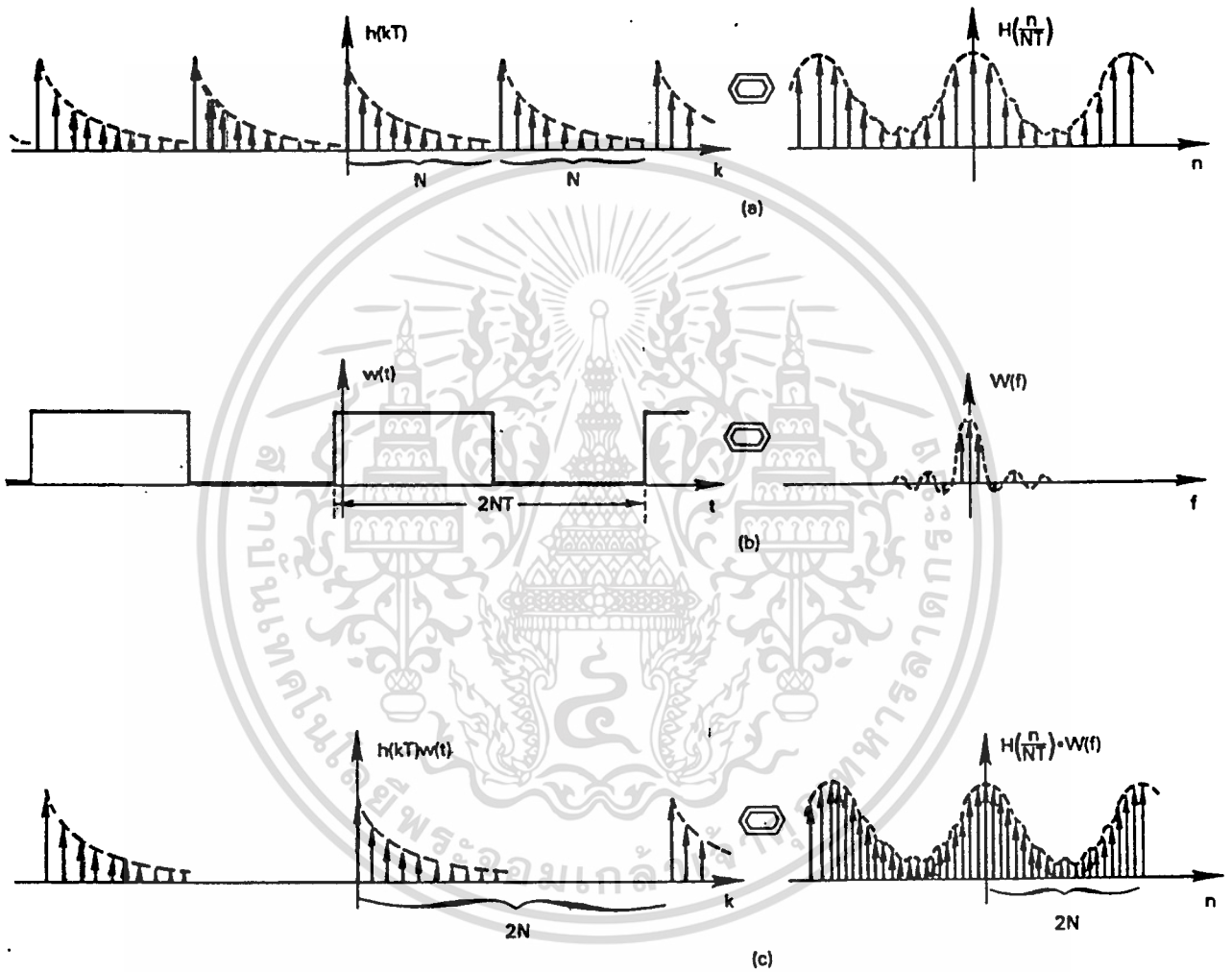
ความเข้าใจผิด โดยทั่วไปของผู้ใช้ FFT คือ การเพิ่มจำนวนข้อมูล N โดยการต่อเติมศูนย์และตัดทอนฟังก์ชัน และตีความหมายของฟังก์ชันความถี่ที่ได้เป็นฟังก์ชันความถี่ที่มีความละเอียดสูง

ตอนนี้เรามาเปรียบเทียบรูปที่ 6.2 กับรูปที่ 5.4
เอกสารนี้เป็นเอกสารที่สงวนไว้สำหรับการใช้งานเพื่อการศึกษาเท่านั้น ไม่อนุญาตให้นำไปใช้ประโยชน์ด้านการค้า
ในรูปที่ 5.4 (a) แสดงผลจากการแปลงดิสครีตฟูเรียร์ เช่นเดียวกับรูปที่ 6.2 (ข)
ไม่ว่ากรณีใดๆทั้งสิ้น อีกทั้งห้ามมีเหตุดัดแปลงเนื้อหา และต้องอ้างอิงถึงเจ้าของเอกสารทุกครั้งที่มีการนำไปใช้

เราต้องการตรวจสอบผลของการเพิ่มศูนย์ให้กับฟังก์ชันเวลาของรูปที่ 5.4 (a) สมมติว่าจำนวนของศูนย์ที่เพิ่มเข้าไปนั้น



เอกสารนี้เป็นเอกสารที่สงวนไว้สำหรับการใช้งานเพื่อการศึกษาเท่านั้น ไม่อนุญาตให้拿去ใช้ประโยชน์ด้านการค้า รูปที่ 5.3 แสดง DFT ของสัญญาณคาบเวลา โดยมีช่วงการตัดทอนน้อยกว่า 1 คาบเวลา ไม่ปรากฏใดๆทั้งสิ้น อีกทั้งห้ามมีเหตุดแปลงเนื้อหา และต้องอ้างอิงถึงเจ้าของเอกสารทุกครั้งที่มีการนำไปใช้



เอกสารนี้เป็นเอกสารที่สงวนไว้สำหรับการใช้งานเพื่อการศึกษาเท่านั้น ไม่อนุญาตให้นำไปใช้ประโยชน์ด้านการค้า
ไม่ว่าในรูปแบบที่ 5.4 แสดงตัวอย่างของการเพิ่มความละเอียดของ FFT โดยการต่อเติมศูนย์

เท่ากับ N ซึ่งหาได้โดยการด้วยฟังก์ชันคาบเวลาในโดเมนเวลาในรูปที่ 5.4(b) ผลของความถี่ที่ได้ แสดงในรูปถัดมา การคูณทำให้ฟังก์ชันมีคาบเวลาเท่ากับ $2N$ โดยที่จุดที่นำมาใช้ศูนย์เท่ากับจุดสุ่ม N จำนวนในรูปที่ 5.4(a) ผลของฟังก์ชันความถี่ที่ได้ก็คือการหาคอนโวลูชันของฟังก์ชันความถี่ของรูปที่ 5.4(a) และรูปที่ 5.4(b) แต่ความละเอียดของความถี่ได้ถูกกำหนดไว้ในรูปที่ 5.4(a) เรียบร้อยแล้ว การหาคอนโวลูชันเป็นการเพิ่มจำนวนจุดสุ่มในโดเมนความถี่โดยการเฉลี่ยค่า (interpolation) ด้วยฟังก์ชัน $[\sin(f)/f]$ กับผลการแปลงฟูเรียร์ของฟังก์ชันเริ่มต้น ดังนั้น ถึงแม้ว่าระยะห่างของผลลัพธ์จาก FFT จะมีระยะใกล้ขึ้น โดยการต่อเติมศูนย์ ก็ตาม แต่ความละเอียดก็ไม่ได้เปลี่ยนแปลง ความละเอียดของ FFT ไม่สามารถทำให้ความละเอียดของข้อมูลเพิ่มขึ้น โดยการต่อเติมศูนย์ นอกเสียจากว่า ฟังก์ชันที่จะทำการต่อเติมศูนย์มีค่าศูนย์ครอบคลุมช่วงนั้นอยู่แล้ว จากหัวข้อนี้ เราอาจจะสรุปได้ว่า ความละเอียดนั้นต้องพิจารณาจากช่วงเวลาในโดเมนเวลาของสัญญาณ และในการประยุกต์ใช้ FFT ช่วงเวลาของสัญญาณถูกตั้งใหม่ เป็นช่วงระยะห่างของการตัดตอนข้อมูล

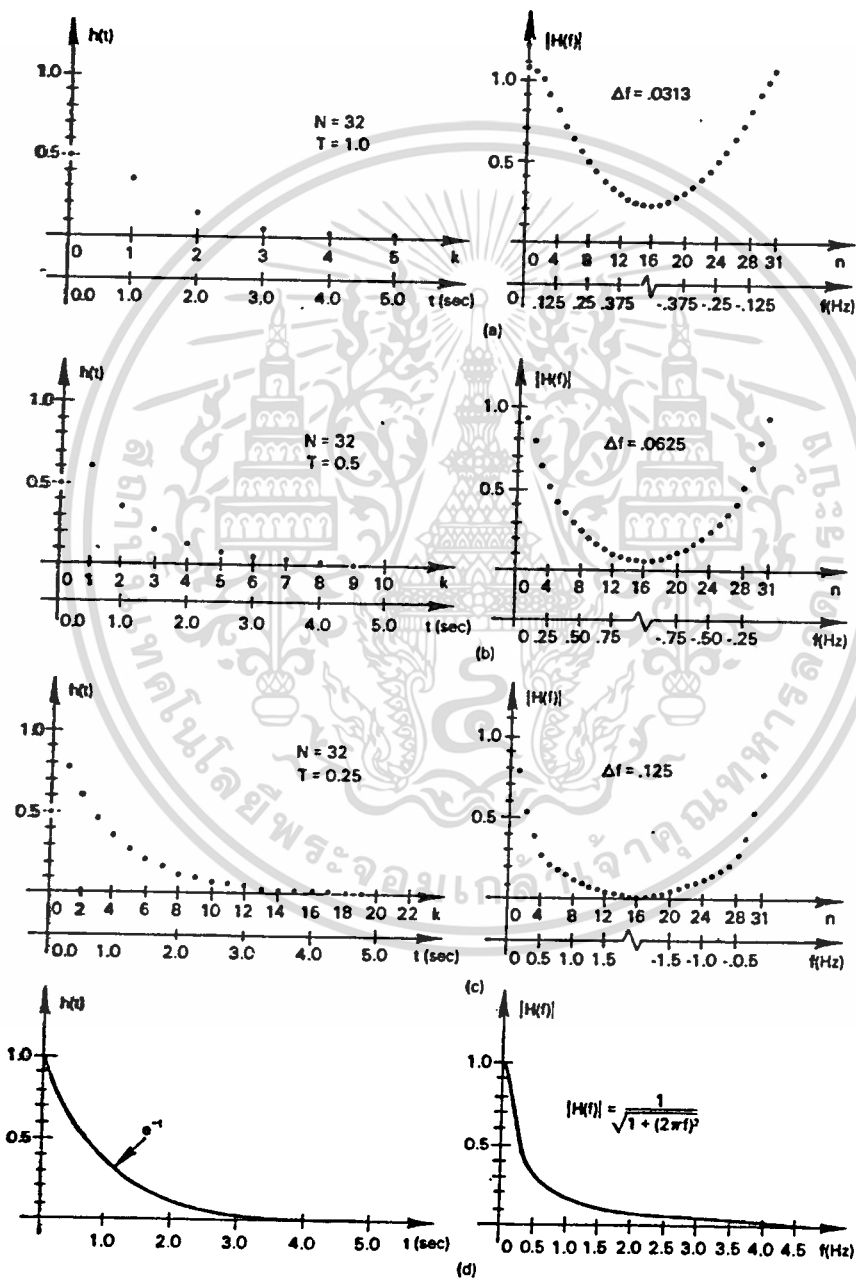
5.5.2 ผลความผิดเพี้ยนจาก FFT (FFT aliasing)

ปัญหาหนึ่งที่เราพบในการคำนวณการแปลงฟูเรียร์จาก FFT คือความผิดเพี้ยน (aliasing) จากที่เคยกล่าวมาแล้ว ในการสุ่มข้อมูล ^①ความผิดเพี้ยนจะเกิดขึ้นเมื่อ จุดสุ่มของฟังก์ชันเวลามีระยะห่างของการเก็บเอาค่าเกินไป ผลของฟังก์ชันความถี่ที่ผิดเพี้ยนนี้เรียกว่า การพับ (fold) หรือการซ้อน (overlap) ในตัวมันเอง ซึ่งได้แสดงตัวอย่างไว้ในรูปที่ 5.5

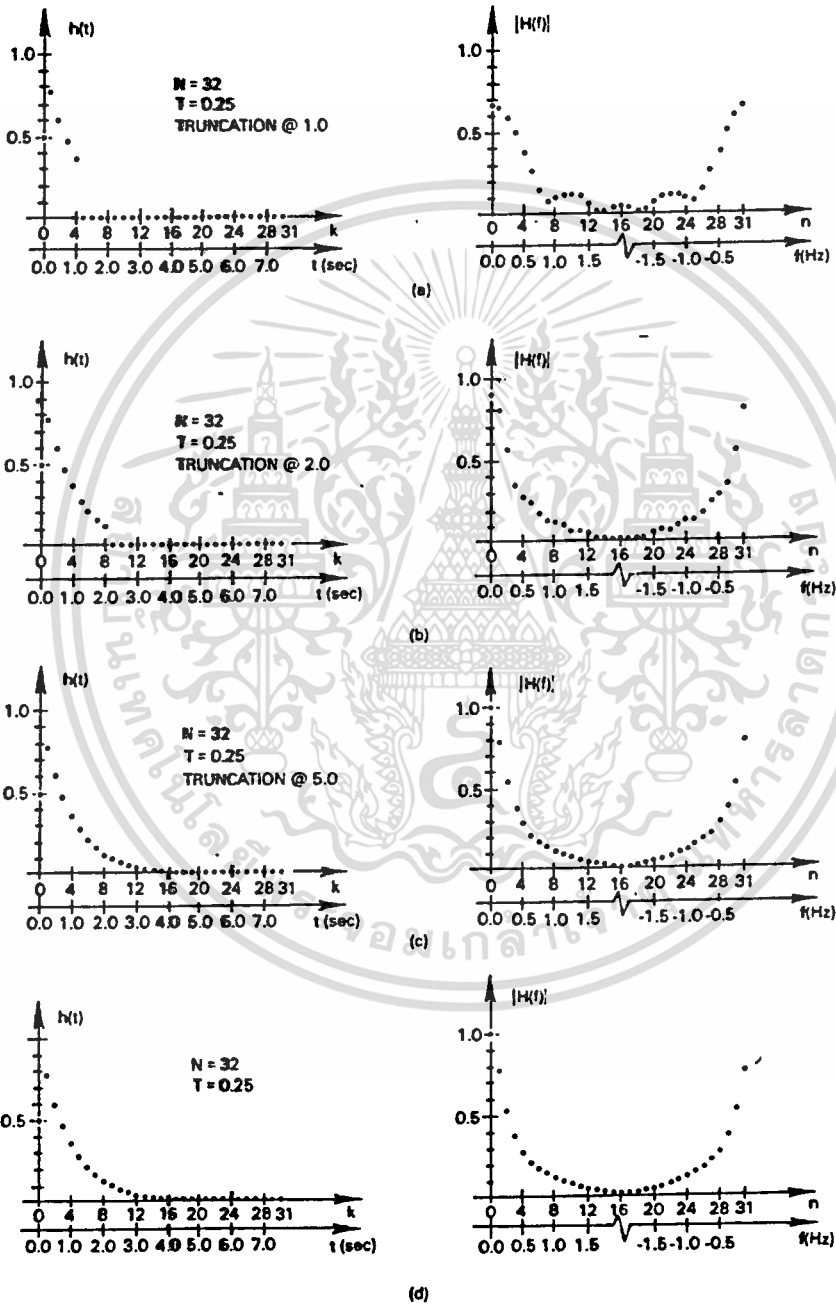
ในรูปที่ 5.5 เรามีจุดสุ่มของฟังก์ชัน $h(t) = e^{-t}, t > 0$ โดยช่วงเวลาการสุ่ม $T = 1.0, 0.5$ และ 0.25 ตามลำดับ จำนวนข้อมูลตั้งไว้เท่ากับ 32 สำหรับแต่ละกรณี ขนาดของการแปลงฟูเรียร์ที่ได้ คำนวณโดยใช้ FFT ซึ่งได้แสดงรวมไว้ในรูปที่ 5.5(a) ถึง 5.5(c) แล้ว จากผลที่ได้จาก FFT จะเห็นว่า เมื่อ $T = 1.0$ ผลที่ได้มีความผิดเพี้ยนมากที่สุด (ขนาดของการแปลงฟูเรียร์แบบต่อเนื่องได้ ^②แสดงไว้ในรูปที่ 5.5(d)) จะเห็นว่าความผิดเพี้ยนมีค่าลดลง เมื่อมีคาบเวลาเท่า

① การสุ่มสัญญาณต่อเนื่องให้ค่าเป็นจุดสุ่ม (discrete samples) ซึ่งการนำค่าไปใช้
 ② การแปลงฟูเรียร์แบบต่อเนื่อง (continuous Fourier transform)

กับ 0.5 และ เมื่อคาบเวลาเท่ากับ 0.25 ผลที่ได้จะมีความคล้ายคลึงกับผลที่ได้จากการคำนวณแบบต่อเนื่องมากที่สุด



เอกสารนี้เป็นทรัพย์สินของมหาวิทยาลัยเทคโนโลยีพระจอมเกล้าธนบุรี ไม่ควรแจกจ่ายให้ผู้อื่นโดยไม่ได้รับอนุญาตจากฝ่ายวิชาการ
 ไม่ว่ากรณีใดๆทั้งสิ้น อีกทั้งห้ามมิให้ตัดแปลงเนื้อหา และต้องอ้างอิงถึงเจ้าของเอกสารทุกครั้งที่มีการนำไปใช้



เอกสารนี้เป็นเอกสารที่สงวนไว้สำหรับการใช้งานเพื่อการศึกษาเท่านั้น ไม่อนุญาตให้นำไปใช้ประโยชน์ด้านการค้า
รูปที่ 5.6 แสดงการตัดทอนในโดเมนเวลา
ไม่ว่ากรณีใดๆทั้งสิ้น อีกทั้งห้ามมิให้ดัดแปลงเนื้อหา และต้องอ้างอิงถึงเจ้าของเอกสารทุกครั้งที่มีการนำไปใช้

ในรูปที่ 5.5 ได้แสดงหลักการลดความผิดเพี้ยน โดยการลดช่วงการสุ่ม ในกรณีนี้จะเห็นว่าไม่มีผลของการตัดทอน เนื่องจาก T มีค่าต่ำ จึงทำให้ NT มีค่ามากกว่า ความกว้างของช่วงไม่เป็นศูนย์ (nonzero interval) ของฟังก์ชันมาก

5.5.3 การตัดทอนของ FFT ในโดเมนเวลา (FFT Time-Domain Truncation)

ปัญหาความผิดพลาดอื่นที่มักพบจากการประยุกต์ใช้ FFT ในการแปลงฟูเรียร์ คือความผิดพลาดเนื่องจากการตัดทอนข้อมูลในโดเมนเวลา (time-domain truncation) ความผิดพลาดนี้เกิดขึ้นจากการเลือกกลุ่มข้อมูลจุดสุ่มเพื่อหาลักษณะของฟังก์ชันเวลาไปตัดทอนลักษณะบางส่วนของรูปคลื่นเริ่มต้น รูปที่ 5.6(a) และรูปที่ 5.6(b) แสดงตัวอย่างของจุดนี้ เมื่อเราตัดทอนฟังก์ชัน $h(t)$ ที่ $NT = 1, 2, 5$ s. ตามลำดับ ขนาดของการแปลงฟูเรียร์ที่ผ่าน FFT ได้แสดงในรูป

การตัดทอนที่ 1 วินาที ทำให้ผลที่ได้จาก FFT มีการกระเพื่อม (rippling) เมื่อใช้ช่วงเวลาของการตัดทอนนานขึ้น เท่ากับ 2 วินาที ผลของ FFT ที่ได้มีการกระเพื่อมน้อยลง และเมื่อเพิ่มช่วงเวลาการตัดทอนให้เป็น 5 วินาที ผลของ FFT ที่ได้ไม่ปรากฏผลของการเกิดการกระเพื่อม เหมือนกับรูปที่ถูกต้องในรูปที่ 5.6(c)

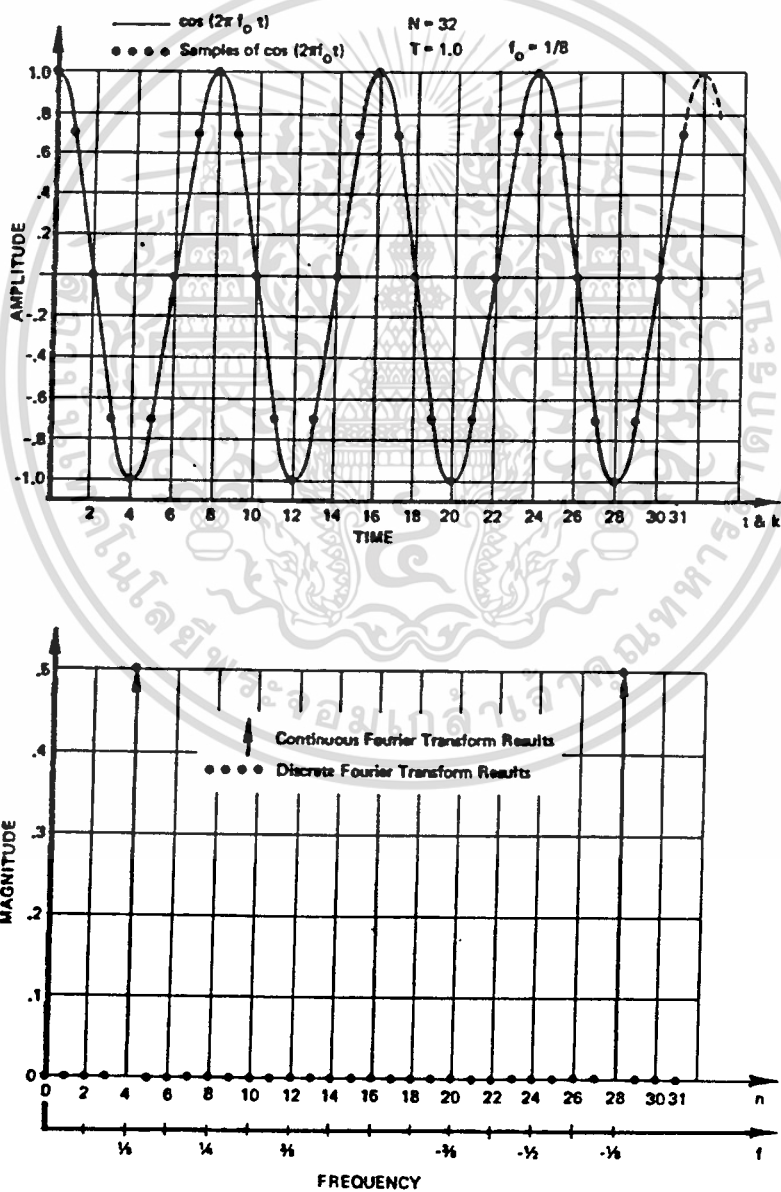
รูปที่ 5.6 แสดงผลของการทดลอง โดยการพิจารณาหาช่วงเวลาการตัดทอนที่ดีที่สุด โดยการเพิ่มช่วงเวลาการตัดทอน ซึ่งเราก็ได้เห็นผลของการลดลงของการกระเพื่อม

5.5.4 FFT ของฟังก์ชันคาบเวลา

การคำนวณหา FFT ของฟังก์ชันคาบเวลา เราจะต้องเลือกช่วงการสุ่มและช่วงการตัดทอน จากที่กล่าวมาแล้ว การเลือก T ต้องเลือกให้เหมาะสมเพื่อไม่ให้เกิดความผิดเพี้ยน การตัดทอนของฟังก์ชันเวลาคาบเวลาเป็นปัญหาใหม่ที่ไม่ได้อธิบายไว้ในส่วนนี้ เป็นเอกสารที่สงวนไว้สำหรับการใช้งานเพื่อการศึกษาเท่านั้น ไม่อนุญาตให้นำไปใช้ประโยชน์ด้านการค้าโดยไม่ขออนุญาตใดๆทั้งสิ้น อีกทั้งห้ามมิให้ตัดแปลงเนื้อหา และต้องอ้างอิงถึงเจ้าของเอกสารทุกครั้งที่มีการนำไปใช้

ถ้าเราเลือกจำนวนจุดสุ่ม N ของการแปลงฟูเรียร์ เท่ากับ หนึ่งคาบ เวลาพอดีหรือเท่ากับจำนวนเท่าของคาบเวลา ผลของความถี่ที่ได้จะตรงกับสัญญาณ เริ่มต้น

เพื่ออธิบายจุดนี้ เราทำการคำนวณ FFT ของฟังก์ชันโคไซน์ในรูปที่ 5.7(a) โดยมีช่วงการสุ่ม $T = 1.0$ S และจำนวนจุดสุ่มเท่ากับ 32 และแสดงผลลัพธ์ที่ 7 ด้านรูปที่ 5.7(b) โดยแสดงเป็นขนาดที่ได้จาก FFT ของจุดเหล่านี้ จากรูปจะเห็นว่า จุดอื่นเป็นศูนย์หมด นอกจากจุดที่เป็นความถี่จริง



รูปที่ 5.7 แสดงผลจาก FFT ของฟังก์ชันคาบเวลา

เอกสารนี้เป็นเอกสารที่สงวนไว้สำหรับการใช้งานเพื่อการศึกษาเท่านั้น ไม่อนุญาตให้นำไปใช้ประโยชน์ด้านการค้า
โดยไม่ขออนุญาตจากเจ้าของลิขสิทธิ์ หากพบการละเมิดลิขสิทธิ์ กรุณาแจ้งไปยังฝ่ายกฎหมายของเอกสารทุกครั้งที่มีการนำไปใช้

5.6 ฟังก์ชันถ่วงน้ำหนักข้อมูล (data weighting function)

จากหัวข้อที่แล้ว การตัดทอน (truncation) อาจจะทำให้ผลจากการแปลงฟูเรียร์คลาดเคลื่อน การประมวลผลข้อมูลจำนวนจำกัด N ของฟังก์ชันเวลาที่ไม่รู้คาบเวลาแน่นอน จำเป็นต้องใช้วินโดว์ของข้อมูลหรือที่เรียกว่าฟังก์ชันถ่วงน้ำหนักข้อมูล ในหัวข้อนี้ เราจะได้อธิบายเทคนิคการใช้ฟังก์ชันถ่วงน้ำหนักเพื่อลดผลเสียที่เกิดจากการตัดทอนที่เหลือน้อยที่สุด

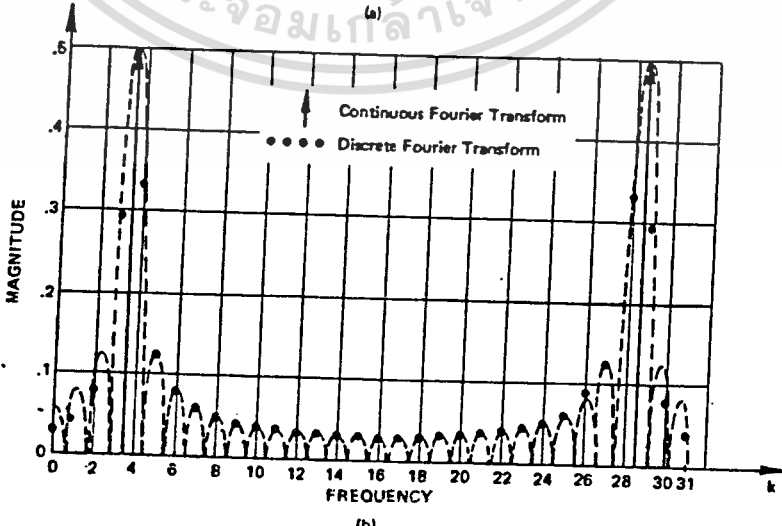
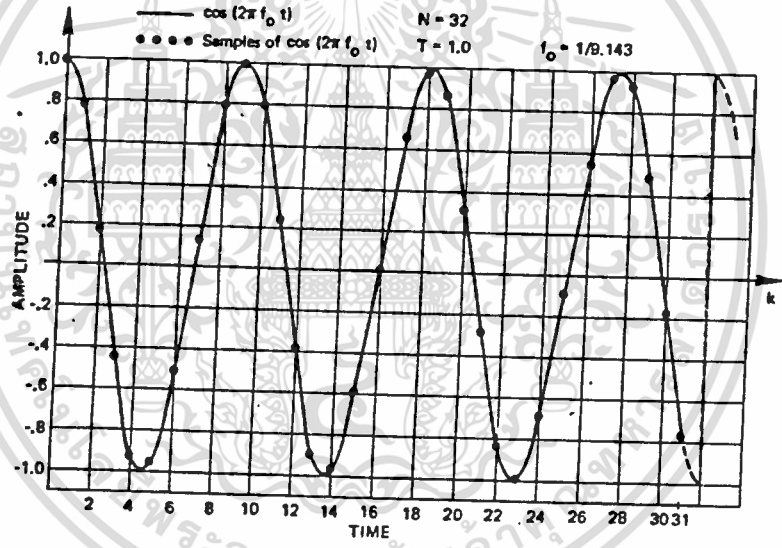
5.6.1 ฟังก์ชันถ่วงน้ำหนักสี่เหลี่ยม (rectangular weighting function)

จากรูปที่ 5.2³ เราสามารถสังเกตุเห็นว่าโดยการใช้ฟังก์ชันสี่เหลี่ยม (impulse function) ซึ่งได้แสดงไว้ในรูปที่ 5.2³(b) นำผลที่ได้ (รูปที่ 5.2(c)) ไปคูณด้วยฟังก์ชันตัดทอนสี่เหลี่ยม ซึ่งแสดงไว้ในรูปที่ 5.2³(d) เพื่อจำกัดจำนวนของจุดสุ่มมาที่เหลือนเท่ากับ N ในที่นี้การตัดทอนของโดเมนเวลา (time domain) ก็คือการถ่วงน้ำหนักข้อมูลโดยคูณด้วยฟังก์ชันสี่เหลี่ยม ผลของการตัดทอนโดเมนเวลาได้แสดงไว้ในรูปที่ 5.2³(e) เราเห็นว่าฟังก์ชันโดเมนความถี่ (frequency domain) ของฟังก์ชันสี่เหลี่ยม คือฟังก์ชัน $[\sin(f)/f]$ ดังนั้นการแปลงเป็นโดเมนความถี่ของฟังก์ชันเวลาที่ตัดทอนแล้ว จึงเป็นการทำคอนโวลูชัน (convolution) ของฟังก์ชันเวลากับฟังก์ชันสี่เหลี่ยม ทำให้ผลที่ได้มีองค์ประกอบของความถี่เพิ่มขึ้นมา ซึ่งก็คือลอนข้าง (side lobe) ของฟังก์ชันสี่เหลี่ยม องค์ประกอบที่เพิ่มขึ้นมานี้เรียกว่า ส่วนรั่วไหล (leakage) ทำให้อิมพัลส์ของความถี่ของฟังก์ชันรั่วออกไปที่ลอนข้างของฟังก์ชัน $[\sin(f)]/f$

ถึงแม้ว่าฟังก์ชันในโดเมนเวลาเริ่มต้นเป็นสัญญาณชายนี้น แต่เมื่อผ่านการสุ่มแล้ว รูปคลื่นของสัญญาณที่ถูกสุ่มในโดเมนเวลาจะไม่เป็นสัญญาณชายนี้อีก เพราะว่าช่วงของการตัดทอน (truncation interval) ไม่เท่ากับคาบเวลาหรือจำนวนเท่าของคาบเวลา (เป็นจำนวนเต็ม) ทำให้คอนโวลูชันในโดเมนเวลาในรูปที่ 5.2 (e) และ (f) ไม่ตรงกับฟังก์ชันคาบเวลาเริ่มต้น เนื่องจากการทำคอนโวลูชันของฟังก์ชันเวลาเป็นแบบไม่ต่อเนื่อง (discontinuous) จึงได้แสดงผลของการเกิด

การกระเพื่อม(rippling effect) ใว้ในแบบไม่ต่อเนื่องงานรูปที่ 5.2(g) ด้วย
ต่อไป เราสาธิตตัวอย่างของผลที่เกิดจากการใช้ฟังก์ชันถ่วงน้ำหนักสี่เหลี่ยม
ดังนี้

สมมติว่า เราต้องคำนวณ FFT ของฟังก์ชันโคไซน์(cosine function)
ซึ่งแสดงใว้ในรูปที่ 9.7(a) โดยมีคาบเวลา $T = 1.0$ และ $N = 32$ ในรูปที่ 9.7
(b) เราได้แสดงขนาดของการแปลงดิสครีตฟูเรียร์(discrete fourier
transform) ของจุดสุ่มในรูปที่ 9.7(a) FFT จะทำให้ผลเป็นความถี่ไม่ต่อเนื่อง
ทางด้านบวกทั้งหมด จากที่ได้อธิบายในหัวข้อที่แล้ว องค์ประกอบของความถี่เพิ่มขึ้น
มาที่เรียกว่าส่วนรัวไหลเป็นผลมาจากลักษณะการมีลอนข้างของฟังก์ชัน $[\sin(f)]$
/f



รูปที่ 5.8 แสดงผลจาก FFT ของฟังก์ชันคาบเวลา

เอกสารนี้เป็นเอกสารที่สงวนลิขสิทธิ์ไว้สำหรับใช้เพื่อการศึกษาเท่านั้น เมื่อผู้ใดที่นำมาใช้ประโยชน์ด้านการค้า
ไม่ว่ากรณีใดๆทั้งสิ้น โดยมีช่วงการตัดทอนไม่เท่ากับจำนวนเท่าของคาบเวลาจริงที่มีการนำไปใช้

เพื่อลดผลจากการรั่วไหล เราจำเป็นต้องใช้วิธีการตัดทอนโดเมนเวลาหรือฟังก์ชันถ่วงน้ำหนักที่มีลักษณะของลอนข้างในโดเมนความถี่เล็กกว่าของฟังก์ชันสี่เหลี่ยม ลอนข้างที่เล็กกว่านี้ทำให้การรั่วไหลของผลลัพธ์จาก FFT ลดน้อยลง เพื่อให้เข้าใจจุดนี้ได้ชัดเจนยิ่งขึ้น ขอให้พิจารณารูปที่ 5.2 อีกครั้งหนึ่ง ถ้าเปลี่ยนฟังก์ชันตัดทอนในรูปที่ 5.2(d) เป็นฟังก์ชันที่มีลอนข้างต่ำ จะทำให้การประมาณค่าของการแปลงฟูเรียร์ดีขึ้น * การรั่วฟังก์ชันถ่วงน้ำหนักข้อมูลเพื่อตัดทอนและถ่วงน้ำหนักข้อมูลต้องทำกับจุดสุ่ม N ก่อนคำนวณ FFT

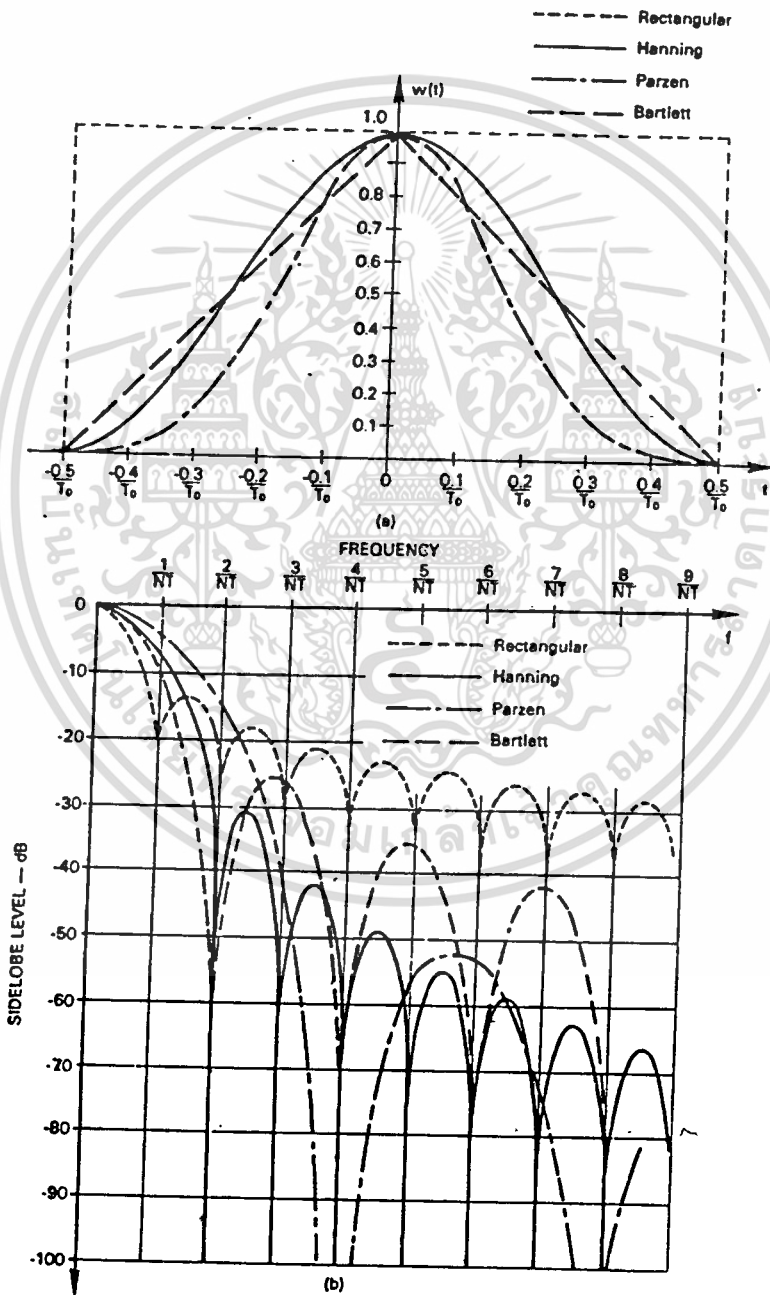
5.6.2 ลักษณะของฟังก์ชันถ่วงน้ำหนักชนิดต่างๆ

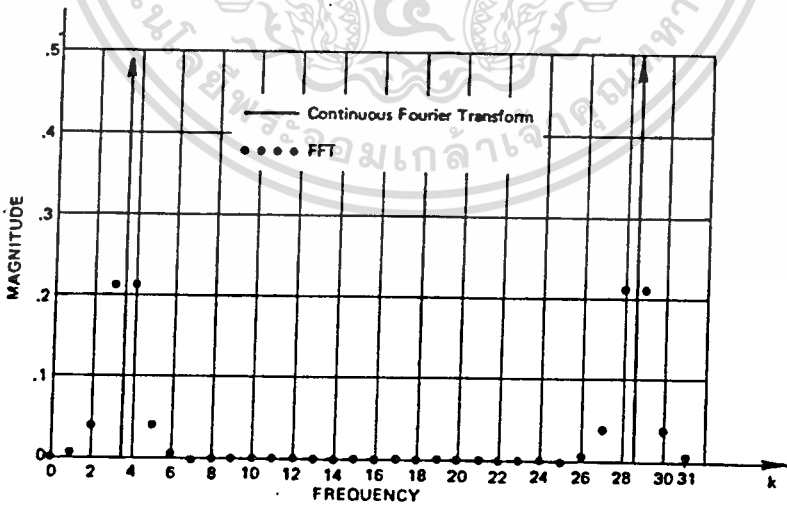
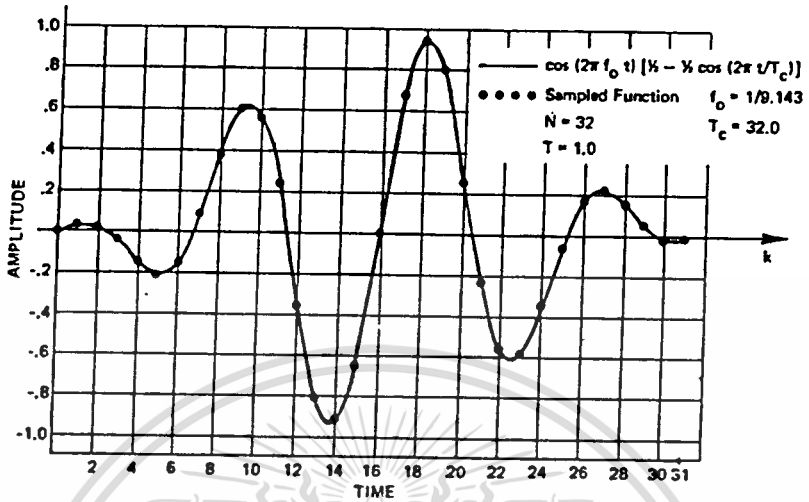
ในรูปที่ 5.9(a) ได้แสดงฟังก์ชันตัดทอนหรือถ่วงน้ำหนักที่นิยามใช้กับ FFT ผลของการตอบสนองความถี่ของฟังก์ชันได้แสดงไว้ในรูปที่ 5.9(b) และในตารางที่ 5.2 แสดงข้อมูลการเปรียบเทียบลักษณะของฟังก์ชันถ่วงน้ำหนักแต่ละตัวทั้งในโดเมนเวลาและโดเมนความถี่ โดยมีจุดศูนย์กลางอยู่ที่จุดศูนย์กลางเพื่อให้ง่ายต่อการสังเกตจากรูปที่ 5.9(b) จะเห็นว่า ฟังก์ชันถ่วงน้ำหนักทั้งหมดมีลอนข้างในโดเมนความถี่ที่มีขนาดเล็กฟังก์ชันถ่วงน้ำหนักสี่เหลี่ยมทั้งนั้น ซึ่งจะช่วยให้ผลของการรั่วไหลลดน้อยลง แต่อย่างไรก็ตาม ฟังก์ชันถ่วงน้ำหนักทั้งหมดนี้มีลักษณะของลอนหลัก (main lobe) ที่กว้างกว่า ลองดูรูปที่ 6.4(d) และ (e) อีกครั้ง ลองคิดเปรียบเทียบผลที่ได้เมื่อใช้ฟังก์ชันถ่วงน้ำหนักตามรูปที่ 5.9(b) จะเห็นว่า ยังลอนหลักมีความกว้างมากขึ้นเท่าใด ผลที่ได้จาก FFT ยังมีความคลุมเคลือมากยิ่งขึ้น นั่นก็หมายความว่าถ้าลอนหลักมีขนาดกว้าง จะทำให้แยกความแตกต่างของแต่ละความถี่ได้ยาก

ข้อได้เปรียบเสียเปรียบระหว่างส่วนรั่วไหล (ระดับการรั่วไหล) และความละเอียด (แบนด์วิธของลอนหลัก) เป็นที่รู้จักกันดีในงานวิทยาศาสตร์สาขาต่างๆ ในตารางที่ 5.2 แสดงระดับสูงสุดของลอนข้าง และแบนด์วิธ (bandwidth) 3-dB สำหรับแต่ละฟังก์ชันถ่วงน้ำหนัก สำหรับงานการทดลองทั่วไป นิยามใช้ฟังก์ชันแฮนนิ่ง (Hanning function) เพราะว่าโครงสร้างของมันง่ายกว่าแบบอื่น การเลือกฟังก์ชันถ่วงน้ำหนักที่ให้ผลดีที่สุดต้องขึ้นกับลักษณะของงานที่เราจะไปใช้งานด้วย

เป็นสำคัญ

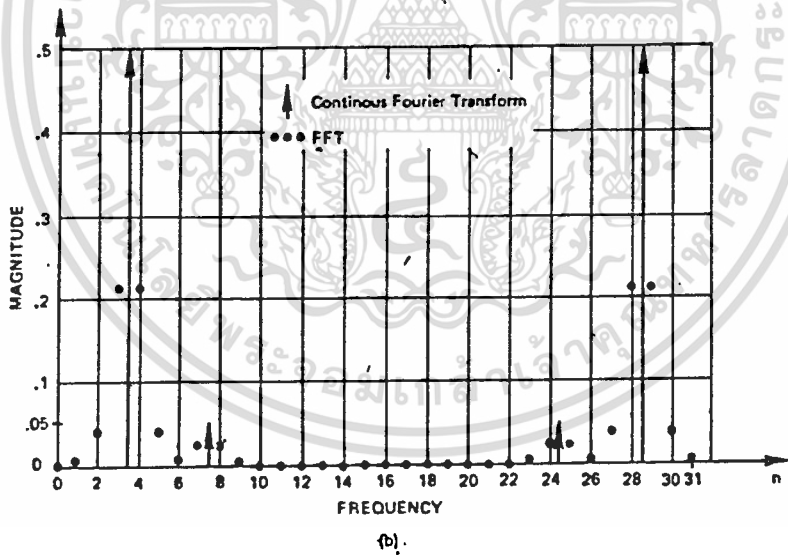
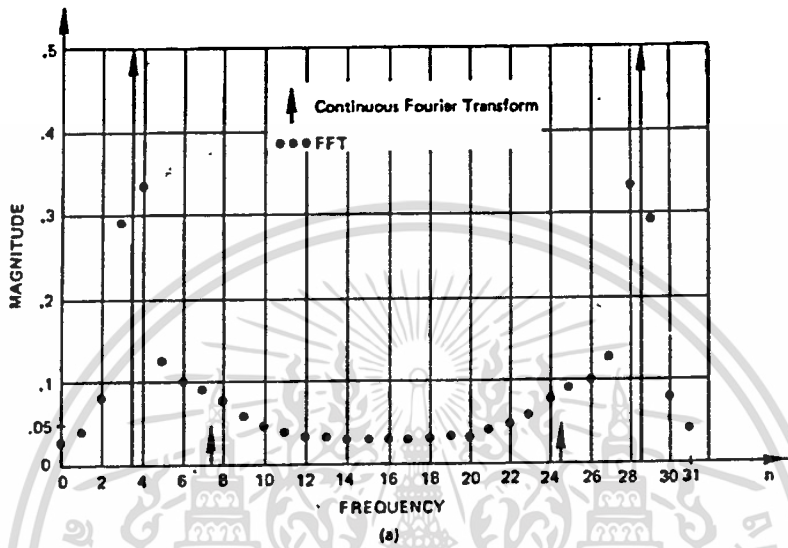
ผลที่ได้จากFFTจะมีช่วงความถี่ $f_0 = 1/NT$ ซึ่งอาจทำให้เกิดความสับสนกับค่า $1/NT$ ของฟังก์ชันถ่วงน้ำหนักที่เลือกใช้ ผลของความละเอียดของความถี่ของผลลัพธ์ที่ได้





รูปที่ 5.10 แสดงตัวอย่างการหาซามเปิลนึ่งฟังก์ชัน

เอกสารนี้เป็นเอกสารที่สงวนไว้สำหรับงานเพื่อการศึกษาค้นคว้าเท่านั้น มิใช่ผู้ให้พิมพ์ใช้ประโยชน์ด้านการค้า
ไม่ว่ากรณีใดๆทั้งสิ้น อีกทั้งห้ามมิให้เพื่อลดส่วนรู้วาทะของการคำนวณด้วย FFT ครั้งที่มีการนำไปใช้



รูปที่ 5.11 (a) แสดงตัวอย่างที่เลือนลางเนื่องจากผลจากส่วนรั่วไหลของลอนข้าง
เอกสารนี้เป็นเอกสารที่ส่งในไรต์ที่รับที่รับหนึ่งก่อนที่ทักซ์ให้มัน ไม่ได้อยู่ที่เห็นโดยใช้บรชชอนกันที่
ไม่ว่ากรณีใดๆทั้งสิ้น (b) ึ่งสัญญาณที่ตรวจจับได้หลังจากผ่านแชนนิงฟังก์ชันแล้วที่มีการนำไปใช้

จาก FFT เป็นเพียงฟังก์ชันของแบนวิดธ์ของฟังก์ชันถ่วงน้ำหนักแต่ละตัวเท่านั้น (ดูรูปที่ 5.9(b)) ดังนั้นการวิเคราะห์คานิยามของความละเอียด $1/NT$ ต้องทำอย่างระมัดระวัง และรำลึกอยู่เสมอว่า มันเป็นเพียงช่องว่างระหว่างความถี่ที่เกิดจากผลที่ได้จาก FFT เท่านั้นและไม่เกี่ยวกับ $1/NT$ ของวินโดว์ที่ใช้

ต่อไป เราจะแสดงผลจากการใช้ฟังก์ชันถ่วงน้ำหนักที่มีลอนข้างต่ำ เพื่อให้เห็นลักษณะการนำพาใช้ลดการรั่วไหลของผลจากการตัดทอนในโดเมนเวลา ในรูปที่ 5.10(a) เราได้แสดงรูปคลื่นโคไซน์ที่แสดงไว้ในรูปที่ 9.7(a) ที่คูณด้วยฟังก์ชันถ่วงน้ำหนักแฮนนิ่งที่แสดงไว้ในรูปที่ 5.9(a) แล้ว

รูปที่ 5.10(b) แสดงจุดสุ่มจาก FFT ของรูปที่ 5.10(a) จากรูปจะเห็นว่า ส่วนรั่วไหลลดลงไปอย่างมาก แต่องค์ประกอบหลักของความถี่ มีระยะกว้างขึ้นหรือคลุมเคลือเมื่อเปรียบเทียบกับจุดของอิมพัลส์ฟังก์ชัน เพราะผลจากการคอนวูลูชันความถี่ของอิมพัลส์ฟังก์ชันกับผลการแปลงฟูเรียร์ของฟังก์ชันถ่วงน้ำหนัก

บทที่ 6

การวิเคราะห์เสียงพูด (Speech Analysis)

ในการเก็บหรือจดจำเสียงพูด เราต้องพยายามลดช่วงของสัญญาณเสียงพูดที่เกิดขึ้น โดยใช้ตัวแทนของเสียงพูด ที่สามารถแทนลักษณะสำคัญของเสียงพูดนั้น ในเทอมของค่าพารามิเตอร์ (parameter) เพื่อให้จัดการกับข้อมูลได้ง่าย

ต่อไป เราจะได้อธิบายถึง วิธีการที่ใช้ในการวิเคราะห์เสียงพูด ทั้งในโดเมนเวลา (กระทำกับเสียงพูดที่เกิดขึ้นโดยตรง) และโดเมนความถี่ (ผ่านการแปลงเป็นความถี่ก่อน) เพื่อหาตัวแทนของสัญญาณเสียงพูดในรูปของพารามิเตอร์ที่เหมาะสมที่สุด สามารถนำไปใช้งานได้ และมีข่าวสารของข้อมูลครบถ้วน การวิเคราะห์ในโดเมนเวลา เราต้องการการคำนวณเพียงเล็กน้อย ทำให้ถูกจำกัดให้วัดได้เฉพาะลักษณะง่ายๆ เท่านั้น เช่นการวัดพลังงานและความเป็นคาบเวลาของสัญญาณ ในขณะที่การวิเคราะห์ในโดเมนความถี่จะให้ค่าพารามิเตอร์ที่มีประสิทธิภาพมากกว่า แต่การสุ่มสัญญาณเสียงพูดจะต้องมีความเที่ยงตรงสูง

เทคนิคที่ใช้ในการวิเคราะห์เสียงพูด อาจทำได้ทั้งแบบดิจิทัลและอนาลอก การประมวลผลสัญญาณอนาลอก เป็นการนำวงจรทางด้านอิเล็กทรอนิกส์ ซึ่งมีข้อดีอยู่ตรงที่มีความเร็วสูง แต่จำเป็นต้องใช้วงจรเฉพาะอย่าง ทำให้ต้องต่อสายใหม่และปรับค่าใหม่ทุกครั้งที่น่าไปประยุกต์ใช้กับงานอื่น ในขณะที่เทคนิคทางดิจิทัลสร้างและเปลี่ยนแปลงได้ง่ายกว่า เพียงแต่ต้องการซอฟต์แวร์หรือโปรแกรม และฮาร์ดแวร์พิเศษ (ไมโครโปรเซสเซอร์และซีพียู) ถึงแม้ว่า อาจจะมีปัญหาในเรื่องความเร็ว ไม่สามารถตอบสนองในเวลาจริงได้ แต่ในปัจจุบันเทคโนโลยีทางด้าน VLSI ได้พัฒนาไปอย่างมาก ทำให้ลดข้อเสียเปรียบของเทคนิคดิจิทัลไปได้มาก สำหรับงานด้านการทดลอง ขอแนะนำให้ใช้ดิจิทัลเพราะแก้ไขได้ง่ายกว่า

6.1 การวิเคราะห์เสียงพูดในช่วงสั้น (Short-time speech analysis)

(random) แต่ก็ต้องขึ้นกับการควบคุมเสียงของผู้พูดด้วย เพราะเสียงที่เปล่งออกมาในช่วงระยะเวลาหนึ่งนั้น จะขึ้นกับรูปร่างของท่อทางเสียง (vocal tract) และลักษณะการสั่นของเส้นเสียง (vocal cord) สัญญาณของเสียงพูดจึงเป็นสัญญาณที่เป็นคาบเวลาชั่วขณะ (quasi-periodic) หมายความว่า สัญญาณเสียงพูดมีคาบเวลาคงที่ในระยะเวลาสั้นๆ และมีการเปลี่ยนแปลงในระหว่างระยะเวลาสั้นๆ นั้น

ถ้าเราพูดช้ามากๆ เสียงที่พูดที่ได้ยินจะเปลี่ยนแปลงอยู่ในช่วงมากกว่า 200 ms ก็ได้ แต่การพูดโดยทั่วไป ลักษณะการเปลี่ยนแปลงของเสียงพูดจะอยู่ในช่วงค่าเฉลี่ยประมาณ 80 ms ในการวิเคราะห์ เราจะใช้วินโดว์ (window) วิเคราะห์สัญญาณเป็นช่วงๆ หรือเรียกว่า การวิเคราะห์เฟรม (frame) ช่วงเวลาของวินโดว์มีค่าไม่แน่นอน ในบางครั้งอาจต้องใช้ถึง 100 ms แต่ในบางครั้งเหมือนวิเคราะห์ สัญญาณเสียงพูดที่เร็วมากและไม่มีช่วงหยุดเลย เราอาจจะต้องใช้ช่วงเวลาวินโดว์ต่ำถึง 5-10 ms

6.1.1 การใช้วินโดว์ (windowing)

รูปแบบการของการเฉลี่ย โดยปกติมีวิธีหลายอย่าง เพื่อให้ได้เส้นของพารามิเตอร์ที่เป็นฟังก์ชันของเวลา แสดงได้อย่างถูกต้อง ทางเลือกทางหนึ่ง ที่เลือกใช้คือขนาดของวินโดว์ซึ่งมีปัจจัยที่เกี่ยวข้องคือ

- (1) วินโดว์จะต้องเล็กพอๆ กับคุณลักษณะของคำพูด
- (2) วินโดว์จะต้องยาวพอที่จะใช้ในการคำนวณหาพารามิเตอร์
- (3) วินโดว์ที่ดีจะต้องไม่สั้นไปจนข้ามบางช่องของคำพูด การวิเคราะห์จะทำเป็นคาบๆ ไป ซ้ำๆ กันตลอดที่ได้สัญญาณ

เงื่อนไขท้ายนี้จะขึ้นกับ frame rate (จำนวนครั้งต่อวินาที ที่กระทำต่อสัญญาณที่วิเคราะห์) มากกว่าขนาดของวินโดว์ โดยปกติ frame rate ประมาณ 2 เท่าของความถี่ เพื่อให้วินโดว์ทับกัน 50 %

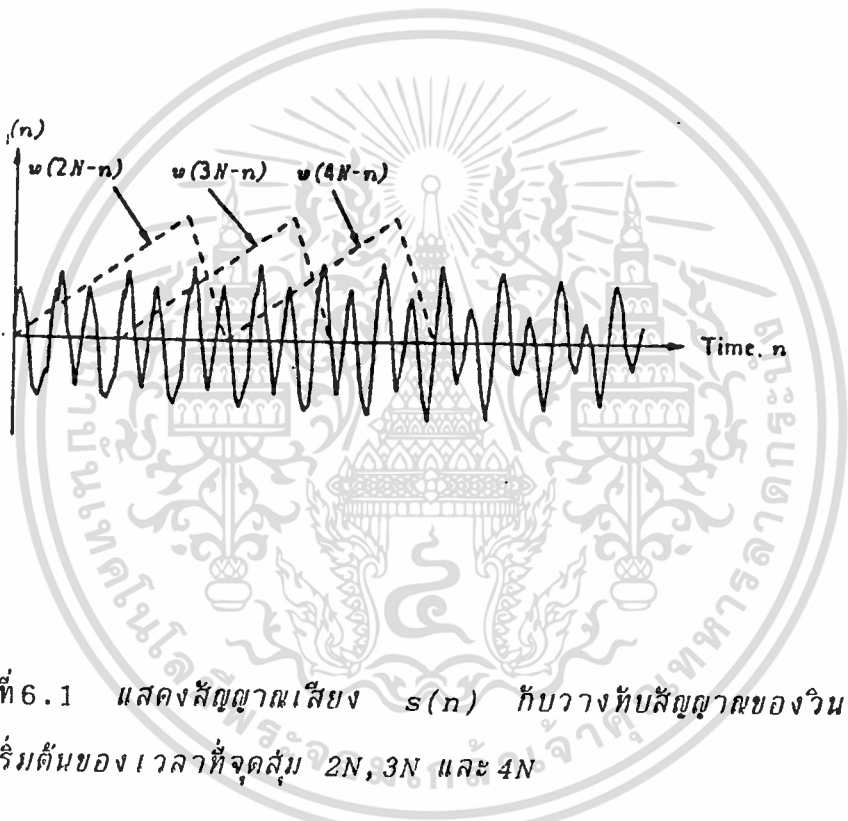
การหาวินโดว์เป็นการคูณสัญญาณเสียงโดยวินโดว์ที่มีช่วงเวลาจำกัด

(finite-duration window) $w(n)$ ซึ่งกลุ่มของสัญญาณเสียงที่สุ่มมาจะถูกกำหนดหน้าหน้าหนักโดยรูปของวินโดว์

วินโดว์อาจมีคาบเวลาแบบไม่จำกัด แต่ในทางปฏิบัติจะใช้มีแบบจุดสิ้นสุด เพื่อ
 ำให้่ง่ายในการคำนวณโดยการใส่ฟังก์ชัน $w(n)$ ตรวจสอบส่วนต่างๆของ $s(n)$
 โดยการเคลื่อนวินโดว์ ตามรูป 6.1 วินโดว์ที่มีรูปแบบง่ายที่สุดคือรูปแบบสี่เหลี่ยม
 $r(n)$

$$w(n) = r(n) = 1 \text{ เมื่อ } 0 \leq n \leq N-1 \quad (6.1)$$

0 อื่นๆ



รูปที่ 6.1 แสดงสัญญาณเสียง $s(n)$ กับวางทับสัญญาณของวินโดว์ 3 ตัว โดยมีจุดเริ่มต้นของเวลาที่จุดสุ่ม $2N, 3N$ และ $4N$

การวิเคราะห์แบบนี้เป็นการจำกัดช่วงจุดสุ่มมาให้เหลือ N โดยแต่ละจุดสุ่มมีการถ่วงน้ำหนักเท่าๆกัน

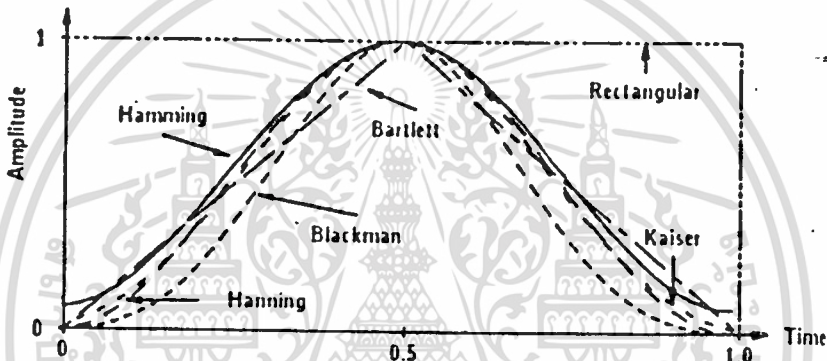
วินโดว์ที่ใช้ในการจริงนั้นต้องมีรูปร่างตามรูปที่ 6.2 สมมติว่าเสียงพูดประมาณว่าคงที่ในช่วง 10ms เราต้องใส่วินโดว์ที่ช่วงเวลาเท่ากับ 20ms โดยให้จุดตรงกลาง 10ms ถ่วงน้ำหนักมากกว่าจุดต้นและจุดปลาย เหตุผลที่ต้องถ่วงน้ำหนักจุดกลางมากกว่าจุดปลาย เพราะรูปร่างของวินโดว์มีผลต่อเอาต์พุตของพารามิเตอร์เสียงพูด เมื่อเราเลื่อนวินโดว์ไปตามเวลาเพื่อวิเคราะห์เฟรมของสัญญาณ

เอกสารนี้เป็นเอกสารที่สงวนไว้สำหรับการศึกษาเท่านั้น ไม่อนุญาตให้นำไปใช้ประโยชน์ด้านการค้า
 เสียงพูด ผลของพารามิเตอร์อาจเปลี่ยนแปลงอย่างมากถ้าใส่ฟังก์ชัน $r(n)$ ต่างกัน
 ไม่ว่าจะกรณีใดๆทั้งสิ้น อีกทั้งห้ามมิให้ตัดแปลงเนื้อหา และต้องอ้างอิงถึงเจ้าของเอกสารทุกครั้งที่มีการนำไปใช้

ตัวอย่างเช่นการพลังงานโดยการบวกผลกำลัง 2 ของจุดสุ่มในวินโดว์ของสี่เหลี่ยม
ทำให้เกิดการกระเพื่อมรอบจุดความถี่ ดังนั้นเราจะใช้แฮนนิ่งวินโดว์
(Hanning window) แทนวินโดว์สี่เหลี่ยมซึ่งมีรูปร่างเท่ากัน

$$w(n) = h(n) = 0.54 - 0.46 \cos(2\pi n / N - 1) \text{ เมื่อ } 0 \leq n \leq N-1 \quad (6.2)$$

0 อื่นๆ



รูปที่ 6.2 รูปแบบของวินโดว์ ซึ่งมีช่วงเวลาเท่ากับหนึ่ง

การทำให้ขอบของวินโดว์ลาดลง ในการวิเคราะห์เฟรมโดยการเลื่อน
ตลอดแนวความยาวของสัญญาณทั้งหมด ไม่มีผลเสียต่อพารามิเตอร์ของเสียงพูด

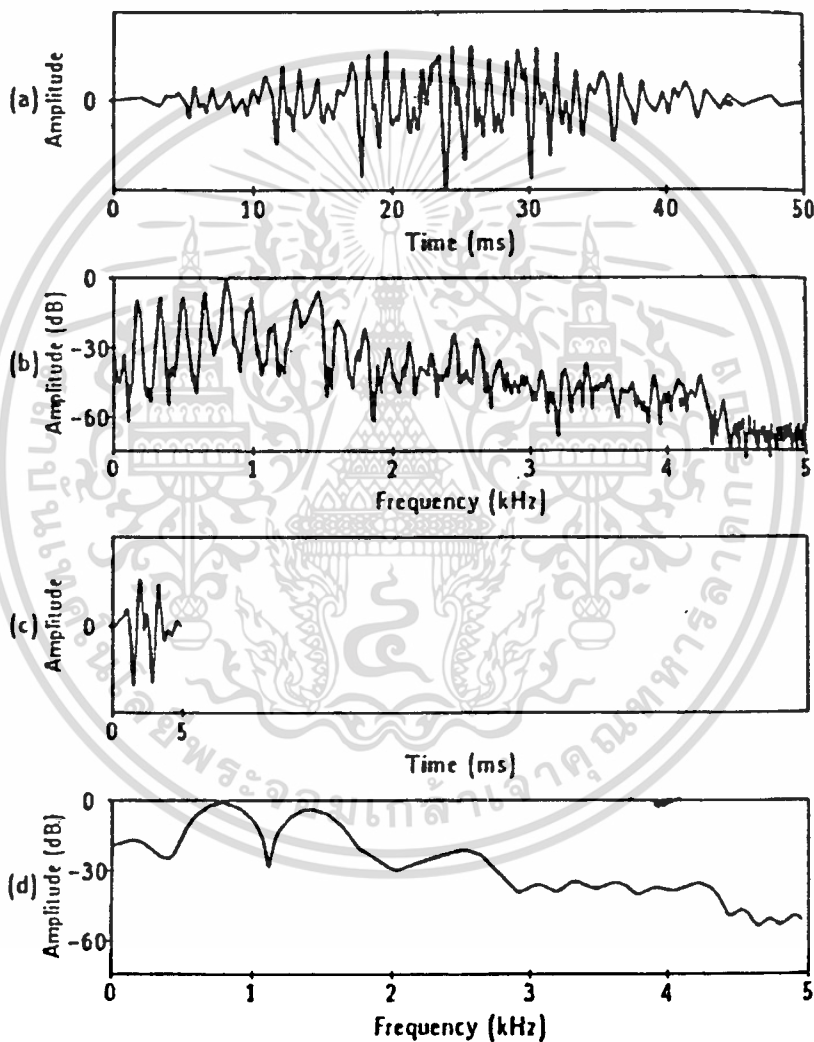
6.2 พารามิเตอร์ในโดเมนเวลา (Time-Domain Paramiter)

ในขบวนการของสัญญาณเสียงในฟังก์ชันเวลาจะมีความได้เปรียบใน
ด้านความง่าย คำนวณเร็ว และง่ายในการแปลความหมาย พารามิเตอร์ของ
เสียงสำหรับการเข้ารหัสและการจำสามารถจะทำได้จากการวิเคราะห์ฟังก์ชัน
เวลา เช่น พลังงาน (หรือแอมพลิจูด), เสียง

เอกสารนี้เป็นเอกสารที่สงวนไว้สำหรับการใช้งานเพื่อการศึกษาเท่านั้น ไม่อนุญาตให้นำไปใช้ประโยชน์ด้านการค้า
ไม่ว่ากรณีใดๆทั้งสิ้น อีกทั้งห้ามมิให้ตัดแปลงเนื้อหา และต้องอ้างอิงถึงเจ้าของเอกสารทุกครั้งที่มีการนำไปใช้

6.2.1 การวิเคราะห์ในโดเมนเวลา

การวิเคราะห์ที่ฟังก์ชันเวลาที่เปลี่ยนจากสัญญาณเสียงสู่พารามิเตอร์ 1 ตัวหรือมากกว่า ซึ่งโดยปกติจะช้ากว่าสัญญาณเริ่มแรกมาก การเก็บและการ manipulate ใน



รูปที่ 6.3 (a) แสดงสัญญาณที่ถูกคูณด้วยแฮมมิงวินโดว์ 50 ms

(b) สเปกตรัมของรูป(a)

(c) แสดงสัญญาณที่ถูกคูณด้วยแฮมมิงวินโดว์ 5 ms

(d) สเปกตรัมของรูป(c)

เอกสารนี้เป็นเอกสารที่สงวนไว้สำหรับการใช้งานเพื่อการศึกษาเท่านั้น ไม่อนุญาตให้นำไปใช้ประโยชน์ด้านการค้า
ไม่ว่ากรณีใดๆทั้งสิ้น อีกทั้งห้ามมิให้ดัดแปลงเนื้อหา และต้องอ้างอิงถึงเจ้าของเอกสารทุกครั้งที่มีการนำไปใช้

กรณีของสัญญาณเสียง จะมีประสิทธิภาพมากกว่าการเก็บสัญญาณเสียงโดยตรง ตัวอย่างเช่น คำพูดที่ถูกสุ่มมาที่ 6000-10000 ตัวอย่าง/วินาที เพื่อที่จะเก็บช่วงความถี่ได้ถึง 3-5 kHz และโดยปกติแล้วการเบี่ยงเสียง 100 ms จะต้องการถึง 1000 ตัวอย่าง เพื่อให้ได้ความถี่ที่ต้องการในการแสดงผลออกมา การสุ่มสัญญาณพารามิเตอร์โดยทั่วไปจะสุ่มที่ 40-100 ตัวอย่าง/s (มีบางระบบที่ต้องสุ่มถึง 200 ตัวอย่าง/s ดังนั้นเมื่อเปลี่ยนคลื่นเสียงไปสุ่มสุ่มพารามิเตอร์ อัตราการสุ่มสามารถลดลง

เทคนิคการประมวลผลแบบ short-time ส่วนมาก จะสร้างพารามิเตอร์อยู่ในรูปแบบ

$$Q(n) = \sum_{m=-\alpha}^{\alpha} T[S(m)]w(n-m) \quad (6.3)$$

สัญญาณเสียง $S(n)$ ได้รับการเปลี่ยนเป็นฟังก์ชัน T ซึ่งถูกกำหนดโดยวินโดว์ $w(n)$ และถูกรวมกัน (sum) เป็นพารามิเตอร์ $Q(n)$ ที่อัตราการสุ่มเริ่มต้นซึ่งจะเป็นตัวแทนแสดงสมบัติของคำพูด ที่ถูกเฉลี่ยภายในช่วงของวินโดว์ $Q(n)$ ได้มาจากการคอนโวลูชันของ $T[S(n)]$ กับ $w(n)$ เพื่อที่จะกระจายฟังก์ชันนั้น $w(n)$ ใช้เป็น low pass filter, $Q(n)$ จะถูกทำให้ลายเรียบลงไปในลักษณะของฟังก์ชัน $T[S(n)]$ เดิม เมื่อ $Q(n)$ เป็นเอาต์พุตของวงจรรองผ่านความถี่ต่ำ low pass filter (วินโดว์) ในกรณีส่วนใหญ่แบนด์วิดธ์ของ $Q(n)$ จึงเหมือนกับของวงจรรองผ่านความถี่ต่ำ $w(n)$ เพื่อการทำงานและการจัดเก็บมีประสิทธิภาพมากขึ้น $Q(n)$

6.3 ค่าพารามิเตอร์ในโดเมนความถี่

ค่าพารามิเตอร์สำคัญจำนวนมากถูกพบในโดเมนความถี่ เพราะทฤษฎีการแยกแยะเสียงให้กำเนิดสัญญาณที่สามารถวิเคราะห์เป็นความถี่ได้ง่ายกว่าทำงานในโดเมนเวลา ไม่ว่ากรณีใดๆทั้งสิ้น อีกทั้งห้ามมิให้คัดลอกเนื้อหา และต้องอ้างอิงถึงเจ้าของเอกสารทุกครั้งที่มีการนำไปใช้

โดยตรง เสียงพูดของคนคนเดียวกันในแต่ละครั้ง เมื่อพิจารณาในโดเมนเวลาจะเห็นผลของความแตกต่างของสัญญาณ แต่เมื่อพิจารณาในโดเมนความถี่ สัญญาณที่ได้มีความคล้ายคลึงกันมาก

ระบบการได้ยินของมนุษย์จะตอบสนองต่อรูปร่างของสัญญาณเสียง (หรือขนาดที่กระจายอยู่ในโดเมนความถี่) มากกว่าที่เฟสของสัญญาณในโดเมนเวลา ด้วยเหตุผลเหล่านี้ การวิเคราะห์ความถี่จึงถูกใช้ในการดึงค่าพารามิเตอร์สำคัญจากสัญญาณเสียงพูด

ต่อไป จะได้อธิบายถึงวิธีการต่างๆ ที่จะนำไปใช้ในการวิเคราะห์ความถี่

6.3.1 การวิเคราะห์ด้วยฟิลเตอร์แบงก์ (filter bank)

การวิเคราะห์ความถี่ด้วยฟิลเตอร์แบงก์ เป็นเทคนิคที่นิยมกันมาก เพราะสามารถตอบสนองได้ในเวลาจริง โครงสร้างง่ายและไม่แพง โดยใช้ฟิลเตอร์แบงก์หรือกลุ่มของแบนพาสฟิลเตอร์ (bandpass filter) ซึ่งอาจจะ เป็นอนาล็อกฟิลเตอร์หรือดิจิทัลฟิลเตอร์ก็ได้ แบนพาสฟิลเตอร์แต่ละตัวจะแยกวิเคราะห์ความถี่ของสัญญาณเสียงในช่วงๆ ในทางด้านการคำนวณ วิธีฟิลเตอร์ มีความยืดหยุ่นมากกว่าการวิเคราะห์ด้วย DFT เพราะช่วงแบนวิดท์ (bandwidth) สามารถปรับช่วงตามขอบเขตการรับฟัง เสียงของมนุษย์ได้มากกว่าการกำหนดตายตัวว่าต้องมีแบนวิดท์กว้างแคบเท่านี้เท่านั้น

ในการประยุกต์ใช้งานจำนวนมาก ต้องการกลุ่มของพารามิเตอร์ความถี่ไม่มากนัก ในการอธิบายการกระจายของพลังงานของความถี่ โดยทั่วไปการใช้กลุ่มของแบนพาสฟิลเตอร์ 8-12 ตัว ก็สามารถให้ค่าตัวแทนของความถี่ที่ซับซ้อนและมีประสิทธิภาพมากกว่าการวิเคราะห์ด้วย DFT ซึ่งให้รายละเอียดปลีกย่อยของแต่ละความถี่ได้มากกว่า

ในวิธีการทั่วไป ฟิลเตอร์จะมีการวางระยะตามบาร์คสเกล (bark scale) คือ ให้มีระยะห่างความถี่ของฟิลเตอร์แต่ละตัวเท่าๆกัน และมีแบนวิดท์ที่เพิ่มขึ้นแบบลอการิทึม (logarithm) แต่ไม่ควรเกิน 1 kHz โดยทั่วไปนิยมใช้ฟิลเตอร์ 1/3 ออคเทฟ (one-third-octave filter) ในระบบการจดจำเสียงพูดจริงๆนั้น ไม่ว่าจะกรณีใดๆทั้งสิ้น อีกทั้งห้ามมิให้ตัดแปลงเนื้อหา และต้องอ้างอิงถึงเจ้าของเอกสารทุกครั้งที่มีการนำไปใช้

อาจจะใช้ฟิลเตอร์แบ่งคี่ถึง 2 ครั้ง ครั้งแรกเป็นการจำแนกเสียงอย่างคร่าวๆ ก่อน โดยใช้ฟิลเตอร์เพียงไม่กี่ตัว และวิเคราะห์หารายละเอียดปลีกย่อยอีกครั้ง โดยใช้กลุ่มของฟิลเตอร์มากขึ้น

6.3.2 การวิเคราะห์ฟูเรียร์ช่วงสั้น (Short-Time Fourier Analysis)

การวิเคราะห์ฟูเรียร์ช่วงสั้นเป็นเทคนิคการหาความถี่ที่ใช้กันมานานแล้ว การวิเคราะห์ฟูเรียร์ที่ตัวแทนของสัญญาณเสียงพูดเป็นฟังก์ชันความถี่ในเทอมของขนาดและเฟส เนื่องจากเสียงพูดไม่ได้นิ่งตลอดเวลา ดังนั้นจึงจำเป็นต้องใช้การวิเคราะห์ในช่วงสั้น โดยใช้วินโดว์

การแปลงฟูเรียร์ช่วงสั้น มีสมการว่า

$$S_n(e^{j\omega}) = \sum_{m=-\infty}^{\infty} s(m)(e^{-j\omega m})w(n-m) \quad (6.4)$$

ในการคำนวณ เราต้องใช้ DFT แทนการแปลงฟูเรียร์แบบต่อเนื่อง โดยใช้ฟังก์ชันวินโดว์ w ลดข้อมูลแบบไม่ต่อเนื่องทั้งหมดที่เหลือจำนวน N ตัว (N คือช่วงเวลาหรือขนาดของวินโดว์ที่ใช้ในการแปลง DFT) ข่าวสารต่างๆใน $S_n(e^{j\omega})$ จะไม่สูญหายไปจากข้อมูลเดิม $s_n(e^{j\omega})$ ถ้าการแปลงนั้นสุ่มมาด้วยความถี่สูงเพียงพอ (คือ ช่วงระยะห่างระหว่าง N) และวินโดว์ $w(n)$ ไม่มีจุดสุ่มที่เป็นศูนย์ตลอดช่วง N ตัวแปร N เป็นตัวแปรที่ต้องระวังมากเป็นพิเศษในการวิเคราะห์ความถี่ช่วงสั้น ถ้าค่าของ N ต่ำ (ใช้วินโดว์ช่วงสั้น) จะทำให้ความละเอียดในโดเมนความถี่จะหยาบมาก เพราะจะทำให้ผลที่ดีในโดเมนเวลา เพราะการเฉลี่ยถูกทำเฉพาะในช่วงสั้นๆเท่านั้น ในทางตรงกันข้าม ถ้า N มีขนาดใหญ่ จะให้ผลความละเอียดของเวลาที่แย่ แต่จะทำให้โดเมนความถี่มีความละเอียดสูงกว่า

บทที่ 7

การจดจำ(recognition)

7.1 ประเภทของการจดจำ

ในการประมวลผลสัญญาณเสียงพูด มีการประยุกต์ใช้งานสำคัญ 2 ด้าน คือ

- 1.การจดจำเสียงพูด(Speech recognition)
- 2.การจดจำผู้พูด(Speaker recognition)

ทั้งสองหัวข้อนี้เป็นการจดจำรูปแบบอย่างหนึ่ง การจดจำรูปแบบได้ถูกนำมาประยุกต์ใช้งานหลายๆด้าน เช่น การประมวลผลสัญญาณภาพ แต่ในที่นี้จะอธิบายถึงการจดจำรูปแบบที่เกี่ยวข้องกับการประมวลผลสัญญาณเสียงพูดเท่านั้น

7.2 การจดจำรูปแบบ(Pattern recognition)

การจดจำรูปแบบเป็นการเปรียบเทียบรูปแบบตรวจสอบ(test pattern) ซึ่งเป็นตัวแทนของสิ่งที่ไม่รู้ เพื่อแยกแยะหรือจดจำ กับรูปแบบอ้างอิง(reference pattern) 1 ตัวหรือหลายตัว ซึ่งได้รู้ลักษณะมาก่อนแล้ว

ในแต่ละรูปแบบจะอยู่ในรูปของเวกเตอร์ แต่ละสมาชิกของเวกเตอร์เป็นค่าที่วัดได้ของลักษณะเด่น(feature) ลักษณะเด่นเป็นลักษณะที่วัดได้ของลักษณะสัญญาณอินพุตและสามารถนำไปใช้ประโยชน์ในการจดจำรูปแบบได้ เช่น ในระบบการจดจำเสียงพูดแบบแยกคำ รูปแบบต่างๆจะเก็บอยู่ในรูปของกลุ่มฟังก์ชันเวลา เพราะค่าของแต่ละลักษณะนั้นวัดได้นั้นไม่ได้วัดที่จุดใดจุดหนึ่งของคำพูดแต่มาจากการวัดทั้งคำ รูปแบบเหล่านี้เราเรียกว่า ดัชนีแบบ(template)

ในระบบการจดจำจะมีการทำงานคล้ายตัวอย่างดังต่อไปนี้

-สมมุติว่า ระบบการจดจำผู้พูดเป็นระบบที่สร้างขึ้นสำหรับผู้พูด 50 คน เมื่อมีการพูดคำหรือวลี ระบบจะทำการประมวลผลสัญญาณเสียงพูดและดึงเอาลักษณะเด่นออกมา(โดยแยกคำและวัดค่า)เพื่อทำเป็นรูปแบบอ้างอิง ดังนั้นระบบนี้จึงมีไลบรารีของลักษณะเด่นที่สร้างขึ้นไว้ล่วงหน้า และเมื่อมีการพูดคำใหม่เข้ามา ระบบจะทำการเปรียบเทียบลักษณะเด่นที่ดึงออกมาจากคำพูดนั้นกับลักษณะเด่นที่เก็บไว้ในรูปแบบอ้างอิง และหาความคล้ายคลึงกันระหว่างคำพูดนั้นกับลักษณะเด่นที่เก็บไว้ในรูปแบบอ้างอิง ถ้าความคล้ายคลึงกันนั้นสูงพอ ระบบจะทำการระบุชื่อผู้พูดนั้นออกมา

บราจี้รูปแบบอ้างอิงอยู่ 50 แบบ เมื่อทำการเปรียบเทียบรูปแบบตรวจสอบจะถูกเปรียบเทียบับรูปแบบอ้างอิงในไลบรารีทั้งหมด เพื่อหารูปแบบอ้างอิงที่ใกล้เคียงกับรูปแบบตรวจสอบมากที่สุด เพื่อแยกแยะว่าเป็นผู้พูดคนใด

ระบบการจดจำอัตโนมัติ นอกจากจะใช้ในการจดจำคำพูดและผู้พูดแล้ว ยังอาจนำไปใช้งานด้านอื่นอีก โดยแยกสิ่งที่ไม่รู้ออกเป็นคลาส(class) เช่น ในระบบจดจำตัวเลข คลาสคือคำว่า {ศูนย์, หนึ่ง, สอง, สาม, ..., เก้า} ระบบจะมีไลบรารีของรูปแบบอ้างอิงในแต่ละคลาส ขบวนการจดจำจะทำการเปรียบเทียบความคล้ายคลึงของสัญญาณไม่รู้กับคลาสแต่ละคลาส เพื่อหารูปแบบที่ใกล้เคียงที่สุด

การทำงานของระบบการจดจำโดยทั่วไปมีอยู่ 2 ขั้นตอน ดังนี้

1. การเรียนรู้ (หรืออาจจะเรียกว่าการฝึกก็ได้) เป็นการรวบรวมไลบรารีของรูปแบบอ้างอิง
2. การจดจำ เป็นการนำไลบรารีที่สมบูรณ์แบบเปรียบเทียบกับอินพุทที่ไม่รู้

ในการเรียนรู้ ข้อมูลสำหรับแต่ละคลาสจะถูกป้อนเข้าระบบ ระบบจะทำการสร้างรูปแบบอ้างอิงหรือต้นแบบของแต่ละคลาส โดยการเฉลี่ยรูปแบบจำนวนมากแล้วนำมารวมกันเป็นไลบรารีโดยแยกเป็นคลาสต่างๆ ในการจดจำ ระบบจะทำการคำนวณรูปแบบของลักษณะเด่นของอินพุทที่ไม่รู้ และทำการตรวจสอบกับคลาสต่างๆ เพื่อหาคลาสที่มีรูปแบบอ้างอิงใกล้เคียงกับลักษณะเด่นที่ได้มากที่สุด

การออกแบบระบบการจดจำ มีปัญหาที่สำคัญอยู่ 2 ประการ คือ

1. การเลือกลักษณะเด่นและการคำนวณค่า
2. ทางเลือกของกฎการตัดสินใจ (decision rule)

ปัญหาแรกที่มีความสำคัญมากและยากมากกว่า เราจึงควรเริ่มต้นที่ปัญหาที่สองก่อน เอกสารนี้เป็นเอกสารที่สงวนไว้สำหรับการใช้งานเพื่อการศึกษาเท่านั้น ไม่อนุญาตให้นำไปใช้ประโยชน์ด้านการค้า เพราะมีแนวความคิดหลายอย่างซึ่งจะช่วยในการอธิบายในหัวข้อการเลือกลักษณะเด่น ไม่วากรณีใดๆทั้งสิ้น อีกทั้งยังมีเหตุตแปลงเนื้อหา และต้องอ้างอิงถึงเจ้าของเอกสารทุกครั้งที่มีการนำไปใช้

7.3 การจำเสียงพูด(Speech recognition)_

7.3.1 ประเภทของการจำเสียงพูด

การจำเสียงพูดโดยทั่วไปนิยมแบ่งออกเป็น 4 กลุ่ม โดยเรียงลำดับตามความยาก ดังต่อไปนี้

1.การจำแบบแยกคำ(Isolated-word recognition) เป็นการจำโดยต้องมีช่วงหยุดของแต่ละคำ

2.การจำเฉพาะคำ(Word spotting) ตรวจจับคำเฉพาะใดๆที่ปรากฏในประโยคนั้น

3.การจำแบบต่อเนื่อง(Connected speech recognition) จดจำคำพูดได้ทั้งประโยค โดยไม่ต้องมีช่วงหยุดระหว่างคำ

4.การเข้าใจเสียงพูด(Speech understanding) เป็นแบบสมบูรณ์ของกลุ่มที่3 โดยสร้างแหล่งข้อมูลของการออกเสียงและหลักของภาษานั้น จุดประสงค์หลักก็คือ การพูดที่ไม่ต้องถูกต้องมากนัก แต่ให้เข้าใจความหมายของประโยคนั้นได้ ในทางทฤษฎี ระบบเข้าใจเสียงพูด จะตัดทอนเอาเฉพาะความหมายของประโยค โดยไม่เข้มงวดเรื่องไวยากรณ์

7.3.2 การจำแบบแยกคำ(Isolated-word recognition)

การจำแบบแยกคำ เป็นจุดเริ่มต้นของการพัฒนาการจำเสียงพูด จนเป็นการจำเฉพาะคำและการจำแบบต่อเนื่องตามลำดับ ช่วงหยุดของแต่ละคำพูดทำให้การจดจำคำง่ายขึ้น เพราะสามารถแยกแยะจุดสิ้นสุดของแต่ละคำ(หมายรวมถึงจุดเริ่มต้นและจุดสิ้นสุดของคำนั้น) ทำให้ผลที่เกิดจากความไม่ชัดเจนของการพูดลดน้อยลงไปได้มาก การจำแบบแยกคำขณะที่ออกเสียงจะต้องระมัดระวังอย่างมาก เพราะต้องการช่วงหยุดระหว่างการพูดแต่ละคำ ทำให้การพูดขาดความไพเราะของภาษาไป ไม่เหมือนกับวิธีการอื่นๆ ซึ่งสามารถพูดเป็นธรรมชาติได้มากกว่าและใช้ความระมัดระวังในการพูดน้อยกว่า

เอกสารนี้เป็นเอกสารที่สงวนไว้สำหรับการใช้งานเพื่อการศึกษาเท่านั้น ไม่อนุญาตให้นำไปใช้ประโยชน์ด้านการค้า
ไม่ว่ากรณีใดๆทั้งสิ้น อีกทั้งห้ามมิให้ดัดแปลงเนื้อหา และต้องอ้างอิงถึงเจ้าของเอกสารทุกครั้งที่มีการนำไปใช้

การจำแนกแบบแยกค่า มีหลักการการจดจำโดยใช้ลักษณะของสัญญาณเสียงพูด ดังต่อไปนี้

1. ขนาดหรือกำลังต่อเวลา
2. อัตราตัดผ่านศูนย์ (zero-crossing rate)
3. สมดุลย์กลุ่มความถี่รวม (gross spectrum balance) เป็นการเปรียบเทียบพลังงานของกลุ่มความถี่สูงกับกลุ่มพลังงานความถี่ต่ำ
4. ความถี่สำคัญ อาจมาในรูปของ
 - ก. ความถี่จากการแปลง DFT
 - ข. F1, F2, F3
 - ค. พารามิเตอร์ LPC หรือสัมประสิทธิ์ PARCOR
 - ง. เสาที่พุกของฟิลเตอร์แบงค์ (filter-bank) วิธีนี้เป็นวิธีที่นิยมกันที่สุด เพราะราคาถูกและความเร็วสูงขนาดนอกจากเป็นตัวบอกจุดสิ้นสุดของแต่ละค่า และยังเป็นตัวชี้ความแตกต่างของพยางค์และสระอีกด้วย

7.3.3 การตรวจจับจุดสิ้นสุด (Endpoint detection)

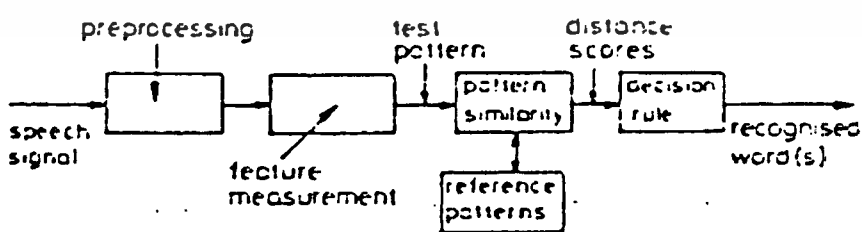
ปัญหาพื้นฐานของระบบจดจำเสียงพูด คือ เสียงที่เปล่งออกมาในขณะที่ตรวจสอบนั้น อาจจะไม่เหมือนกันตอนที่เรารู้สำเนาไป เสียงที่เปล่งออกมา 2 ครั้ง จะมีระยะเวลาที่ต่างกัน และระยะระหว่างการออกเสียงที่ไม่แน่นอน หมายความว่าคุณสมบัติที่ขึ้นกับเวลาจะทำให้การเปรียบเทียบไม่สามารถทำได้ เพราะค่าอ้างอิงกับค่าที่มาเปรียบเทียบเวลาจะต่างกัน ในกรณีเช่นนี้ ถึงแม้ว่าจะเปรียบเทียบกับค่าที่ไม่รู้ก็ในรูปแบบที่ถูกต้องของตัวเองแล้วก็ตาม แต่ก็อาจจะให้ผลแตกต่างได้พอๆกับที่เปรียบเทียบกับรูปแบบอ้างอิงของค่าอื่น ซึ่งจะเป็นปัญหา ถ้าค่าที่ถูกเปรียบเทียบเป็นการเปรียบเทียบทั้งค่าต้นแบบ แทนที่จะเปรียบเทียบบางส่วนของค่าโดยการเปรียบเทียบส่วนต่อส่วน ความจริงแม้ในระหว่างเสียงสองเสียงที่ใช้ในการเรียนรู้ รายละเอียดของเวลายังต่างกันเลย เมื่อเก็บข้อมูลเสียงจากหลายคน จึงต้องทำการเฉลี่ยในระหว่างที่การเรียนรู้ก่อนนำไปเปรียบเทียบ ในขั้นตอนการจดจำจะไม่มีผู้ใช้

ในหลายๆกรณี ความแม่นยำของการปรับจะขึ้นอยู่กับความแม่นยำของการแสดงจุดสิ้นสุดของคำ ความผิดพลาดในการจดจำจุดเริ่มต้น และจุดสิ้นสุดของคำจะทำให้เกิดความยุ่งยากขึ้น โดยความผิดพลาดของจุดสิ้นสุดจะเกิดขึ้น ในคำที่เริ่มต้นและลงท้ายด้วยพยางค์ที่ออกเสียงเบา ผู้พูดบางคนอาจจบประโยคด้วยเสียงสั้น พยางค์เสียงสั้นนี้จะทำให้เกิดความผิดพลาดในการเปรียบเทียบคำ

ในห้องทดลอง การจดจำจุดสิ้นสุดอาจทำได้ง่าย เพราะข้อมูลเสียงพูดถูกรวบรวมภายใต้การควบคุมสภาวะ เพื่อหาจุดสิ้นสุด ยิ่งกว่านั้น ผู้พูดที่บันทึกข้อมูลในห้องทดลอง จะทำด้วยความระมัดระวัง แต่นอกห้องทดลอง ไม่ได้เป็นอย่างนั้น เสียงพูดจะมีการรบกวนจากรอบข้างเพราะไม่มีการควบคุมสภาวะ และผู้พูดไม่มีแรงจูงใจที่จะช่วยในการจดจำ

คุณสมบัติหลักของจุดสิ้นสุด คือพลังงานดังนั้นวิธีง่ายๆที่ใช้ในการตรวจจับจุดสิ้นสุด ก็คือ การเปรียบเทียบพลังงานของสัญญาณกับค่าหรือระดับที่ตั้งไว้ โดยตรวจสอบจุดเริ่มต้นของคำจากตำแหน่งของค่าที่มีพลังงานเริ่มมากกว่าระดับที่ตั้งไว้ และจุดสิ้นสุดจากตำแหน่งของค่าที่มีพลังงานต่ำกว่าระดับที่ตั้งไว้ ค่าระดับที่ตั้งไว้นี้ต้องมีความเข้มระดับหนึ่ง ถ้าความแรงของสัญญาณเสียงพูดอ่อน อาจจะต้องตั้งระดับต่างๆ

7.4 ระบบจดจำเสียงพูดแบบแยกคำและไม่ขึ้นกับผู้พูด ด้วยเทคนิค DTW



รูปที่ 7.1 แสดงแบบจำลองของการจดจำรูปแบบในการจดจำเสียงพูด

เอกสารนี้เป็นเอกสารที่สงวนไว้สำหรับการใช้งานเพื่อการศึกษาเท่านั้น ไมอนุญาตให้นำไปใช้ประโยชน์ด้านการค้า
ไม่ว่ากรณีใดๆทั้งสิ้น อีกทั้งห้ามมิให้ดัดแปลงเนื้อหา และต้องอ้างอิงถึงเจ้าของเอกสารทุกครั้งที่มีการนำไปใช้

รูปที่ 7.1 ได้แสดงแบบจำลองของการจดจำรูปแบบของสัญญาณเสียงพูด ซึ่งมีลักษณะการทำงาน 2 อย่าง คือ การฝึก และการตรวจสอบ การฝึกเป็นการสอนศัพท์ให้กับระบบจดจำเสียงพูด โดยใช้ค่าเฉลี่ยของแต่ละคำ เป็นตัวแทนหรือต้นแบบอ้างอิง(reference template) ของคำนั้น การเฉลี่ยค่าคำเดิวนั้นหลายครั้ง หลังจากการปรับแนวเวลา(time alignment) เป็นวิธีการอย่างหนึ่งเพื่อให้ได้ต้นแบบอ้างอิงตามที่ต้องการ

ในการตรวจสอบหรือการจดจำ เป็นการเปรียบเทียบค่าที่ไม่รู้กับต้นแบบอ้างอิงที่เก็บไว้แล้ว เมื่อเปล่งเสียงออกมา คำพูดนั้นจะถูกบันทึกโดยผ่านตัวกรองความถี่ต่ำผ่าน(bandpass filter) ลดทอนสัญญาณความถี่ต่ำและจำกัดช่วงความถี่ เพื่อป้องกันความผิดเพี้ยนของสัญญาณจากการสุ่มเชิงเลข(digitize) หลังจากนั้น ค่าที่เปล่งออกมาจะถูกแยกช่วงสัญญาณที่ไม่มีเสียงพูด(silence)ออกไป และมีการตรวจสอบจุดสิ้นสุดของแต่ละคำ เพื่อสะดวกต่อการประมวลผลต่อไป แทนที่จะเก็บค่าที่พูดออกมาทั้งหมด พารามิเตอร์เสียงพูด(speech parameter) ที่เป็นลักษณะเด่นของคำนั้นจะถูกแยกออกมา ในขั้นตอนนี้ต้องทำการลดขนาดของพารามิเตอร์ที่แยกได้ เพื่อทำการเปรียบเทียบกับรูปแบบอ้างอิง(reference pattern) หรือรูปแบบที่ใกล้เคียงกับรูปแบบของค่าที่ตรวจสอบมากที่สุด วิธี NN(nearest neighbour) และKNN(K nearest neighbour) เป็นกฎการตัดสินใจ(decision rule)ที่นิยมกันมากที่สุด

โดยทั่วไป ผู้พูดไม่สามารถพูดซ้ำคำเดิมให้เหมือนเดิมทุกอย่างได้ ผลที่ได้คือช่วงของเสียงพูดที่เกิดขึ้นในเวลาใดๆ T_r อาจเกิดขึ้นที่เวลาต่างกับเวลา T_t ของแบบตรวจสอบ(test pattern) ทำให้เกิดปัญหาในการเปรียบเทียบกับรูปแบบวิธีการหนึ่งที่จะเอาชนะปัญหาย่างนี้ได้ ก็คือการเปลี่ยนอัตราส่วนแกนเวลาของรูปแบบตรวจสอบแบบไม่เชิงเส้น เพื่อให้ตรงกับรูปแบบอ้างอิงให้มากที่สุด วิธีนี้เรียกว่า DTW(dynamic time warping) ซึ่งเป็นวิธีที่รู้จักกันมากที่สุด

บทที่ 8

วงจรและโปรแกรมควบคุมการทำงาน

8.1อธิบายการทำงานของวงจรแต่ละส่วน

8.1.1 ส่วนดีโค้ดพอร์ท (DECODE PORT)

ในส่วนนี้ใช้ 74138 3 line to 8 line decoder เป็นตัว decode port โดยที่ port 300-303 decode ไปที่ 8255 และ port 304 decode ไปยัง A/D รายละเอียดแสดงดังตาราง

เลขพอร์ท	หน้าที่การทำงาน
300h	D/A converter (port A 8255)
301h	control signal (port B 8255)
302h	not used (port C 8255)
303h	control port 8255
304h	A/D converter

8.1.2 พอร์ทขนาน (PARALLEL PORT) 8255

ใช้เป็นตัวส่งผ่านข้อมูล โดยโหมดการทำงานเป็นโหมด 0 โดยมีการทำงานของแต่ละ port ดังนี้

- พอร์ท A เป็น เอาท์พุท ที่ส่งข้อมูลไปยัง ตัวเปลี่ยนสัญญาณดิจิทัลเป็นอนาลอก
- พอร์ท B เป็น เอาท์พุท ที่ใช้ส่งสัญญาณควบคุมการทำงานของวงจรในการ์ด
- พอร์ท C ไม่ได้ใช้งาน

8.1.3 เฟสล็อกลูป 4046(CMOS 4046 phase lock loop)

4046 จะทำหน้าที่เป็น VCO(voltage control oscillator) สร้าง

สัญญาณสุ่ม โดยสามารถปรับอัตราการสุ่ม(sampling rate) ที่ VR2 ได้ตั้งแต่ 10k-100kHz เอกสารนี้เป็นเอกสารที่สงวนไว้สำหรับการใช้งานเพื่อการศึกษาเท่านั้น ไม่นิยมนำไปใช้ประโยชน์ด้านการค้า ไม่วากรมใดๆทั้งสิ้น อีกทั้งห้ามมิให้ดัดแปลงเนื้อหา และต้องอ้างอิงถึงเจ้าของเอกสารทุกครั้งที่มีการนำไปใช้

8.1.4 ส่วนแปลงสัญญาณอนาลอกเป็นสัญญาณดิจิทัล (A/D)

A/D converter ที่ใช้เป็นเบอร์ adc0820ซึ่งมีคุณสมบัติดังนี้

-ดิจิทัลเอาต์พุต 8bit หรือ มีความละเอียด 256 ระดับ ดังนั้นการผิดพลาดควอนไทซ์ซึ่ง (quantizing error หรือความผิดพลาดในการเปลี่ยนค่าจากสัญญาณอนาลอก เป็นสัญญาณดิจิทัล จึงอยู่ระหว่าง $+0.5/256$ และ $-0.5/256$

-ช่วงเวลาในการเปลี่ยน (conversion-time) หรือเวลาที่ใช้ในการแปลงสัญญาณอนาลอกเป็นสัญญาณดิจิทัล ประมาณ 1.5 μ sec. ซึ่งเป็นความเร็วที่สูง เนื่องการทำงานของ adc0820 ที่เป็นแบบ half_flash โดยแบ่งเป็น flash A/D 2 ชุด ชุดละ 4 บิต แล้วนำเอาท์จาก flash A/D แต่ละชุดมาเข้า successive approximation A/D อีกครั้งหนึ่ง

ในวงจรนี้ adc0820 จะทำงานในโหมด write ซึ่งมีลักษณะการทำงานดังนี้

-เมื่อมีสัญญาณนาฬิกา (clock) จาก 4046 มาเข้าที่ขา write ของ adc0820 สัญญาณอนาลอกที่ขา V_{in} จะถูกแปลงเป็นสัญญาณดิจิทัล เมื่อแปลงสัญญาณเสร็จแล้ว จะเก็บไว้ที่บัฟเฟอร์ที่เอาท์พุทและมีสัญญาณอินเทอร์พท์ออกมาที่ขา int ซึ่งสัญญาณอินเทอร์พท์นี้จะไปอินเทอร์พท์คอมพิวเตอร์ให้มารับข้อมูล โดยการส่งสัญญาณ read เมื่อ adc0820 ได้รับสัญญาณ read ที่ขา-read แล้ว ข้อมูลที่บัฟเฟอร์จะออกมาที่บัสข้อมูล คอมพิวเตอร์ก็จะรับข้อมูลไปเก็บไว้

8.1.5 ส่วนกรองความถี่สัญญาณ

เป็นส่วนที่ใช้ขจัดสัญญาณที่ไม่ต้องการออกไป ในวงจรนี้ใช้ เป็นตัวกรองสัญญาณที่ไม่ได้อยู่ในช่วง 300 - 3 กิโลเฮิร์ตออกไป นั่นคือสัญญาณที่เราต้องการและนำไปใช้จะอยู่ในช่วงนี้เท่านั้น ซึ่งในช่วงดังกล่าวเป็นช่วงความถี่ของเสียงคนโดยทั่วไปที่เราจะต้องนำมาใช้งานต่อไป ในส่วนของการคำนวณ จะกล่าว เอกสารนี้เป็นเอกสารที่สงวนไว้สำหรับการใช้งานเพื่อการศึกษาเท่านั้น ไม่นิยามให้ไปใช้ประโยชน์ด้านการค้า
ในหัวข้อต่อไป
ไม่ว่ากรณีใดๆทั้งสิ้น อีกทั้งห้ามมิให้คัดแปลงเนื้อหา และต้องอ้างอิงถึงเจ้าของเอกสารทุกครั้งที่มีการนำไปใช้

8.1.6 ส่วนแปลงสัญญาณดิจิทัลเป็นสัญญาณอนาล็อก (D/A)

ใช้ D/A เบอร์ dac0808-8bit D/A Converter ทำหน้าที่แปลงสัญญาณข้อมูลดิจิทัลที่ส่งมาจาก parallel port 8255 ให้เป็นสัญญาณอนาล็อก เพื่อส่งต่อไปยัง output ซึ่งเป็นลำโพงแปลงสัญญาณเป็นเสียงอีกต่อหนึ่ง

dac0808 มีคุณสมบัติดังนี้

-ความละเอียด = $1/256$

-maximum output error ไม่เกิน $1/2$ เท่าของความละเอียด

-setting time หรือเวลาที่ใช้ในการเปลี่ยนสัญญาณ เมื่อเปลี่ยนสัญญาณจะเกิดการออสซิลเลชันช่วง $1/2$ เท่าของความละเอียดก่อนจะถึงค่าที่ถูกต้อง

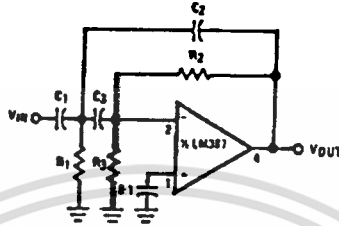
8.1.7 ส่วนวงจรลิมิตเตอร์และวงจรระดับสัญญาณ

เนื่องจากวอลต์เดจที่เข้า A/D จะต้องไม่เกินของ $V_{ref}(+)$ และ $V_{ref}(-)$ เพราะจะทำให้วงจรภายในของตัว adc0820 เสียหายได้ ดังนั้นจึงต้องมีวงจรถัดวอลต์เดจ เพื่อป้องกันการเสียหายของ adc0820 เมื่อสัญญาณเสียงมีขนาดใหญ่มากเกินค่าของ $V_{ref}(+)$ และ $V_{ref}(-)$ ในกรณีนี้ ตั้ง $V_{ref}(+)$ เท่ากับ 5V และ $V_{ref}(-)=0V$

เนื่องจากตั้งระดับของ V_{ref} ไว้ระหว่าง 0-5V จึงจำเป็นต้องยกระดับสัญญาณเสียงก่อนเข้า A/D ขึ้น 2.5 volt (จากเต็มสเกล 5 volt) เพื่อให้รับสัญญาณได้เต็มสเกลที่ตั้งไว้

8.2 การออกแบบและการคำนวณ ส่วนกรองความถี่สัญญาณ

8.2.1 ส่วนกรองความถี่สูงผ่าน (HIGHPASS FILTER)



รูปที่ 8.1 วงจรกรองความถี่สูงผ่าน

เมื่อ $\omega_c = 2\pi f_c$ ซึ่งเราจะหาค่า ω_0 ได้โดยใช้สมการ (8.2.1)

และค่านวนค่า Q โดยใช้สมการ (8.2.2) หรือใช้ตาราง (8.2.1)

เมื่อ $C_1 = C_3$

$$\omega_c = \omega_0 / \beta \quad (8.2.1)$$

$$\beta = \sqrt{(1 - (1/2Q^2))} + \sqrt{(1 - (1/2Q))^2 + 1} \quad (8.2.2)$$

Q	ω_c Low-Pass	ω_c High-Pass
0.707*	1.000 ω_0	1.000 ω_0
1	1.272 ω_0	0.786 ω_0
2	1.498 ω_0	0.668 ω_0
3	1.523 ω_0	0.657 ω_0
4	1.537 ω_0	0.651 ω_0
5	1.543 ω_0	0.648 ω_0
10	1.551 ω_0	0.645 ω_0
100	1.554 ω_0	0.644 ω_0

* Butterworth

เอกสารนี้เป็นเอกสารที่สงวนไว้สำหรับการใช้งานเพื่อการศึกษาเท่านั้น ไม่อนุญาตให้นำไปใช้ประโยชน์ด้านการค้า
 ตาราง 8.2.1 แสดงค่า ω_c กับ Q
 ไม่ว่าจะกรณีใดๆทั้งสิ้น อีกทั้งห้ามมิให้ดัดแปลงเนื้อหา และต้องอ้างอิงถึงเจ้าของเอกสารทุกครั้งที่มีการนำไปใช้

$$\text{เมื่อ } C_1 = \frac{Q}{W_0 R_2} \quad (8.2.3)$$

$$C_2 = \frac{C_1}{A_0} \quad (8.2.4)$$

$$R_1 = \frac{1}{Q W_0 C_1 (2A_0 + 1)} \quad (8.2.5)$$

ต้องการ กรองความถี่ที่สูงกว่า 300 เฮิร์ตผ่าน โดยเลือกค่า $Q = 0.707$ และ อัตราขยาย (A_0) = 1 โดยดูจากร่าง (8.2.1) ซึ่งจะได้อัตรา

$$W_0 = W_c$$

$$\text{เลือกค่า } R_3 = 240K$$

$$\begin{aligned} R_2 &= ((V_s/2.6) - 1) R_3 = ((24/2.6) - 1) 240K \\ &= 1.98 * 10^6 \text{ กิโลโห์ม} \end{aligned}$$

เลือกค่า R_2 เท่ากับ 2 เมกกะโห์ม

เมื่อให้ค่า $C_1 = C_3$ ดังนั้นจากสมการ (8.2.3) จะได้อัตรา

$$\begin{aligned} C_1 &= \frac{(0.707)(2A_0)}{(2\pi)(300)(2 * 10^6)} \\ &= 5.62 * 10^{-10} \text{ F} \end{aligned}$$

$$\text{ดังนั้นเลือกค่า } C_1 = 560 \text{ pF}$$

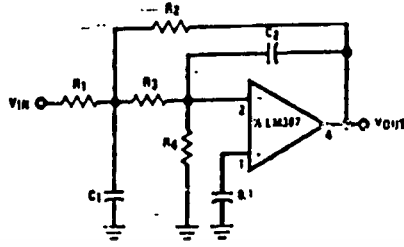
$$C_1 = C_3 = 560 \text{ pF}$$

จากสมการ (8.5.6)

$$\begin{aligned} R_1 &= \frac{1}{(0.707)(2\pi)(300)(5.6 * 10^{-10})} \\ &= 446 \text{ กิโลโห์ม} \end{aligned}$$

เอกสารนี้เป็นเอกสารที่สงวนไว้สำหรับการใช้งานเพื่อการศึกษาเท่านั้น ไม่อนุญาตให้นำไปใช้ประโยชน์ด้านการค้า
เลือกค่า $R_1 = 430$ กิโลโห์ม
ไม่ว่ากรณีใดๆทั้งสิ้น อีกทั้งห้ามมิให้ตัดแปลงเนื้อหา และต้องอ้างอิงถึงเจ้าของเอกสารทุกครั้งที่มีการนำไปใช้

8.2.2 ส่วนกรองความถี่ต่ำผ่าน (LOWPASS FILTER)



รูปที่ 8.2 วงจรกรองความถี่ต่ำผ่าน

$F_c = 3 \text{ KHz}$ $\omega_c = 2\pi f_c$ ใช้ค่า $Q = 0.707$ จะได้ $\omega_0 = \omega_c$ ที่ $A_0 = 1$

$$K = \frac{1}{4Q^2(A_0+2)} \tag{8.2.7}$$

$$C_2 = KC_1 \tag{8.2.8}$$

$$R_2 = \frac{1}{2Q\omega_0 C_1 K} \tag{8.2.9}$$

$$R_3 = \frac{R_2}{A_0+1} \tag{8.2.10}$$

$$R_1 = \frac{R_2}{A_0} \tag{8.2.11}$$

$$R_4 = \frac{R_2 + R_3}{((V_s/2.6)-1)} \tag{8.2.12}$$

จากค่าที่กำหนดให้สามารถหาค่า R C ได้ดังต่อไปนี้

$$K = \frac{1}{4(0.707)^2(1+1)} = 0.25$$

เลือกค่า $C_1 = 560 \text{ pF}$

ดังนั้น จะได้ $C_2 = KC_1 = 0.25(560 \text{ pF})$

เอกสารนี้เป็นเอกสารที่สงวนไว้สำหรับการใช้งานเพื่อการศึกษาเท่านั้น ไม่อนุญาตให้นำไปใช้ประโยชน์ด้านการค้า
 = 140 pF
 ไม่ว่ากรณีใดๆทั้งสิ้น อีกทั้งห้ามมิให้ดัดแปลงเนื้อหา และต้องอ้างอิงถึงเจ้าของเอกสารทุกครั้งที่มีการนำไปใช้

เลือกใช้ค่า C_2 เท่ากับ 150 pF

$$R_2 = \frac{1}{(2)(0.707)(2\pi)(3\text{KHz})(560 \text{ pF})(0.25)}$$
$$= 267.99 \text{ กิโลโห์ม}$$

เลือกใช้ค่า R_2 เท่ากับ 270 กิโลโห์ม

$$R_3 = \frac{R_2}{A_0+1} = \frac{270\text{K}}{(1+1)}$$
$$= 135 \text{ กิโลโห์ม}$$

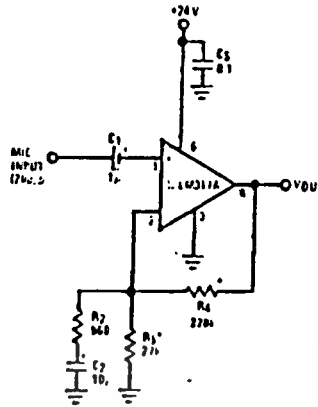
เลือกใช้ค่า R_3 เท่ากับ 130 กิโลโห์ม

$$R_1 = R_2 / 1 = R_2 = 270 \text{ กิโลโห์ม}$$
$$R_4 = \frac{270\text{K} + 130\text{K}}{((24/2.6)-1)} = 48.59 \text{ K}$$

เลือกใช้ค่า R_4 เท่ากับ 47 กิโลโห์ม

ดังนั้นเมื่อนำทั้งสองวงจรมารวมกันจะได้วงจรกรองสัญญาณที่ยอมให้ช่วงความถี่ตั้งแต่ 300 เฮิร์ต จนถึง 3 กิโลเฮิร์ตผ่านไปได้

8.2.3 การคำนวณค่า R,C ค่าต่างๆาน ปริแอมป์ (pre- amp)



รูปที่ 8.3 แสดงวงจร ปริแอมป์

$$R_4 = ((V_S/2.6) - 1)R_S$$

R_5 = มีค่าสูงสุดได้ 240 กิโลโอม์

โวลต์เตจเกน ของวงจร (A_{vac}) = $1 + (R_4/R_5)$ เมื่อ $R_5 \gg R_6$

$$C_2 = \frac{1}{2\pi f_0 R_6}$$

$$C_C = \frac{1}{2\pi f R_L}$$

เมื่อ f_0 คือ ค่าความถี่คัตออฟที่ความถี่ต่ำ

8.3 โปรแกรมควบคุมการทำงานของการ์ด

โปรแกรมมีโหมดการทำงานดังนี้

8.3.1 direct out mode

การทำงานของโหมดจะทำการรับข้อมูลจาก A/D port เมื่อได้รับการอินเทอร์พท์จาก ADC0820 และส่งผ่านไปยัง D/A port โดยตรง โดยไม่มีการเก็บข้อมูลไว้ในบัฟเฟอร์

8.3.2 record mode

การทำงานในโหมดนี้ โปรแกรมจะทำการบันทึกข้อมูลจาก A/D port ลงในบัฟเฟอร์ ซึ่งจ้องเนื้อที่หน่วยความจำของคอมพิวเตอร์ไว้เท่ากับที่ตั้งไว้ โดยโปรแกรมจะทำการบันทึกข้อมูลลงในบัฟเฟอร์ทันทีที่ได้รับข้อมูลจาก A/D port โดยไม่ต้องรอให้ข้อมูลครบก่อนถึงบัฟเฟอร์

แกรมจะออกจากโหมดการทำงานเอง เมื่อบันทึกข้อมูลครบตามที่ได้ตั้งไว้

ระยะเวลาการบันทึกข้อมูลขึ้นอยู่กับอัตราการสุ่มที่ตั้งไว้ที่ VR2 โดยมีสูตรการคำนวณดังนี้

$$\text{ระยะเวลาในการบันทึก} = \text{ขนาดของบัพเพอร์} / \text{อัตราการสุ่ม}$$

8.3.3 save mode

ทำหน้าที่เก็บข้อมูลในบัพเพอร์ลงานดิสเกตต์ โดยทำการเก็บครั้งละ 64 kbyte ต่อหนึ่งไฟล์

8.3.4 load mode

ทำหน้าที่โหลดข้อมูลจากไฟล์ที่ต้องการและนำไปเก็บไว้ในบัพเพอร์ 64 kbyte ซึ่งเป็นที่เดียวกับในโหมด record

8.3.5 FFT(fast fourier transform)

จะนำข้อมูลจำนวนจริงที่เก็บไว้ในบัพเพอร์ มาเข้าขบวนการของ FFT ซึ่งจะนำข้อมูลออกมาในรูปแบบคอมเพล็กซ์ (complex) ซึ่งจะมีทั้งจำนวนจริงและจำนวนจินตภาพ โดยเก็บจำนวนจริงไว้ใน rl_array และเก็บจำนวนจินตภาพไว้ใน im_array ในรูปแบบของ floating point ดังนั้น array แต่ละตัวจะใช้นิเื่อที่หน่วยความจำเท่ากับสี่เท่าของขนาดบัพเพอร์ใน time domain เนื่องจากหน่วยความจำของคอมพิวเตอร์ไม่เพียงพอที่จะแปลงข้อมูลใน time domain จึงต้องใช้นิเวศน์แปลงข้อมูลเป็นช่วง อาจจะเป็น 256 จุด หรือ 512 จุด

8.3.6 plot graph in time domain mode

การทำงานในโหมดกราฟฟิกของโปรแกรมนี้ จะทำงานโหมดความละเอียดสูงสุดของจอภาพแต่ละชนิด

การทำงานในโหมดนี้ทำหน้าที่พล็อตกราฟของสัญญาณอินพุตใน time domain ซึ่งก็คือข้อมูลที่เก็บไว้ในบัพเพอร์ใน record mode หรือ load mode

8.3.7 plot magnitude in frequency domain

นำข้อมูลที่ผ่านขบวนการ FFT มาหาขนาด ซึ่งหาได้จาก

$$\text{magnitude} = \sqrt{(\text{real part})^2 + (\text{imaginary part})^2}$$

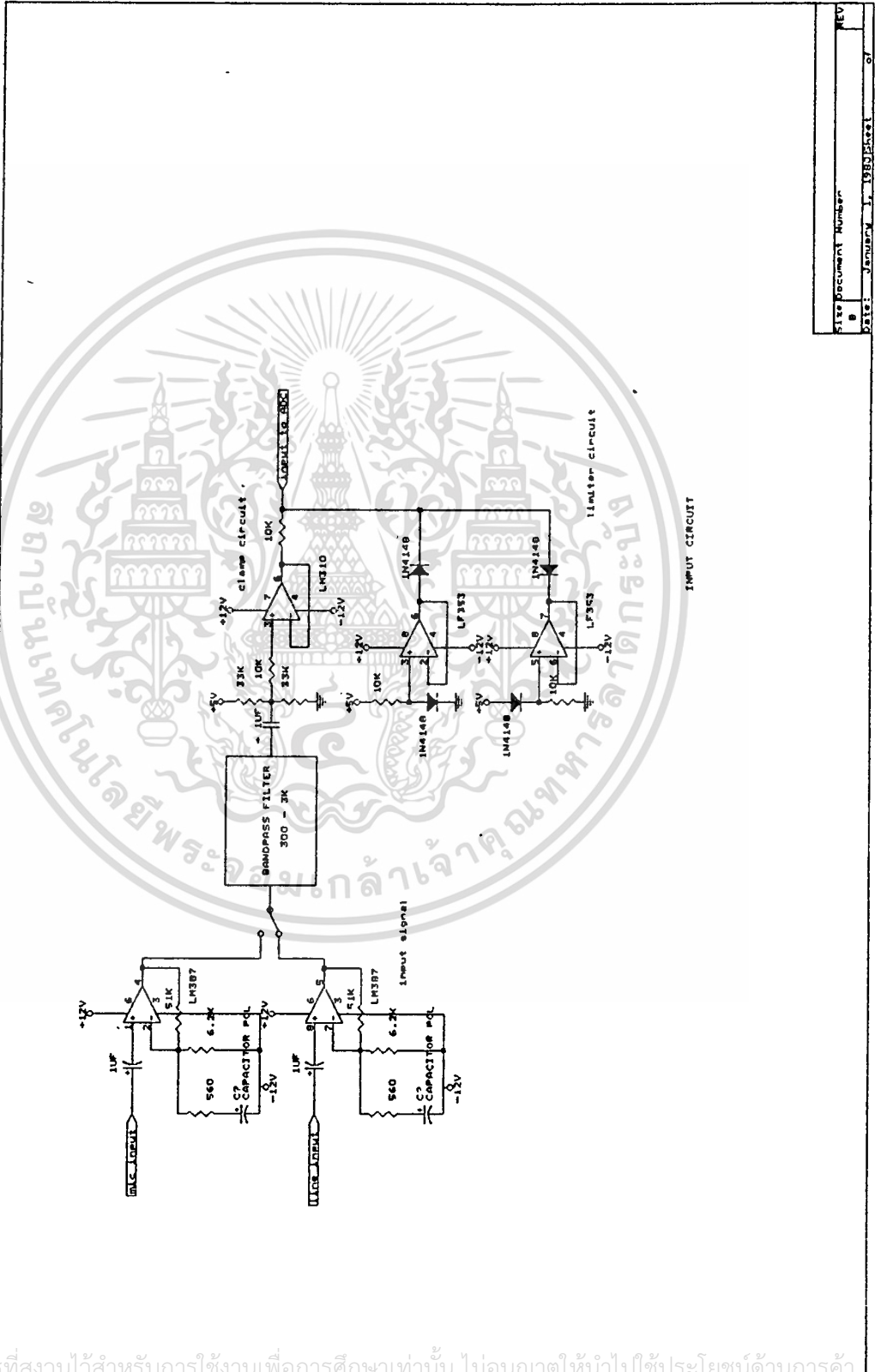
8.3.8 plot phase in frequency domain

นำข้อมูลที่ผ่านขบวนการ FFT มาหาเฟส ซึ่งหาได้จาก

$$\text{phase} = \tan^{-1}(\text{imaginary part}/\text{real part})$$

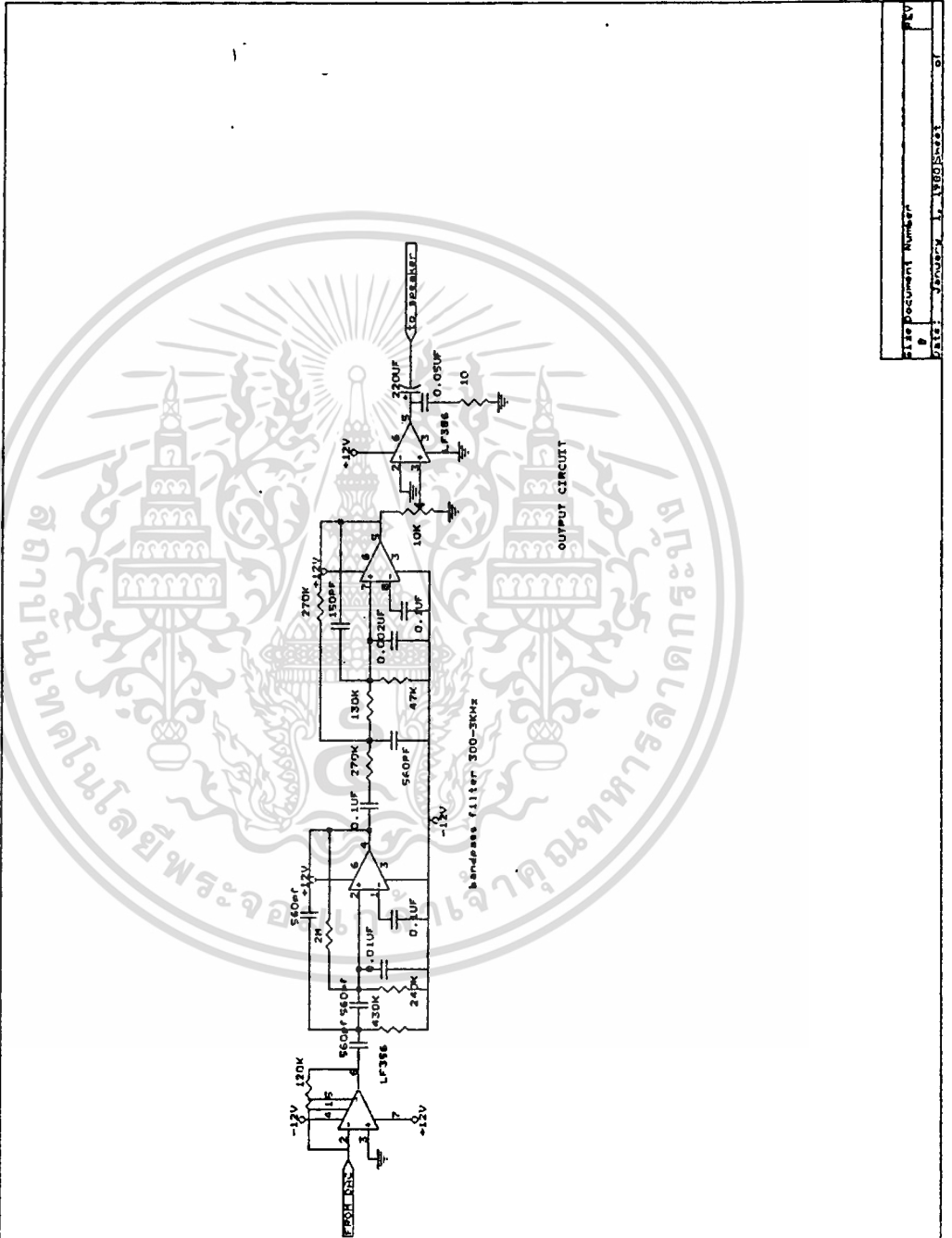
โดยมีค่าอยู่ระหว่าง π และ $-\pi$





REV	
SIZE	Document Number
B	
Date:	January 1, 1989
	Page 1 of 1

เอกสารนี้เป็นเอกสารที่สงวนไว้สำหรับการใช้งานเพื่อการศึกษาเท่านั้น ไม่อนุญาตให้ทำไปให้ประโยชน์ด้านการค้า
ไม่ว่ากรณีใดๆทั้งสิ้น อีกทั้งห้ามมิให้ดัดแปลงเนื้อหา และต้องอ้างอิงถึงเจ้าของเอกสารทุกครั้งที่มีการนำไปใช้



เอกสารนี้เป็นเอกสารที่สงวนไว้สำหรับการใช้งานเพื่อการศึกษาเท่านั้น ไม่อนุญาตให้นำไปใช้ประโยชน์ด้านการค้า
ไม่ว่ากรณีใดๆทั้งสิ้น

บทที่ 9

การทดลองและผลการทดลอง

9.1 การทดลองและผลการทดลองในภาคเรียนที่ 1

ในภาคเรียนที่ 1 ผู้จัดทำได้ทดลองทำการ์ดที่ใช้อินเตอร์เฟสกับเครื่องไมโครคอมพิวเตอร์ ตระกูล 8086 โดยดัดแปลงบนการ์ดต้นแบบ (prototype card) แต่ต้องประสบกับปัญหาใหญ่อยู่สองประการ คือ

1. เครื่องที่ทดลองมีความเร็วของการทำงานต่ำ ทำให้คอมพิวเตอร์รับอินเทอร์รัพท์ไม่ทัน

2. ปัญหาที่เกิดจากการจองหน่วยความจำของโปรแกรมภาษา C (ผู้จัดทำใช้ TurboC 2.0) ซึ่งมีความยุ่งยากมาก

งานในภาคเรียนที่ 1 จึงยังเก็บข้อมูลไม่ได้ ทำให้ไม่สามารถวิเคราะห์สัญญาณเสียงพูดได้ ผู้จัดทำจึงทดลองจำลองสัญญาณขึ้นมาใช้เอง เพื่อสังเกต ผลลัพธ์ที่ได้หลังจากผ่าน FFT และ inverse FFT โดยใช้สัญญาณไซน์, โคไซน์ สัญญาณคลื่นสี่เหลี่ยม และสัญญาณสามเหลี่ยม โดยแสดงผลที่ได้บนจอภาพคอมพิวเตอร์

จากการทดลองพบว่า

1. FFT สามารถบอกความถี่ของสัญญาณอินพุตได้อย่างถูกต้อง เมื่อจำนวน N ที่ใช้ใน FFT เป็นจำนวนเท่าของจำนวนจุดสุ่มในหนึ่งคาบเวลา (ดูรายละเอียดได้จากทฤษฎี) แต่เมื่อไม่เป็นจำนวนเท่า ผลลัพธ์ของ FFT ที่ได้จะปรากฏลอนข้าง (side lobe)

2. เมื่อทำการต่อเติมศูนย์ (Appending Zero) ให้กับข้อมูลที่จะทำการแปลง เพื่อให้ได้จำนวนเท่ากับ 2^N ก่อนเข้า FFT พบว่าผลลัพธ์ที่ได้จะให้ความละเอียดของความถี่มากขึ้นทำให้เห็นของรูปคลื่น หลังจากผ่าน inverse FFT ได้ชัดเจนขึ้น

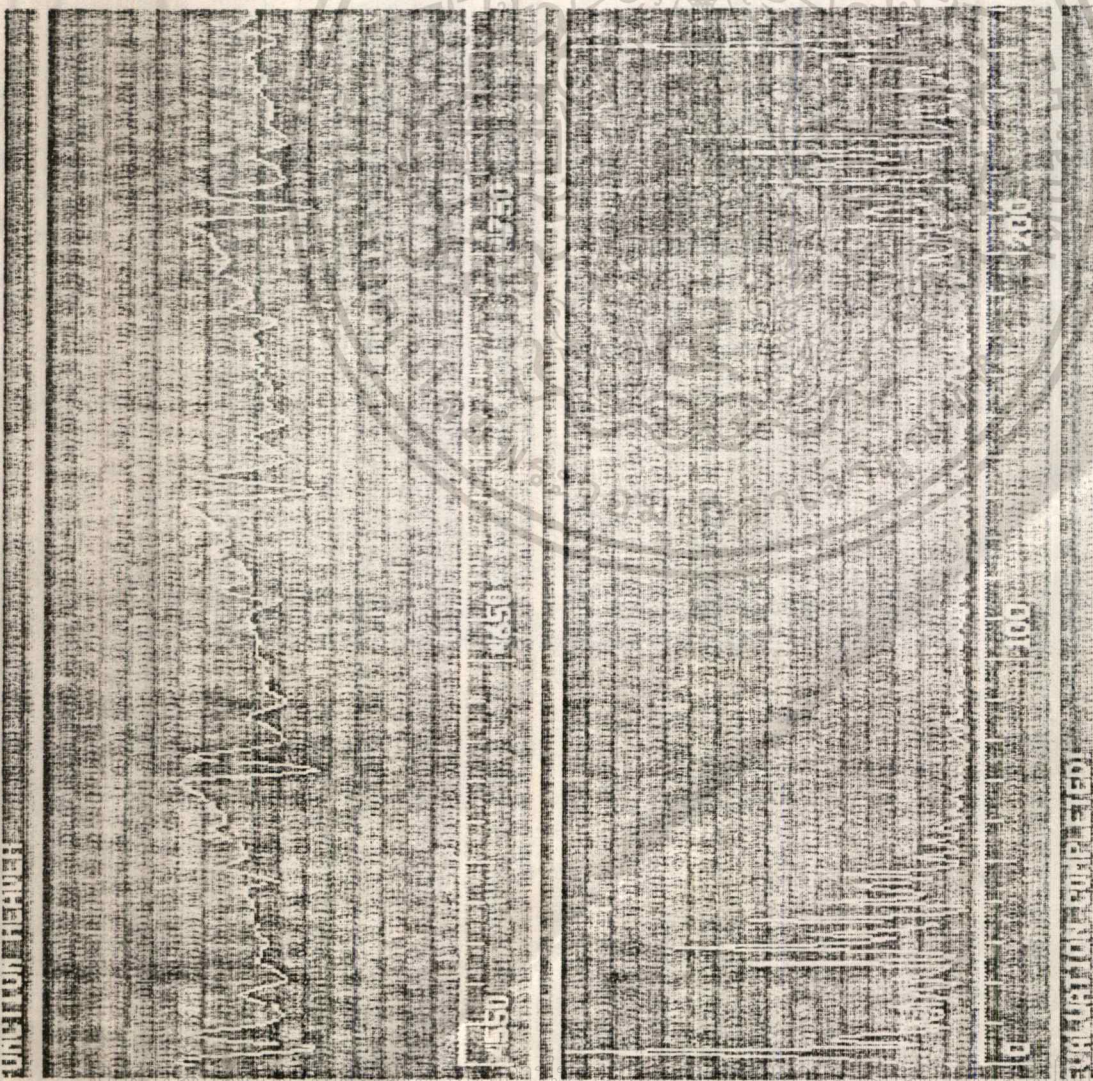
9.2 การทดลองและผลการทดลองในภาคเรียนที่2

ผู้จัดทำจึงทดลองการ์ดเดิมนี้อีกครั้งโดยใช้โปรแกรมที่มีการตอบสนองการอินเตอร์พท์ที่เร็วขึ้น และพบว่าการ์ดสามารถทำงานและเก็บข้อมูลของเสียงพูดได้ แต่ยังมีสัญญาณรบกวนปนมากับสัญญาณเสียงจริง เนื่องจากการเดินสาย(wire wrap) ผู้จัดทำจึงเปลี่ยนเป็นใช้ปริ้นท์แทนการเดินสาย เพื่อลดสัญญาณรบกวนที่เกิดขึ้น ซึ่งก็สามารถลดสัญญาณรบกวนไปได้มาก

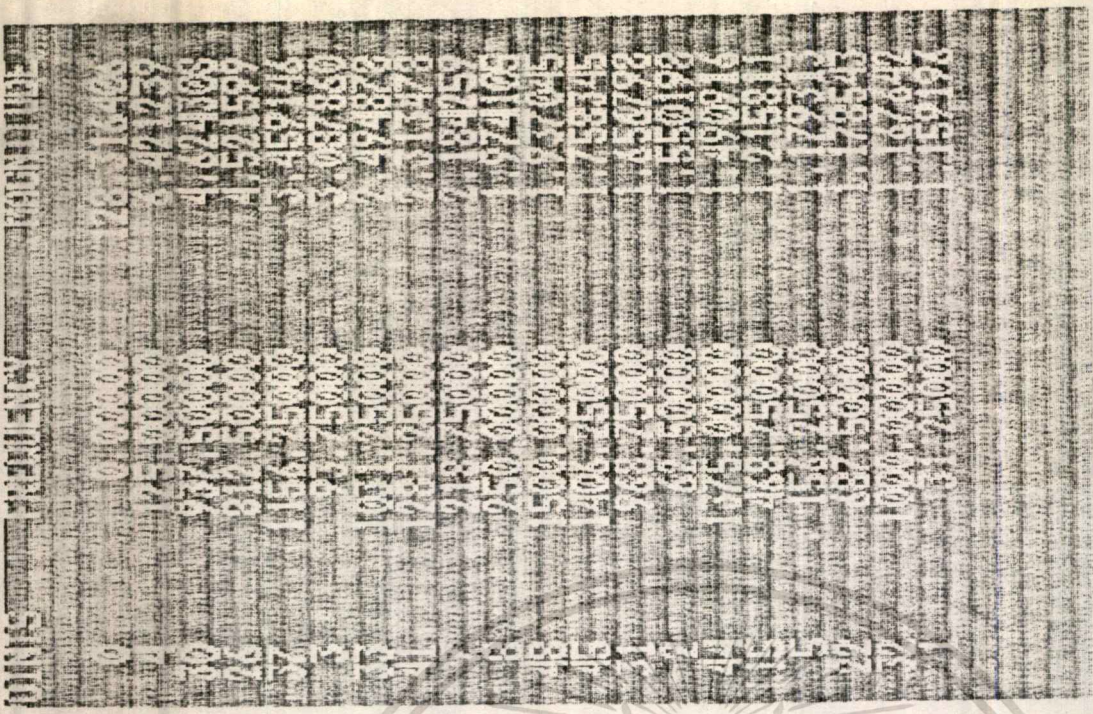
ผู้จัดทำได้ทดลองเก็บข้อมูลของเสียงพูดคำว่า (หนึ่ง, สอง, สาม, . . . , เก้า, ศูนย์) และนำมาผ่าน FFT เพื่อหาความถี่ของสัญญาณเสียงอินพุท ผลการทดลองที่ได้แสดงไว้ในรูปที่ 9.1-9.3

ในการหาช่วงของข้อมูลที่จะเข้า FFT ผู้จัดทำได้ทำโปรแกรมเลื่อนข้อมูลบนจอภาพคอมพิวเตอร์ เพื่อหาช่วงที่เป็นคาบเวลามากที่สุด แล้วจึงเข้า FFT นำผลลัพธ์ที่ได้มาหาจุดที่มีแอมพลิจูดสูงสุด เรียงลำดับไว้ 20 ความถี่ ซึ่งแสดงผลไว้ในรูปที่ 9.2

จากผลการทดลอง พบว่าที่จุดสุ่มเท่ากับ 0 มีค่าประมาณ 128 ซึ่งเป็นระดับ D.C. ของสัญญาณอินพุท ซึ่งต้องยกระดับสัญญาณขึ้นมา 2.5 V (ครึ่งหนึ่งของเรนจ์ 0-5V) เพื่อเข้า ADC

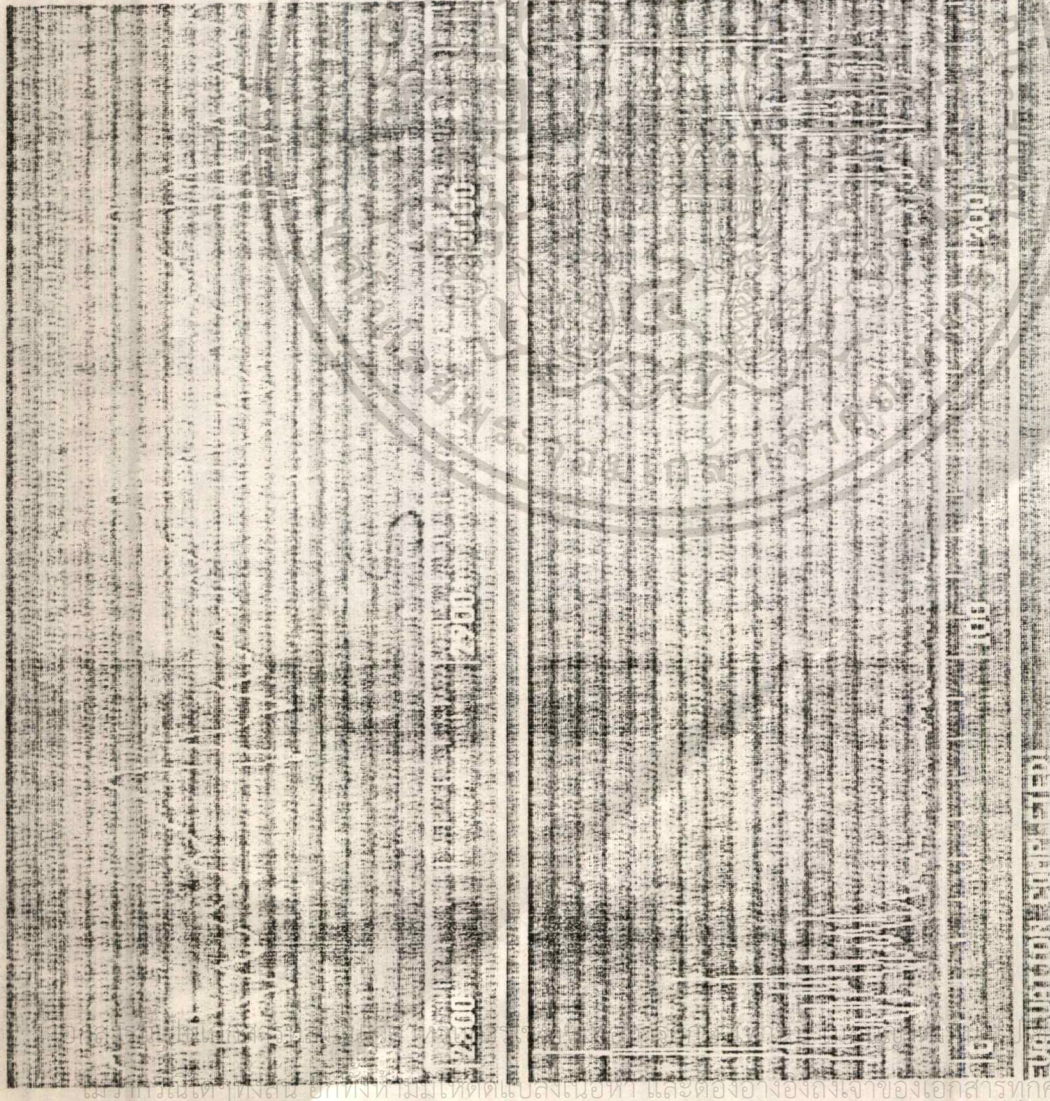


(a)

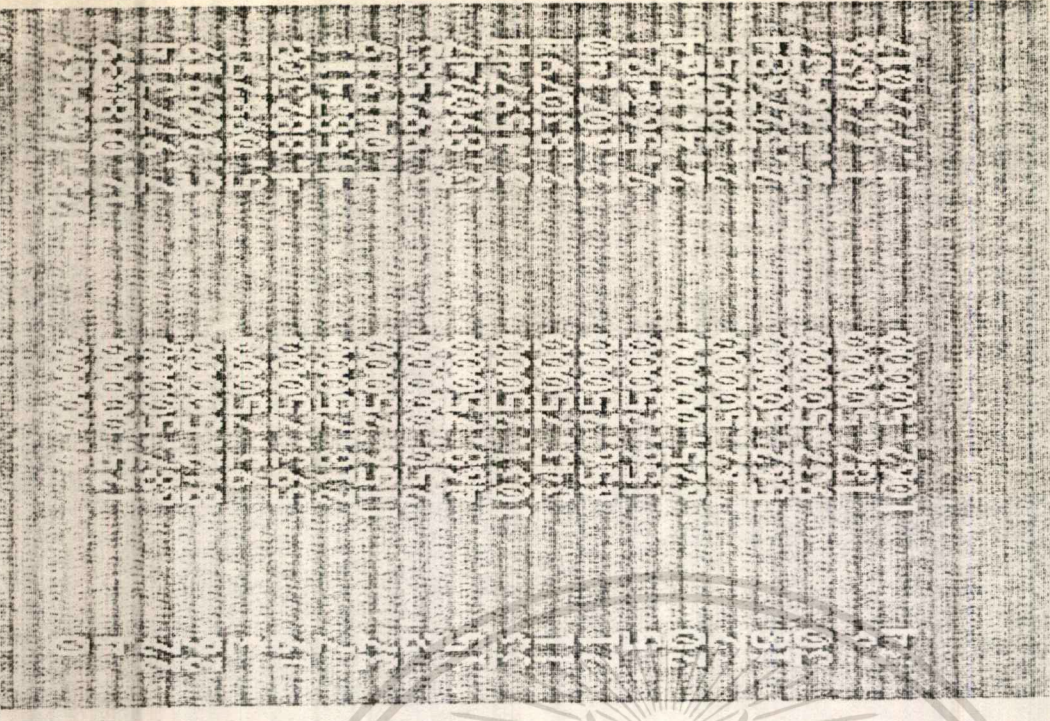


(b)

รูปที่ 9.3(a) แสดงข้อมูลเสียงของคำว่า "สาม" ในโหมดเวลา และในโหมดความถี่ที่ส่งผ่าน FFT แล้ว โดยเข้าโหมดที่เปลี่ยนที่ขนาดของข้อมูล เท่ากับ 256 (b) แสดงการลาดับจุดสุ่มในโหมดความถี่ที่ขนาดสูงสุด 20 อันดับแรก



(a)

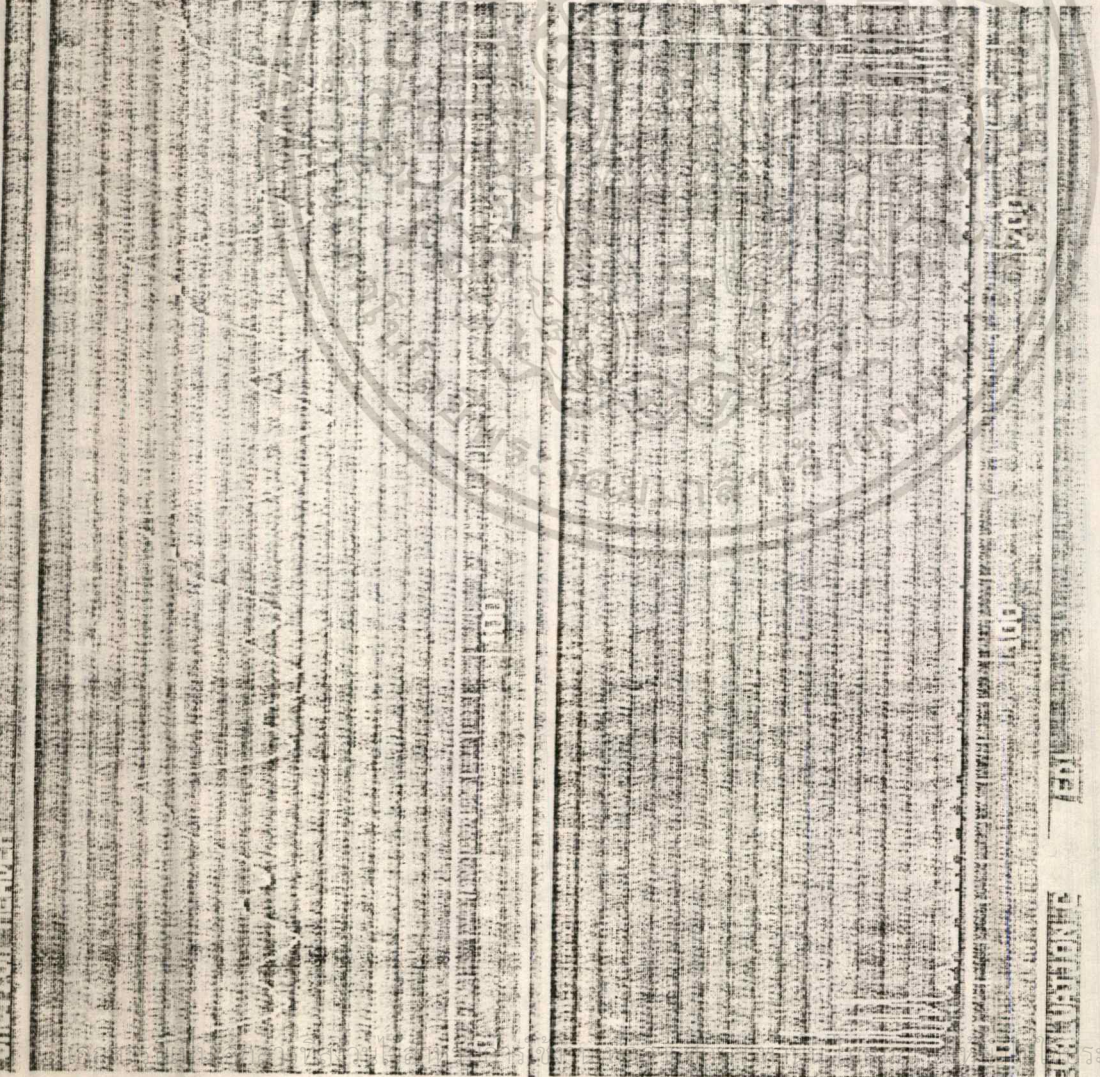
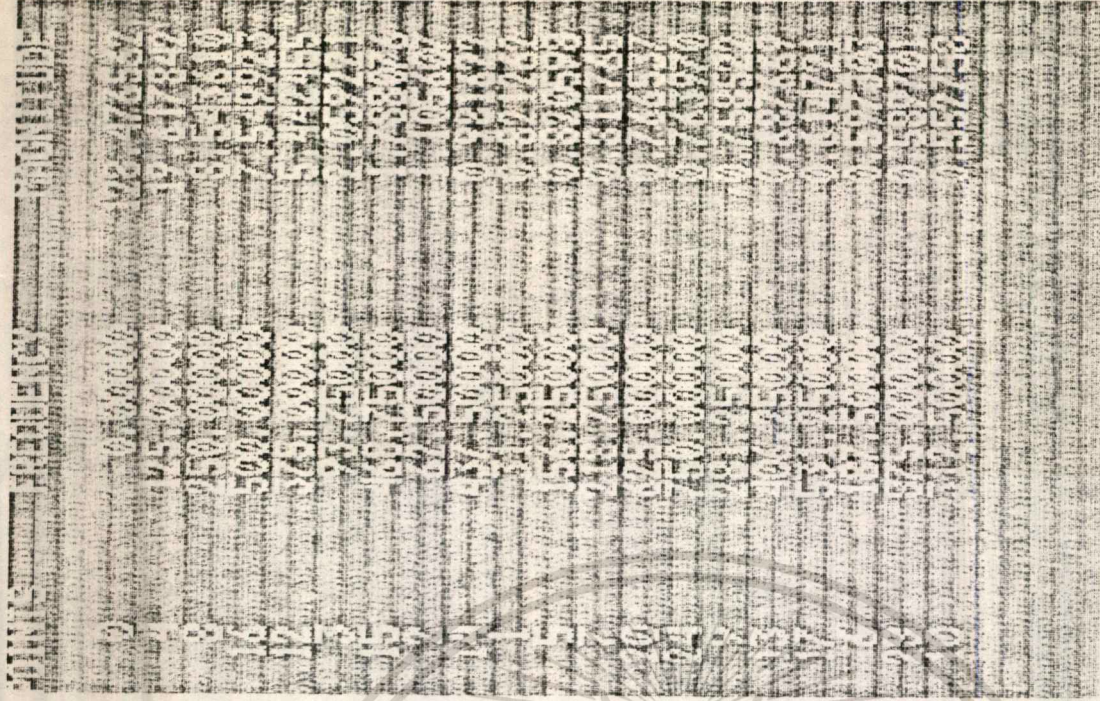


(b)

รูปที่ 9.2(a) แสดงข้อมูลเสียงของคำว่า "สอง" ในโดเมนเวลา และในโดเมน

ความถี่ที่ส่งผ่าน FFT แล้ว โดยวิธีในโดเมนที่สัมพันธ์ขนาดของข้อมูล เท่ากับ 256

(b) แสดงการลาตัดจุดสุ่มในโดเมนความถี่ที่มีขนาดสูงสุด 20 อันดับแรก



รูปที่ 9.1 (a) แสดงข้อมูลเสียงของควา "หนึ่ง" านโอดเมนเวลา และานโอดเมน
ความถี่ผ่าน FFT แล้ว อดยาศานโอดโล่เหลี่ยมที่ขนาดของข้อมูล เท่ากับ 256
(b) แสดงการลาดับจุดสุสานโอดเมนความถี่ที่ขนาดสูงสุด 20 อันดับแรก

บทที่ 10

สรุปผลและวิจารณ์การทดลอง

10.1 สรุปผลการทดลอง

1. การวิเคราะห์สัญญาณเสียงพูด ควรใช้เครื่องมือที่มีประสิทธิภาพ ยิ่งถ้าเป็นการใช้เทคนิคทางดิจิทัลด้วยแล้ว ควรเลือกใช้เครื่องคอมพิวเตอร์ที่มีความเร็วในการทำงานสูงหรือชิปประมวลผลร่วมทางคณิตศาสตร์ (Math coprocessor) จะทำให้การวิเคราะห์ทำได้ด้วยความรวดเร็ว

2. FFT (fast fourier transform) เป็นเครื่องวิเคราะห์สัญญาณในโดเมนเวลา โดยเปลี่ยนให้เป็นสเปกตรัมในโดเมนความถี่ ที่ทำงานได้เร็วกว่าและใช้เนื้อที่หน่วยความจำที่ต้องใช้ในการคำนวณน้อยกว่าการคำนวณด้วย DFT โดยตรง เพราะ FFT ใช้อัลกอริทึมที่ลดความซ้ำซากของการเกิดข้อมูล

3. เมื่อใช้วินโดว์สี่เหลี่ยม (rectangular window) วิเคราะห์ในช่วงที่ต้องการ จะมีผลของการรั่วไหลของลอนข้าง (side lobe) ซึ่งสามารถลดผลเสียนี้ได้ โดยเปลี่ยนเป็นวินโดว์ที่มีการถ่วงน้ำหนัก จุดตรงกลางมากที่สุดและลาดลงมาทางจุดเริ่มต้นและจุดสิ้นสุด เช่น แฮมมิงวินโดว์ แชนนิงวินโดว์

10.2 วิจารณ์การทดลอง

ในการทดลอง ต้องรันกับเครื่องคอมพิวเตอร์ที่มีความเร็วต่ำ และไม่มีตัวประมวลผลร่วมทางคณิตศาสตร์ ทำให้การตอบสนองไม่เป็นเวลาจริง ทำให้การวิเคราะห์ลำบากมาก ซึ่งเราสามารถแก้ปัญหาจุดนี้ได้โดยใช้โปรเซสเซอร์ที่ออกแบบมาให้เข้ากับการประมวลผลสัญญาณโดยเฉพาะ เช่น TMS32020 ของเท็กซัส อินสตรูเมนต์ หรือเปลี่ยนเป็นไอวีจอร์ทางอนาล็อก uly ใช้เทคนิคฟิลเตอร์แบงก์ (filter bank) แบ่งเป็นกลุ่มของแบนพาสฟิลเตอร์ หรือแบ่งช่วงของความถี่ออกเป็นช่วงย่อย ซึ่งอาจใช้ฟิลเตอร์แบงก์สองชุด ชุดแรกเป็นการแบ่งกลุ่มความถี่

เอกของเสียงอย่างจริงจังว่าๆ หรับการกั้นแล้วจึง ซอยเป็นความถี่ที่ลึกข้อย่อยต่อไปประโยชน์ด้านการค้า ไม่ว่าจะกรณีใดๆทั้งสิ้น อีกทั้งห้ามมิให้ตัดแปลงเนื้อหา และต้องอ้างอิงถึงเจ้าของเอกสารทุกครั้งที่มีการนำไปใช้

ภาคผนวก ก.

โปรแกรมที่ใช้ควบคุมการทำงานของการ์ด มีรายละเอียดของการทำงานดังนี้

1. save ทำหน้าที่บันทึกข้อมูลเสียงพูด เมื่อเรียกโปรแกรมนี้อแล้ว โปรแกรมจะขึ้นข้อความให้กดปุ่มใดๆ เพื่อให้ลองเสียงก่อนเริ่มบันทึก เมื่อได้ตามที่ ต้องการแล้ว ให้กดปุ่มใดๆเริ่มบันทึก และหยุดบันทึก โดยสามารถบันทึกข้อมูลเสียง ได้สูงสุด 32 วินาที ที่อัตราการสุ่ม 10 kHz (ความยาวของข้อมูลที่บันทึกได้ขึ้น กับขนาดหน่วยความจำที่จองไว้บนเครื่อง ในโปรแกรมนี้อได้จองไว้ 50000hexa ไบต์) เมื่อเสร็จสิ้นการบันทึก โปรแกรมจะเล่นกลับข้อมูลที่บันทึกทันที เมื่อจบแล้วจะ ถามว่า ต้องการฟังซ้ำอีกครั้งหรือไม่ ถ้าต้องการฟังซ้ำอีก ให้กดปุ่ม 'y' ถ้าไม่ ต้องการฟังอีกให้กดปุ่มใดๆ โปรแกรมจะขึ้นข้อความให้บันทึกชื่อไฟล์ เพื่อเก็บข้อ มูลลงบนดิสก์(ควรวใส่ชื่อไฟล์ที่สัมพันธ์กับประโยคเพื่อ่ง่ายต่อการจดจำ) หลังจากนั้น โปรแกรมจะถามต่ออีกว่า ต้องการบันทึกประโยคอื่นอีกหรือไม่ ถ้าต้องการให้กดปุ่ม 'y' ถ้าไม่ต้องการให้กดปุ่มใดๆ เพื่อสิ้นสุดโปรแกรม

2. load ทำหน้าที่ดึงข้อมูลของเสียงที่บันทึกด้วยโปรแกรม "save" โดยจะขึ้นข้อความให้ระบุชื่อไฟล์ที่ต้องการเล่นกลับ ให้ใส่ชื่อไฟล์ที่ต้องการ โปรแกรมจะทำการดึงข้อมูลจากดิสก์มาเก็บไว้บนหน่วยความจำ เมื่อเสร็จสิ้นการดึงข้อ มูล โปรแกรมจะเล่นกลับเสียงที่เก็บไว้ทันที เมื่อจบการเล่นกลับ โปรแกรมจะขึ้น ข้อความถามว่า ต้องการฟังเสียงซ้ำอีกครั้งหรือไม่ ถ้าต้องการให้กดปุ่ม 'y' ถ้าไม่ ต้องการให้กดปุ่มใดๆ โปรแกรมจะถามต่อว่า ต้องการเล่นกลับข้อมูลจากไฟล์อื่น อีกหรือไม่ถ้าต้องการให้กดปุ่ม 'y' ถ้าไม่ต้องการให้กดปุ่มใดๆ เพื่อสิ้นสุดโปรแกรม

3. displayทำหน้าที่แสดงลักษณะของข้อมูลเสียงที่บันทึกไว้ โดยพล็อต ในโหมดกราฟฟิก ทั้งในโดเมนเวลา และโดเมนความถี่หลังจากที่ผ่าน FFT แล้ว เมื่อเรียกใช้โปรแกรมนี้อ โปรแกรมจะให้ใส่ชื่อไฟล์ที่ต้องการตรวจสอบลักษณะ ให้ ใส่ชื่อไฟล์ที่ต้องการ โปรแกรมจะแสดงข้อมูลเสียงที่บันทึกบนจอภาพส่วนบน ให้กดปุ่ม ลูกศรขวา เพื่อเลื่อนดูช่วงที่มีเสียงพูด และเลื่อนกลับโดยใช้ปุ่มลูกศรซ้าย เมื่อได้ ช่วงเสียงที่ต้องการแปลงเป็นสเปคตรัมแล้ว(ในโปรแกรมตั้งไว้ให้แปลงครึ่งละ

256 จุดสุ่ม ซึ่งสามารถเปลี่ยนแปลงได้) ให้เคาะคานวอร์ด เพื่อเริ่มวิเคราะห์ เอกสารนี้เป็นเอกสารที่สงวนไว้สำหรับการใช้งานเพื่อการศึกษาเท่านั้น ไม่นอนุญาตให้นำไปใช้ประโยชน์ด้านการค้า เมื่อวิเคราะห์เสร็จแล้ว โปรแกรมจะแสดงสเปคตรัมไว้ในจอภาพส่วนล่าง ให้

ไม่วารณใดๆทางสน อักทงหามมิเหตดแปลงเนื้อหา และตองอยางองงเงาของเอทเอกสารทุกคร้งทมีการนำไปใช้

```
1 #include <stdio.h>
2 #include <alloc.h>
3 #include <ctype.h>
4 #include <conio.h>
5 #include <dos.h>
6 #include <stdlib.h>
7 #include <math.h>
8
9 #define CMD_port 0x303
10 #define DAC_port 0x300
11 #define CNTL_port 0x301
12 #define ADC_port 0x304
13
14 #define START { outportb(CNTL_port, (inportb(CNTL_port)&
15 0xf0)!0x04); \
16                 outportb(0x21, inportb(0x21)&0xfb); }
17 #define STOP { outportb(CNTL_port, inportb(CNTL_port)!0
18 x0f); \
19                 outportb(0x21, inportb(0x21)!0x04); }
20 #define EOI outportb(0x20, 0x20);
21
22 #define buf_size 0x500001
23 #define file_size 0x8000
24
25 typedef unsigned char byte;
26
27 int looping=1;
28
29 byte huge *ptr;
30 byte far *buffer;
31 long index=0;
32 long act_size;
33 char filename[20];
34
35 void interrupt (*kbd_int)();
36 void interrupt (*timer_int)();
37
38 void interrupt keypressed();
39 void interrupt direct_routine();
40 void interrupt record_routine();
41 void interrupt playback_routine();
42
43 void start(void interrupt (*func)());
44 int save_file();
45
46 main()
47 {
48     if ( (buffer=(byte *)faralloc( buf_size, sizeof(byte) ))==NULL ) {
49         puts("Not enough free space.");
50     }
```

เอกสารนี้เป็นเอกสารที่สงวนไว้สำหรับการใช้งานเพื่อการศึกษาเท่านั้น ไม่อนุญาตให้นำไปใช้ประโยชน์ด้านการค้า
ไม่ว่ากรณีใดๆทั้งสิ้น อีกทั้งห้ามมิให้ดัดแปลงเนื้อหา และต้องอ้างอิงถึงเจ้าของเอกสารทุกครั้งที่มีการนำไปใช้

```

48     exit(1);
49     }
50     outport(CMD_port,0x80);
51     kbd_int = getvect(9);
52     do {
53     puts("Press any key to record ");
54     start(direct_routine);
55     start(record_routine);
56     act_size = index;
57     puts("Press any key to playback");
58     do {
59         start(playback_routine);
60         puts("Again (y/n) ");
61     } while(tolower(getch())=='y');
62     printf("enter filename : ");
63     scanf("%s",filenamc);
64     save_file();
65     puts("Record another word\? (y/n)");
66     } while (tolower(getch()) == 'y');
67     puts("Goodbye ! ");
68     farfree((byte *)buffer);
69 }
70
71 void interrupt direct_routine()
72 {
73     outportb(DAC_port,inportb(ADC_port));
74     EOI
75 }
76
77 void interrupt record_routine()
78 {
79     *ptr = inportb(ADC_port);
80     outportb(DAC_port,*ptr);
81     ptr++;
82     if (++index == buf_size ) {
83         looping = 0;
84         STOP
85         setvect(9,kbd_int);
86     }
87     EOI
88 }
89
90 void interrupt playback_routine()
91 {
92     outportb(DAC_port,*ptr++);
93     if (++index == act_size ) {
94         looping = 0;
95         STOP
96         setvect(9,kbd_int);
97     }

```

```
51     kbd_int = getvect(9);
52     do {
53         puts("Press any key to record ");
54         start(direct_routine);
55         start(record_routine);
56         act_size = index;
57         puts("Press any key to playback");
58         do {
59             start(playback_routine);
60             puts("Again (y/n) ");
61         } while(tolower(getch())=='y');
62         printf("enter filename : ");
63         scanf("%s",filename);
64         save_file();
65         puts("Record another word\? (y/n)");
66     } while (tolower(getch()) == 'y');
67     puts("Goodbye ! ");
68     farfree((byte *)buffer);
69 }
70
71 void interrupt direct_routine()
72 {
73     outportb(DAC_port,inportb(ADC_port));
74     EOI
75 }
76
77 void interrupt record_routine()
78 {
79     *ptr = inportb(ADC_port);
80     outportb(DAC_port,*ptr);
81     ptr++;
82     if (++index == buf_size ) {
83         looping = 0;
84         STOP
85         setvect(9,kbd_int);
86     }
87     EOI
88 }
89
90 void interrupt playback_routine()
91 {
92     outportb(DAC_port,*ptr++);
93     if (++index == act_size ) {
94         looping = 0;
95         STOP
96         setvect(9,kbd_int);
97     }
98     EOI
99 }
100
101 void start(void interrupt>(*func)())
102 {
103     ptr = buffer;
```

```

104     looping = 1;
105     index = 0;
106     setvect(9,keypressed);
107     setvect(10,func);
108     START
109     while(looping);
110 }
111
112 int save_file()
113 {
114     FILE *stream;
115     int remainder,times,i;
116
117     if ( (stream=fopen(filename,"wb"))==NULL ) {
118         puts("Can\'t open file");
119         return 1;
120     }
121     remainder = (int)(act_size%file_size);
122     times      = (int)(act_size/file_size);
123     ptr = buffer;
124     freopen(filename,"ab",stream);
125     for (i=0 ;i<times; i++) {
126         fwrite((byte*)ptr,sizeof(byte),file_size,stream);
127         ptr += file_size;
128     }
129     fwrite((byte*)ptr,sizeof(byte),remainder,stream);
130     fclose(stream);
131     return 0;
132 }
133
134 byte temp;
135
136 void interrupt keypressed()
137 {
138     inportb(0x60);
139     temp = inportb(0x61);
140     outportb(0x61,temp!0x80);
141     outportb(0x61,temp);
142     if (looping==1) looping++;
143     else if (looping==2) {
144         looping = 0;
145         STOP
146         setvect(9,kbd_int);
147     }
148     EOI
149 }

```

```
1 #include <stdio.h>
2 #include <alloc.h>
3 #include <conio.h>
4 #include <ctype.h>
5 #include <dos.h>
6 #include <stdlib.h>
7 #include <math.h>
8 #include <io.h>
9
10 #define CMD_port 0x303
11 #define DAC_port 0x300
12 #define CNTL_port 0x301
13 #define ADC_port 0x304
14
15 #define START { outportb(CNTL_port,(inportb(CNTL_port)&
16 0xf0):0x04); \
17 outportb(0x21,inportb(0x21)&0xfb); }
18 #define STOP { outportb(CNTL_port,inportb(CNTL_port):0
19 x0f); \
20 outportb(0x21,inportb(0x21):0x04); }
21 #define EOI outportb(0x20,0x20);
22
23 #define buf_size 0x500001
24 #define file_size 0x8000
25
26 typedef unsigned char byte;
27
28 int looping=1;
29
30 byte huge *ptr;
31 byte far *buffer;
32 long index=0;
33 long act_size;
34 char filename[20];
35
36 void interrupt (*kbd_int)();
37 void interrupt (*timer_int)();
38
39 void interrupt keypressed();
40 void interrupt direct_routine();
41 void interrupt record_routine();
42 void interrupt playback_routine();
43
44 void start(void interrupt (*func)());
45 int load_file();
46
47 main()
48 {
49     if ( (buffer=(byte *)farmalloc(buf_size))==NULL ) {
50         puts("Not enough free space.");
51         exit(1);
52     }
53     outport(CMD_port,0x80);
54     kbd_int = getvect(9);
```

เอกสารนี้... เอกสารที่สงวนลิขสิทธิ์... สำนักงานเพื่อการศึกษาเท่านั้น ไม่อนุญาตให้นำไปใช้ประโยชน์ด้านการค้า
ไม่ว่า... โดยทั้งสิ้น... ออกถึงเจ้าของเอกสารทุกครั้งที่มีการนำไปใช้

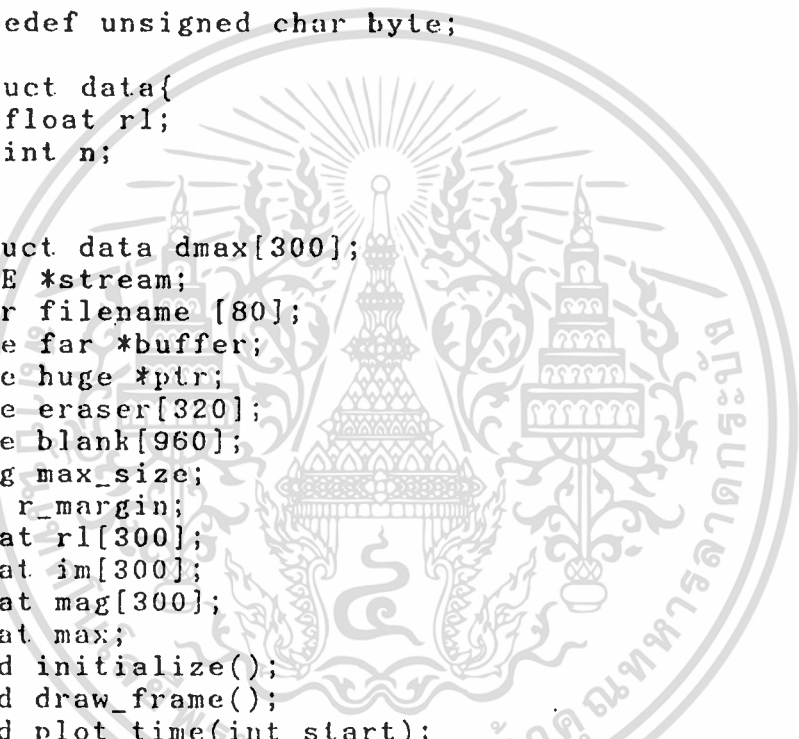
```
53     do {
54         printf("enter filename : ");
55         scanf("%s",filename);
56         load_file();
57         puts("Press any key to playback");
58     do {
59         start(playback_routine);
60         puts("Again (y/n) ");
61     } while(tolower(getch())=='y');
62     puts("Load another word (y/n)");
63     } while (tolower(getch())=='y');
64     puts("Goodbye ! ");
65     farfree((byte *)buffer);
66 }
67
68 void interrupt direct_routine()
69 {
70     outportb(DAC_port,inportb(ADC_port));
71     EOI
72 }
73
74 void interrupt record_routine()
75 {
76     *ptr = inportb(ADC_port);
77     outportb(DAC_port,*ptr);
78     ptr++;
79     if (++index == buf_size ) {
80         looping = 0;
81         STOP
82         setvect(9,kbd_int);
83     }
84     EOI
85 }
86
87 void interrupt playback_routine()
88 {
89     outportb(DAC_port,*ptr++);
90     if (++index == act_size ) {
91         looping = 0;
92         STOP
93         setvect(9,kbd_int);
94     }
95     EOI
96 }
97
98 void start(void interrupt(*func)())
99 {
100     ptr = buffer;
101     looping = 1;
102     index = 0;
103     setvect(9,keypressed);
104     setvect(10,func);
105     START
106     while(looping);
```

```
107 }
108
109 int load_file()
110 {
111     int remainder,times,i;
112     FILE *stream;
113
114     if ( (stream=fopen(filename,"rb"))==NULL ) {
115         puts("Can\'t open file");
116         return 1;
117     }
118     act_size = filelength(fileno(stream));
119     remainder = (int)(act_size%file_size);
120     times = (int)(act_size/file_size);
121     ptr = buffer;
122     for (i=0 ;i<times; i++) {
123         fread((byte*)ptr,sizeof(byte),file_size,stream);
124         ptr += file_size;
125     }
126     fread((byte*)ptr,sizeof(byte),remainder,stream);
127     fclose(stream);
128     return 0;
129 }
130
131 byte temp;
132
133 void interrupt keypressed()
134 {
135     inportb(0x60);
136     temp = inportb(0x61);
137     outportb(0x61,temp!0x80);
138     outportb(0x61,temp);
139     if (looping==1) looping++;
140     else if (looping==2) {
141         looping = 0;
142         STOP
143         setvect(9,kbd_int);
144     }
145     EOI
146 }
```

```

1  #include <graphics.h>
2  #include <alloc.h>
3  #include <stdio.h>
4  #include <conio.h>
5  #include <stdlib.h>
6  #include <math.h>
7
8  #define file_size  0x8000
9
10 typedef unsigned char byte;
11
12 struct data{
13     float rl;
14     int n;
15 };
16
17 struct data dmax[300];
18 FILE *stream;
19 char filename [80];
20 byte far *buffer;
21 byte huge *ptr;
22 byte eraser[320];
23 byte blank[960];
24 long max_size;
25 int r_margin;
26 float rl[300];
27 float im[300];
28 float mag[300];
29 float max;
30 void initialize();
31 void draw_frame();
32 void plot_time(int start);
33 void put_number(int start);
34 void fft(int n,float *xr,float *xi,int inverse);
35 void magnitude(int n,float *xr,float *xi,float *mag);
36 void search_max(int n,float *x,float *max);
37 int flcmp(const struct data *a,const struct data *b);
38
39 main()
40 {
41     char ch;
42     int begin=0,i,j;
43
44     do {
45         initialize();
46         draw_frame();
47         setviewport(10,15,r_margin+9,144,0);
48         plot_time(begin);
49         do {
50             if ((ch=getch())!=0) ch=getch();
51             if (ch=='77'){
52                 begin+=350;
53                 clearviewport();

```



เอกสารนี้เป็นเอกสารที่สงวนลิขสิทธิ์ไว้เพื่อการศึกษาเท่านั้น ไม่อนุญาตให้นำไปใช้ประโยชน์ด้านการค้า
 ไม่ว่าในรูปแบบใดทั้งสิ้น อีกทั้งห้ามเผยแพร่โดยไม่ได้รับอนุญาต และต้องอ้างอิงถึงเจ้าของเอกสารทุกครั้งที่มีการนำไปใช้

```

54         plot_time(begin);
55         put_number(begin);
56     }
57     if (ch==75) {
58         begin-=350;
59         clearviewport();
60         plot_time(begin);
61         put_number(begin);
62     }
63     } while(ch!=32);
64     for (i=0;i<256;i++) {
65         rl[i]=ptr[begin+i];
66         im[i]=mag[i]=0.;
67     }
68     setviewport(0,0,r_margin+19,347,0);
69     putimage(0,338,blank,COPY_PUT);
70     outtctxy(0,347,"EVALUATION!");
71     fft(256,rl,im,0);
72     magnitude(256,rl,im,mag);
73     search_max(256,mag,&max);
74     setviewport(10,180,r_margin+9,309,0);
75     moveto(1,(max-mag[1])*128/max);
76     for (i=2,j=2;j<256;i+=2,j++)
77         lineto(i,(max-mag[j])*128/max);
78     setviewport(0,0,r_margin+19,347,0);
79     putimage(0,338,blank,COPY_PUT);
80     outtctxy(0,347,"EVALUATION COMPLETED!");
81     for (i=0;i<256;i++) {
82         dmax[i].rl = mag[i];
83         dmax[i].n = i;
84     }
85     qsort(&dmax,127,sizeof(dmax[0]),flcmp);
86     getch();
87     restorecrtmode();
88     printf("POINTS      FREQUENCY      MAGNITUDE\n\n");
89     for (i=0;i<20;i++)
90         printf("%4d %15.5f %15f\n",dmax[i].n,dmax[i].n*80
00./256.,dmax[i].rl);
91     while (getch()!='a');
92     } while (getch()=='b');
93     closegraph();
94     farfree(buffer);
95 }
96
97 void initialize()
98 {
99     int i,gdriver,gmode,times;
100    unsigned int remainder;
101
102    clrscr();
103    printf("Enter file name : ");
104    scanf("%s",filename);
105    if ( ( stream=fopen(filename,"rb") ) == NULL ) {

```

เอกสารนี้เป็นเอกสารที่สงวนไว้สำหรับการใช้งานเพื่อการศึกษาเท่านั้น ไม่อนุญาตให้นำไปใช้ประโยชน์ด้านการค้า
ไม่ว่ากรณีใดๆทั้งสิ้น อีกทั้งห้ามมิให้ดัดแปลงเนื้อหา และต้องอ้างอิงถึงเจ้าของเอกสารทุกครั้งที่มีการนำไปใช้

```
106     puts("File not found");
107     exit(1);
108 }
109 max_size = filelength(fileno(stream));
110 remainder = (int)(max_size%file_size);
111 times     = (int)(max_size/file_size);
112 buffer = (byte*)farmalloc(max_size);
113 if (buffer!=NULL) {
114     puts("Not enough free space");
115     exit(1);
116 }
117 ptr = buffer;
118 for (i=0 ;i<times; i++) {
119     fread((byte*)ptr,sizeof(byte),file_size,stream);
120     ptr += file_size;
121 }
122 fread((byte*)ptr,sizeof(byte),remainder,stream);
123 fclose(stream);
124 ptr = buffer;
125 detectgraph(&gdriver,&gmode);
126 if ((gdriver!=EGA)!!(gdriver!=VGA)) r_margin=600;
127 else
128     if (gdriver!=HERCMONO) r_margin=700;
129     else {
130         puts("Can't run on this monitor type");
131         exit(1);
132     }
133 initgraph(&gdriver,&gmode,"");
134 getimage(0,0,39,7,eraser);
135 getimage(0,0,119,7,blank);
136 }
137
138 void scale()
139 {
140     int i;
141
142     setlinestyle(SOLID_LINE,0,NORM_WIDTH);
143     line(0,132,r_margin-1,132);
144     for (i=0;i<r_margin;i+=2)
145         putpixel(i,133,1);
146     for (i=0;i<r_margin;i+=10)
147         line(i,134,i,136);
148     for (i=0;i<r_margin;i+=20)
149         line(i,137,i,138);
150     for (i=0;i<r_margin;i+=100)
151         line(i,139,i,142);
152     for (i=0;i<r_margin;i+=200)
153         line(i,143,i,148);
154     setttextjustify(LEFT_TEXT,BOTTOM_TEXT);
155     setttextstyle(DEFAULT_FONT,HORIZ_DIR,1);
156 }
157
158 void put_number(int start)
```

เอกสารนี้เป็นเอกสารที่สงวนไว้สำหรับการใช้งานเพื่อการศึกษาเท่านั้น ไม่อนุญาตให้นำไปใช้ประโยชน์ด้านการค้า
ไม่ว่ากรณีใดๆทั้งสิ้น อีกทั้งห้ามมิให้ดัดแปลงเนื้อหา และต้องอ้างอิงถึงเจ้าของเอกสารทุกครั้งที่มีการนำไปใช้

```

159 {
160     int i,j;
161     char number[10];
162
163     for (i=2,j=start;i<r_margin;i+=200,j+=100) {
164         sprintf(number,"%d",j);
165         putimage(2+i,140,eraser,COPY_PUT);
166         outtextxy(2+i,148,number);
167     }
168 }
169
170 void draw_framc()
171 {
172     setttextjustify(LEFT_TEXT, TOP_TEXT);
173     outtext("FUNCTION HEADER");
174     setlinestyle(SOLID_LINE, 0, THICK_WIDTH);
175     rectangle(0,12,r_margin+19,170);
176     setviewport(10,15,r_margin+9,144,0);
177     scale();
178     put_number(0);
179     setviewport(0,0,r_margin+19,347,0);
180     setlinestyle(SOLID_LINE, 0, THICK_WIDTH);
181     rectangle(0,177,r_margin+19,335);
182     outtextxy(0,347,"MESSAGE LINE");
183     setviewport(10,180,r_margin+9,309,0);
184     scale();
185     put_number(0);
186     setviewport(0,0,r_margin+19,347,0);
187 }
188
189 void plot_time(int start)
190 {
191     int i,j;
192
193     moveto(0,(256-ptr[start])/2);
194     for (i=1,j=start+1;i<r_margin;i+=2,j++)
195         lineto(i,(256 ptr[j])/2);
196 }
197
198 void fft(int n,float *xr,float *xi,int inverse)
199 {
200     int log2n,n2,nl,i,j,k,l,lc,lcl,id;
201     int sign = -1;
202     double ur,ui,wi,wr,tr,ti;
203
204     if (inverse==1) sign = 1;
205     log2n = log(n)/log(2);
206     n2 = n/2; nl = n-1;
207     for (i=j=0; i<nl; i++) {
208         if (i<j) {
209             tr = *(xr+j); ti = *(xi+j);
210             *(xr+j) = *(xr+i);
211             *(xi+j) = *(xi+i);

```

เอกสารนี้เป็นเอกสารที่สงวนไว้สำหรับการใช้งานเพื่อการศึกษาเท่านั้น ไม่อนุญาตให้นำไปใช้ประโยชน์ด้านการค้า
 ไม่ว่ากรณีใดๆทั้งสิ้น อีกทั้งห้ามมิให้ตัดแปลงเนื้อหา และต้องอ้างอิงถึงเจ้าของเอกสารทุกครั้งที่มีการนำไปใช้

```

212         *(xr+i) = tr; *(xi+i) = ti;
213     }
214     k = n2;
215     while (k<=j) {
216         j -= k; k /= 2;
217     }
218     j += k;
219 }
220 for (k=1; k<=log2n; k++) {
221     le = pow(2.,k);
222     lel = le/2;
223     ur = 1.; ui = 0.;
224     wr = cos(M_PI/lel);
225     wi = sign*sin(M_PI/lel);
226     for (j=0; j<lel; j++) {
227         for (i=j; i<n; i=i+le) {
228             id=i+lel;
229             tr = *(xr+id)*ur - *(xi+id)*ui;
230             ti = *(xr+id)*ui + *(xi+id)*ur;
231             *(xr+id) = *(xr+i) - tr;
232             *(xi+id) = *(xi+i) - ti;
233             *(xr+i) = *(xr+i) + tr;
234             *(xi+i) = *(xi+i) + ti;
235         }
236         tr = ur*wr - ui*wi;
237         ti = ur*wi + ui*wr;
238         ur = tr; ui = ti;
239     }
240 }
241 if (inverse!=1)
242     for (i=0; i<n; i++) {
243         *(xr+i) /= n;
244         *(xi+i) /= n;
245     }
246 }
247
248 void magnitude(int n,float *xr,float *xi,float *mag)
249 {
250     int i;
251
252     for (i=0;i<n;i++)
253         mag[i] = sqrt(xr[i]*xr[i]+xi[i]*xi[i]);
254 }
255
256 void search_max(int n,float *x,float *max)
257 {
258     int i;
259
260     *max=x[1];
261     for (i=2;i<n;i++)
262         if (*max<x[i]) *max=x[i];
263 }
264

```

เอกสารนี้เป็นเอกสารที่สงวนไว้สำหรับการใช้งานเพื่อการศึกษาเท่านั้น ไม่อนุญาตให้นำไปใช้ประโยชน์ด้านการค้า
 ไม่ว่าจะกรณีใดๆทั้งสิ้น อีกทั้งห้ามมิให้ดัดแปลงเนื้อหา และต้องอ้างอิงถึงเจ้าของเอกสารทุกครั้งที่มีการนำไปใช้

```
265
266 int flcmp(const struct data *a,const struct data *b)
267 {
268     if ( (a->rl) < (b->rl) ) return 1;
269     else if ( (a->rl) == (b->rl) ) return 0;
270     else return -1;
271 }
272
273
```



เอกสารนี้เป็นเอกสารที่สงวนไว้สำหรับการใช้งานเพื่อการศึกษาเท่านั้น ไม่อนุญาตให้นำไปใช้ประโยชน์ด้านการค้า
ไม่ว่ากรณีใดๆทั้งสิ้น อีกทั้งห้ามมิให้ตัดแปลงเนื้อหา และต้องอ้างอิงถึงเจ้าของเอกสารทุกครั้งที่มีการนำไปใช้

```

1  #include <stdio.h>
2  #include <conio.h>
3  #include <dos.h>
4
5  #define CMD_port  0x303
6  #define DAC_port  0x300
7  #define CNTL_port 0x301
8  #define ADC_port  0x304
9
10 #define START {  outportb(CNTL_port,(inportb(CNTL_port)&
11                  0xf0):0x04); \
12                  outportb(0x21,inportb(0x21)&0xfb); }
13 #define STOP   {  outportb(CNTL_port,inportb(CNTL_port):0
14                  x0f); \
15                  outportb(0x21,inportb(0x21):0x04); }
16 #define EOI    outportb(0x20,0x20);
17 typedef unsigned char byte;
18
19 int looping=1;
20 int latch=0;
21 int count=0;
22
23 void interrupt (*kbd_int)();
24 void interrupt (*timer_int)();
25
26 void interrupt keypressed();
27 void interrupt time_routine();
28 void interrupt direct_routine();
29
30 main()
31 {
32     int x,y;
33
34     outport(CMD_port,0x80);
35     kbd_int = getvect(9);
36     timer_int = getvect(0x1c);
37     printf("Sampling rate = ");
38     x = wherex(); y = wherex();
39     printf("%10.5f kHz",latch*.00455);
40     setvect(9,keypressed);
41     setvect(0x1c,time_routine);
42     looping = 1;
43     while(looping) {
44         gotoxy(x,y);
45         printf("%10.5f",latch*.00455);
46     }
47     setvect(9,kbd_int);
48     setvect(0x1c,timer_int);
49     printf("\n");

```

เอกสารนี้เป็นเอกสารที่สงวนไว้สำหรับการใช้งานเพื่อการศึกษาเท่านั้น ไม่อนุญาตให้นำไปใช้ประโยชน์ด้านการค้า

51 ไม่ว่าจะกรณีใดๆทั้งสิ้น อีกทั้งห้ามมิให้ดัดแปลงเนื้อหา และต้องอ้างอิงถึงเจ้าของเอกสารทุกครั้งที่มีการนำไปใช้

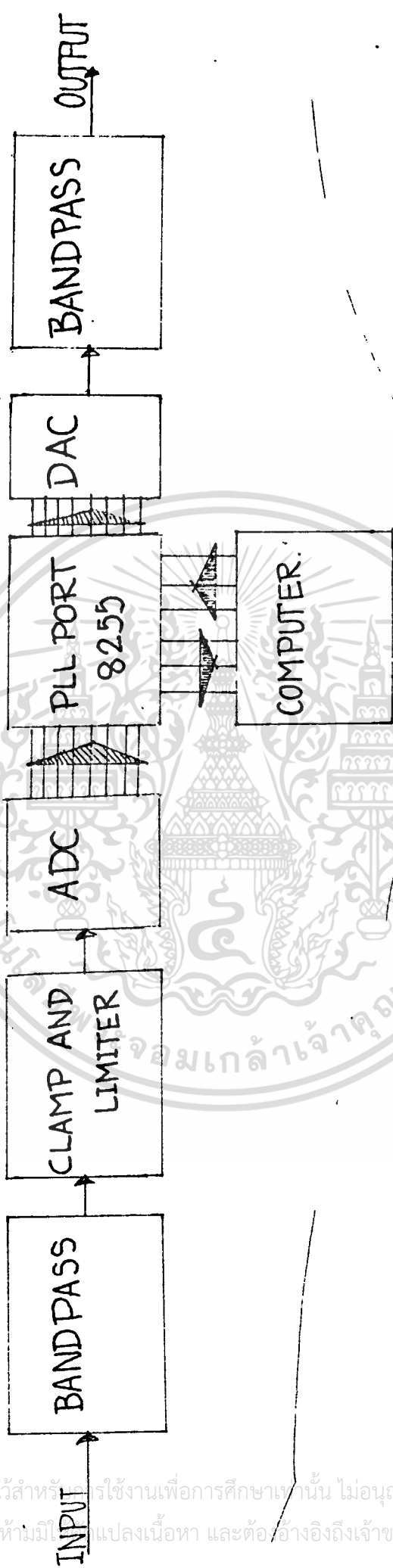
```
52 void interrupt direct_routine()
53 {
54     outportb(DAC_port, inportb(ADC_port));
55     count++;
56     EOI
57 }
58
59 byte temp;
60
61 void interrupt keypressed()
62 {
63     inportb(0x60);
64     temp = inportb(0x61);
65     outportb(0x61, temp|0x80);
66     outportb(0x61, temp);
67     if (looping==1) looping++;
68     else if (looping==2) {
69         looping = 0;
70         STOP
71         setvect(9, kbd_int);
72     }
73     EOI
74 }
75
76 int times = 0;
77
78 void interrupt time_routine()
79 {
80     if (!times) count = 0;
81     if (times==4) {
82         latch = count;
83         times = 0;
84     }
85     else times++;
86 }
87
```

ภาคผนวก ข

แสดงรายละเอียดของวงจรรวมที่ประกอบเป็นการ์ดทั้งหมด

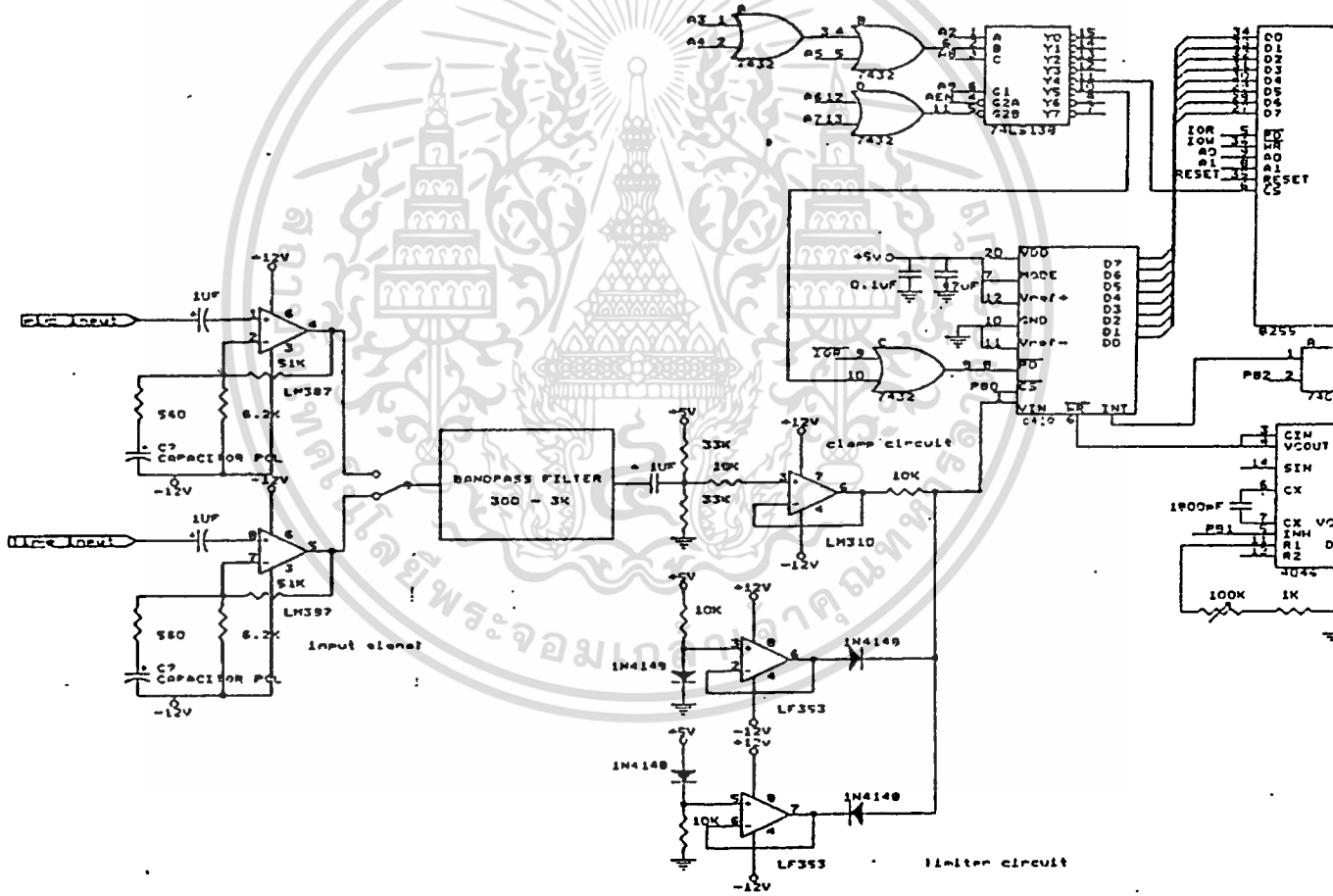


เอกสารนี้เป็นเอกสารที่สงวนไว้สำหรับการใช้งานเพื่อการศึกษาเท่านั้น ไม่อนุญาตให้นำไปใช้ประโยชน์ด้านการค้า
ไม่ว่ากรณีใดๆทั้งสิ้น อีกทั้งห้ามมิให้ตัดแปลงเนื้อหา และต้องอ้างอิงถึงเจ้าของเอกสารทุกครั้งที่มีการนำไปใช้

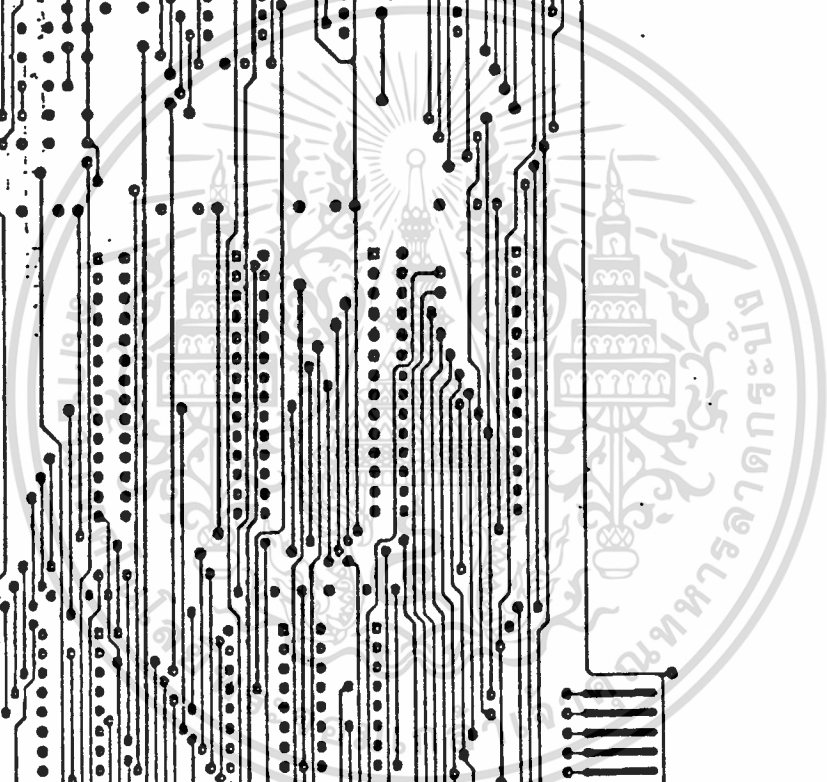
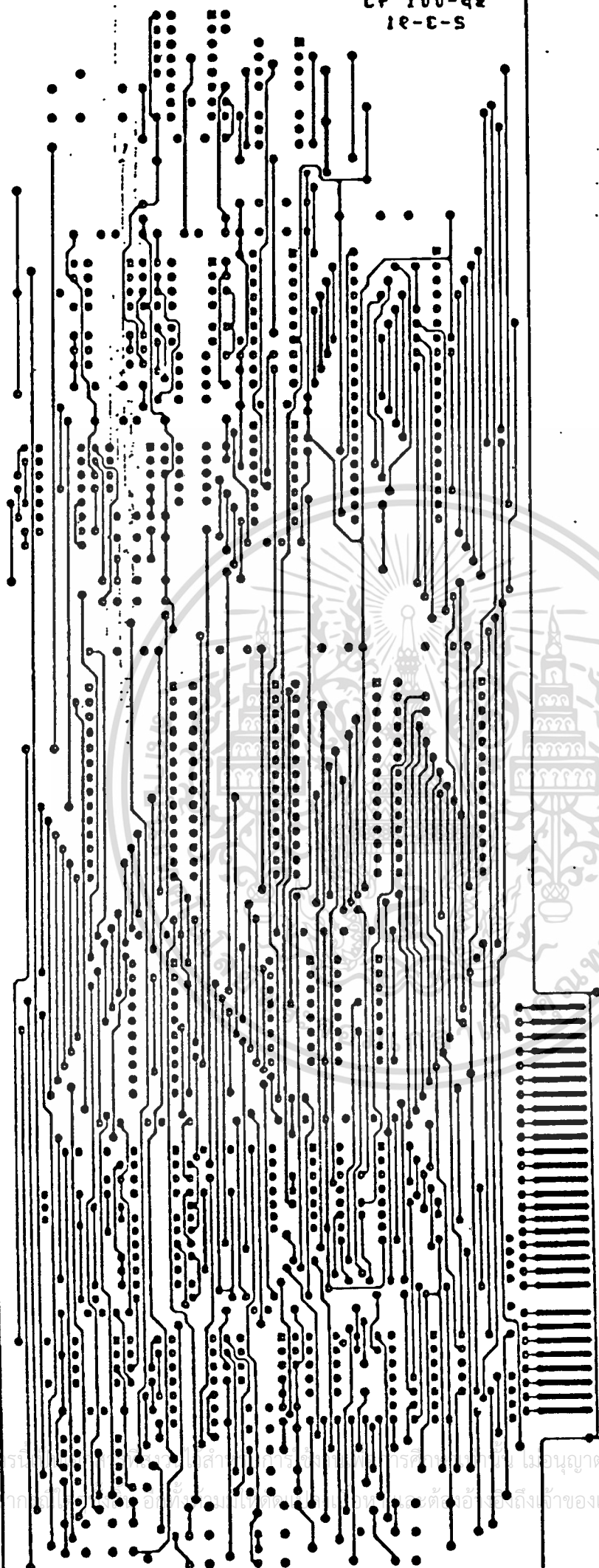


ภาพแสดงบล็อกต่อระบบการต่อวงจรฮาร์ดแวร์

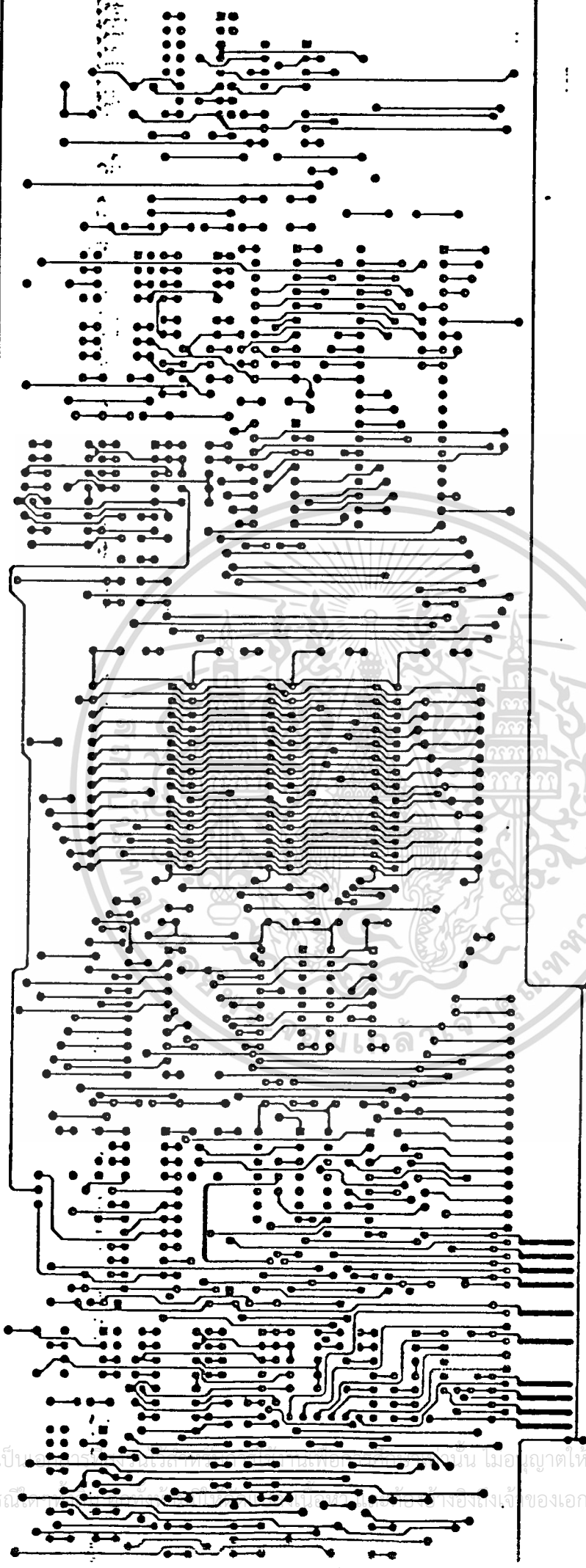
เอกสารนี้เป็นเอกสารที่สงวนไว้สำหรับใช้ภายในเพื่อการศึกษาเท่านั้น ไม่อนุญาตให้นำไปใช้ประโยชน์ด้านการค้า
ไม่ว่ากรณีใดๆทั้งสิ้น อีกทั้งห้ามมีการเปลี่ยนแปลงเนื้อหา และต้องอ้างอิงถึงเจ้าของเอกสารทุกครั้งที่มีการนำไปใช้



LP 100-qz
1R-C-S



เอกสารนี้เป็นเอกสารที่จัดทำขึ้นเพื่อใช้ในการศึกษาและวิจัยเท่านั้น ไม่อนุญาตให้นำไปใช้ประโยชน์ด้านการค้า
 ไม่สามารถนำเอกสารนี้ไปเผยแพร่หรือทำซ้ำโดยไม่ได้รับอนุญาตจากทางมหาวิทยาลัยราชภัฏกรุงเทพฯ



เอกสารนี้เป็นเอกสารของมหาวิทยาลัยเทคโนโลยีพระจอมเกล้าธนบุรี เมื่ออนุญาตให้นำไปใช้ประโยชน์ด้านการค้า
ไม่ว่ากรณีใดๆ กรุณาแจ้งชื่อของเจ้าของลิขสิทธิ์ของเอกสารทุกครั้งที่มีการนำไปใช้

กิตติกรรมประกาศ

ปริญญาโทฉบับนี้สำเร็จขึ้นได้ด้วยคำแนะนำของอาจารย์ฟุคักดิ์ ชิวสุวิทย์ พร้อมทั้งได้รับความช่วยเหลือทางด้านอุปกรณ์ในการทำงานบางส่วนจากอาจารย์วิทยา ทิพย์สุวรรณพร ซึ่งถ้าไม่ได้รับความช่วยเหลือดังกล่าวแล้วปริญญาโทฉบับนี้คงจะเสร็จสมบูรณ์ลงมิได้ คณะผู้จัดทำจึงขอกราบขอบพระคุณมา ณ ที่นี้ด้วย พร้อมกับขอขอบคุณเพื่อนๆ ที่ได้ให้กำลังใจและคำปรึกษาด้วยดีมาโดยตลอดโดยเฉพาะคุณเครือคณิต ศิริสถิตย์กุล ที่ให้ความช่วยเหลือพิมพ์ปริญญาโทฉบับนี้จนเสร็จสมบูรณ์

คณะผู้จัดทำ



เอกสารนี้เป็นเอกสารที่สงวนไว้สำหรับการใช้งานเพื่อการศึกษาเท่านั้น ไม่อนุญาตให้นำไปใช้ประโยชน์ด้านการค้า
ไม่ว่ากรณีใดๆทั้งสิ้น อีกทั้งห้ามมิให้ตัดแปลงเนื้อหา และต้องอ้างอิงถึงเจ้าของเอกสารทุกครั้งที่มีการนำไปใช้

หนังสืออ้างอิง

- 1.D.O. Shaughnessy., "Speech Communication", Addison-Wesley publishing company, pp.204-241,1987 .
- 2.O.E.Brigham., " The Fast Fourier Transform and its applications " ,Prentice-Hall international. Inc.,1988.
- 3.Martin Giles., "Audio/Radio Handbook" ,National Semiconductor, pp 43-60 ,1986.
- 4.M.A.Rashwan and M.M.Fahmy., "New Technique for speaker independent isolated-word recognition" IEE PROCEEDING, Vol.135 ,pp 251-257 ,1988
- 5.Roman Kuc., "Introduction to digital signal processing". McGraw-Hill company. Inc,pp 120-138, 1988